

بِسْمِ اللَّهِ الرَّحْمَنِ الرَّحِيمِ



دانشکده مهندسی مکانیک و مکاترونیک
پایان نامه کارشناسی ارشد مهندسی طراحی کاربردی

تعیین ضرایب شدت تنش برای ترکی در مسائل انتشار- ترموالاستیسیته تعمیم یافته با
استفاده از روش المان محدود توسعه یافته

نگارنده

هادی بشیرنژاددهقان

اساتید راهنما

دکتر محمدباقر نظری

دکتر مسعود مهدی زاده رخی

شهریورماه ۱۳۹۸

تقدیم به

به پاس تعبیر عظیم و انسانی‌شان از کلمه ایثار و از خودگذشتگی
به پاس قلب‌های بزرگشان که فریادرس است و سرگردانی و ترس در پناهِشان به شجاعت
می‌گراید.

به پاس عاطفه سرشار و گرمای امیدبخش وجودشان که در این سردترین روزگاران بهترین
پشتیبان است.

و به پاس محبت‌های بی‌دریغشان که هرگز فروکش نمی‌کند
این مجموعه را به خانواده عزیزم تقدیم می‌کنم

سپاسگزاری

سپاس خدای را که طاعتش موجب قربت است به شکراندرش مزید نعمت...

ابتدا بر خود لازم می‌دانم از زحمات فراوان استاد بزرگوارم جناب آقای دکتر محمدباقر نظری که با رهنمودهای ارزشمند خود مرا در انجام این پایان‌نامه یاری نموده‌اند، سپاسگزاری نمایم. از استاد گران‌قدر جناب آقای دکتر مسعود مهدی‌زاده رخی به خاطر راهنمایی دلسوزانه سپاسگزارم. از جناب آقای دکتر سید هادی بیات خالصانه تشکر و قدردانی می‌نمایم که بنده را بسیاری یاری نمودند.

از جناب آقای دکتر اکبرزاده، مسئول محترم مرکز تحقیقاتی مکانیک محاسباتی و آقای مهندس درازگیسو که بنده را جهت استفاده از سیستم پرسرعت یاری نموده‌اند، بسیار سپاسگزارم. از روشنی‌بخش‌های راه زندگی‌ام، پدر و مادر عزیزم، که همواره مشوق من هستند و در تمام مراحل زندگی اعم از ایام تحصیل متحمل رنج فراوان شدند خالصانه تشکر می‌کنم و خاضعانه دستشان را می‌بوسم. و همچنین از برادرانم و خواهرم کمال تشکر را بجا آورم.

تعهدنامه

اینجانب هادی بشیرنژاددهقان دانشجوی دوره کارشناسی ارشد رشته مهندسی مکانیک - طراحی کاربردی دانشکده مکانیک دانشگاه صنعتی شاهرود، نویسنده پایان نامه تعیین ضرایب شدت تنش برای ترکی در مسائل انتشار-ترموالاستیسیته تعمیم یافته با استفاده از روش المان محدود توسعه یافته تحت راهنمایی دکتر محمدباقر نظری و دکتر مسعود مهدی زاده رخی متعهد می شوم:

* تحقیقات در این پایان نامه توسط اینجانب انجام شده است.

* در استفاده از نتایج پژوهش های محققان دیگر به مرجع مورد استفاده استناد شده است.

* مطالب مندرج در پایان نامه تاکنون توسط خود یا فرد دیگری برای دریافت هیچ گونه مدرک یا امتیازی در هیچ جا ارائه نشده است.

* کلیه حقوق معنوی این اثر متعلق به دانشگاه صنعتی شاهرود می باشد و مقالات مستخرج با نام « دانشگاه صنعتی شاهرود » و یا « Shahrood University of Technology » به چاپ خواهد رسید.

* حقوق معنوی تمام افرادی که در به دست آمدن نتایج اصلی پایان نامه تأثیرگذار بوده اند در مقالات مستخرج از پایان نامه رعایت می گردد.

* در کلیه مراحل انجام این پایان نامه در مواردی که به حوزه اطلاعات شخصی افراد دسترسی یافته یا از آن استفاده شده است، اصل رازداری، ضوابط و اصول اخلاق انسانی رعایت شده است.

تاریخ :

امضای دانشجو

مالکیت نتایج و حق نشر

• کلیه حقوق معنوی این اثر و محصولات آن (مقالات، مستخرج، کتاب، برنامه های رایانه ای، نرم افزارها و تجهیزات ساخته شده) متعلق به دانشگاه صنعتی شاهرود می باشد. این مطلب باید به نحو مقتضی در تولیدات علمی مربوطه ذکر شود.

• استفاده از اطلاعات نتایج موجود در پایان نامه بدون ذکر مرجع مجاز نمی باشد.

چکیده

در این پایان‌نامه، رفتار یک ترک ساکن در محیط محدود انتشار- ترموالاستیسیته تعمیم‌یافته تحت شوک گرمایی و غلظت بررسی شده است. ترک با استفاده از روش المان محدود توسعه‌یافته مدل‌سازی و ضرایب شدت تنش با بکارگیری روش انتگرال برهم‌کنش استخراج شده است. انتشار گرما و غلظت بر اساس تئوری‌های تعمیم‌یافته گرین - نقدی و غیرفیک در نظر گرفته شده است. روش المان محدود توسعه‌یافته برای گسسته‌سازی معادلات در فضا و روش ضمنی نیومارک جهت انتگرال‌گیری زمانی مورد استفاده قرار گرفته است. برای بارگذاری‌های مختلف (شوک گرمایی و غلظت)، ضرایب شدت تنش، توزیع دمای نوک ترک و توزیع انتشار نوک ترک مطالعه شده است. همچنین اثر سرعت موج تنش، موج غلظت و موج دما روی ضرایب شدت تنش برای ترک‌های مستقیم و مایل بررسی شده است. نتیجه‌ای که از سرعت‌های مختلف می‌توان گرفت این است که برای حالتی که سرعت موج تنش و سرعت موج دما یکسان و بیشتر از سرعت موج غلظت است افزایش ضریب شدت تنش سریع‌تر و بیشتر از حالت‌های دیگر است.

کلیدواژگان

انتشار- ترموالاستیسیته تعمیم‌یافته، ضرایب شدت تنش، روش المان محدود توسعه‌یافته، انتگرال

برهم‌کنش

فهرست

- ۱- فصل اول ۱
- ۱-۱- مقدمه ۲
- ۱-۲- مروری بر کارهای پیشین ۳
- ۱-۳- ساختار پایان نامه ۶
- ۲- فصل دوم ۷
- ۲-۱- روش‌های المان محدود توسعه یافته و انتگرال برهمکنش ۷
- ۲-۱- مقدمه ۸
- ۲-۲- المان‌های ایزو پارامتریک ۸
- ۲-۳- روش المان محدود توسعه یافته ۹
- ۲-۴- مدل سازی ترک در روش المان محدود توسعه یافته ۱۰
- ۲-۵- انتگرال J ۱۴
- ۲-۶- روش نیومارک ۱۵
- ۲-۷- انتگرال برهمکنش ۱۸
- ۲-۸- استخراج ضرایب شدت تنش ۲۱
- ۲-۹- تئوری گرین-نقدی ۲۲
- ۲-۱۰- جابه جایی گرمایی ۲۴

۲۵.....	۳- فصل سوم
۲۵.....	معادلات حاکم انتشار- ترموالاستیسیته تعمیم یافته
۲۶.....	۳-۱- مقدمه
۲۶.....	۳-۲- معادلات حاکم بر انتشار در محیط ترموالاستیسیته
۲۸.....	۳-۳- معادلات حاکم
۲۸.....	۳-۴- بی بعد سازی معادلات حاکم
۲۸.....	۳-۵- معادلات بعد از فرآیند بی بعد سازی
۳۰.....	۳-۶- گسسته سازی معادلات انتشار- ترموالاستیسیته
۳۰.....	۳-۷- معادلات حاکم بعد از فرآیند گسسته سازی
۳۶.....	۴- فصل چهارم
۳۷.....	۴-۱- مقدمه
۳۷.....	۴-۲- صفحه دارای ترک تحت بارگذاری متقارن حرارتی - انتشار
۳۹.....	۴-۳- صحت سنجی
۴۵.....	۴-۴- صفحه دارای ترک تحت بارگذاری نامتقارن حرارتی - انتشار
۵۶.....	۴-۵- ترک مایل در معرض شوک دمایی و انتشار
۶۸.....	فصل پنجم
۶۹.....	۵-۱- نتیجه گیری
۷۰.....	۵-۲- پیشنهادها
۷۱.....	پیوست الف

میدان‌های کمکی حوزه نوک ترک ساکن در محیط ایزوتروپیک همگن ۷۱

منابع ۷۴

فهرست شکل‌ها

- شکل (۱-۲) المان ایزو پارامتریک [۲۴] ۸
- شکل (۲-۲) شبکه اجزا محدود توسعه یافته دارای ترک و گره‌های غنی سازی شده ۱۱
- شکل (۳-۲) پیوستار دوبعدی شامل ترک و دستگاه‌های مختصات دکارتی و قطبی نوک ترک ۱۳
- شکل (۴-۲) تبدیل فرم کانتوری انتگرال J به فرم ناحیه‌ای [۲۲] ۱۹
- شکل (۱-۴) صفحه مستطیلی شامل ترک عمود بر لبه تحت شوک حرارتی و انتشار ۳۸
- شکل (۲-۴) مقایسه ضریب شدت تنش در صفحه مستطیلی شامل ترک عمود بر لبه ۳۹
- شکل (۳-۴) مقایسه دمای نوک ترک در صفحه مستطیلی شامل ترک عمود بر لبه ۳۹
- شکل (۴-۴) مقایسه غلظت نوک ترک در صفحه مستطیلی شامل ترک عمود بر لبه ۴۰
- شکل (۵-۴) نمودار ضریب شدت تنش برحسب زمان بی بعد در مش بندی‌های مختلف در صفحه ۴۰
- شکل (۶-۴) دمای نوک ترک در مش بندی‌های مختلف برحسب زمان بی بعد ۴۱
- شکل (۷-۴) انتشار در نوک ترک برای مش بندی‌های مختلف برحسب زمان بی بعد ۴۲
- شکل (۸-۴) تأثیر گام زمانی بر ضریب شدت تنش مود اول ۴۳
- شکل (۹-۴) دمای نوک ترک در صفحه دارای ترک برحسب زمان برای گام‌های زمانی مختلف ۴۴
- شکل (۱۰-۴) تغییرات انتشار نوک ترک برحسب زمان برای دو گام زمانی متفاوت ۴۴
- شکل (۱۱-۴) تغییرات ضریب شدت تنش برحسب زمان برای ناحیه‌های انتگرال گیری متفاوت در نوک ترک ۴۵
- شکل (۱۲-۴) صفحه مستطیلی شامل ترک عمود بر لبه تحت شوک حرارتی و انتشار ۴۶
- شکل (۱۳-۴) نمودار ضریب شدت تنش مود اول برحسب زمان برای شبکه بندی‌های مختلف ۴۷
- شکل (۱۴-۴) منحنی‌های ضریب شدت تنش مود دوم برحسب زمان برای شبکه بندی‌های مختلف ۴۸

- شکل (۴-۱۵) دمای نوک ترک برحسب زمان برای شبکه‌بندی‌های مختلف ۴۹
- شکل (۴-۱۶) انتشار نوک ترک در مش بندی‌های مختلف ۵۰
- شکل (۴-۱۷) تأثیر گام زمانی بر ضریب شدت تنش مود اول ۵۱
- شکل (۴-۱۸) تأثیر گام زمانی بر ضریب شدت تنش مود دوم ۵۲
- شکل (۴-۱۹) دمای نوک ترک در صفحه دارای ترک در تغییرات زمانی مختلف ۵۲
- شکل (۴-۲۰) تغییرات انتشار در زمان‌های مختلف در نوک ترک در صفحه ۵۳
- شکل (۴-۲۱) تأثیر اندازه ناحیه انتگرال‌گیری بر ضریب شدت تنش مود اول ۵۴
- شکل (۴-۲۲) ضریب شدت تنش مود اول برحسب زمان برای سرعت‌های مختلف انتشار و دما.. ۵۴
- شکل (۴-۲۳) ضریب شدت تنش مود دوم برحسب زمان برای سرعت‌های مختلف انتشار و دما.. ۵۵
- شکل (۴-۲۴) دمای نوک ترک برحسب زمان برای سرعت‌های مختلف دما و انتشار ۵۵
- شکل (۴-۲۵) انتشار در نوک ترک برحسب زمان برای سرعت‌های مختلف دما و انتشار ۵۶
- شکل (۴-۲۶) هندسه و بارگذاری یک صفحه دارای ترک لبه‌ای مایل تحت بارگذاری دما و انتشار ۵۷
- شکل (۴-۲۷) همگرایی ضریب شدت تنش مود اول برحسب زمان برای شبکه‌بندی‌های مختلف در ترک مایل ۵۸
- شکل (۴-۲۸) همگرایی ضریب شدت تنش مود دوم در مش بندی‌های مختلف در ترک مایل ۵۹
- شکل (۴-۲۹) دمای نوک ترک در مش بندی‌های مختلف برای ترک مایل ۵۹
- شکل (۴-۳۰) انتشار نوک ترک در مش بندی‌های مختلف در ترک مایل ۶۰
- شکل (۴-۳۱) تغییرات زمانی ضریب شدت تنش مود اول ۶۱
- شکل (۴-۳۲) تغییرات زمانی ضریب شدت تنش مود دوم ۶۲
- شکل (۴-۳۳) دمای نوک ترک در صفحه دارای ترک مایل در تغییرات زمانی مختلف ۶۲
- شکل (۴-۳۴) تغییرات انتشار در زمان‌های مختلف در نوک ترک در صفحه ۶۳

- شکل (۳۵-۴) نمای تغییر شکل یافته باریکه دارای ترک در $t=0/3$ ۶۳
- شکل (۳۶-۴) نمای تغییر شکل یافته باریکه دارای ترک در $t=0/7$ ۶۴
- شکل (۳۷-۴) نمای تغییر شکل یافته باریکه دارای ترک در $t=1/25$ ۶۴
- شکل (۳۸-۴) دما، انتشار، جابجایی در محور x ، جابجایی در محور y ، تنش در محور xx و تنش در محور yy در $t=0.3$ ۶۵
- شکل (۳۹-۴) کانتورهای دما، انتشار، جابجایی در محور x ، جابجایی در محور y ، تنش در محور xx و تنش در محور yy در $t=0.7$ ۶۶
- شکل (۴۰-۴) دما، انتشار، جابجایی در محور x ، جابجایی در محور y ، تنش در محور xx و تنش در محور yy در $t=1.25$ ۶۷

فهرست جداول

جدول (۱-۴) خواص جنس صفحه ۳۸

فهرست علائم و اختصارات

مساحت المان، (m^2)	A
مساحت ناحیه انتگرال برهمکنش، (m^2)	A^*
طول ترک، (m)	a
بردار مجهولات گره‌ای مربوط به توابع شکل المان محدود	a_n
بردار مجهولات گره‌ای مربوط به توابع شکل المان محدود	b_n
بردار مجهولات گره‌ای مربوط به توابع شکل غنی‌شده نوک ترک	C
ماتریس میرایی	[C]
سرعت موج تنش بی‌بعد	C_P
سرعت موج دما بی‌بعد	C_C
سرعت موج دما بی‌بعد	C_T
تنسور الاستیک (ماتریس خواص ماده)، (N/m^2)	[D]
مدول یانگ، (N/m^2)	E
بردار نیروهای گره‌ای، (N)	F
تابع زاویه‌ای میدان تنش نوک ترک	f
توابع غنی‌سازی نوک ترک، ($m^{0.5}$)	F_m
تابع هویساید	H
انتگرال J، (N/m)	J
هدایت گرمایی، ($W/(m \cdot K)$)	K
ماتریس سفتی	[K]
ضریب شدت شار گرمایی	K_T

ضریب شدت تنش مد اول، $(\text{N.m}^{-1.5})$	K_I
ضریب شدت تنش مد دوم، $(\text{N.m}^{-1.5})$	K_{II}
طول مشخصه	l
ماتریس جرم، (kg)	[M]
انتگرال برهمکنش، (N/m)	M
تابع شکل روش المان محدود	N
مجموعه گره‌های شبکه	N_A
مجموعه گره‌های اطراف مسیر ترک	N_H
مجموعه گره‌های المان‌های نوک ترک	N_C
تابع وزنی برای محاسبه انتگرال برهمکنش، بی‌بعد	Q
مؤلفه‌های بردار شار گرمایی بر واحد سطح، (W/m^2)	q_i
ثابت جهانی گازها، (J/K.mol)	R
دما، (K)	T
بردار نیروی سطحی بر واحد سطح، (N/m^2)	Tr
زمان، (sec)	t
بردار جابه‌جایی	u
غلظت مولی	c
ضریب پخش	D_0
ثابت پتانسیل شیمیایی	β
ضریب حرارتی مکانیکی	β^C
ضریب شیمیایی مکانیکی	β^T

κ^*	ثابت ماده
C^T	گرمای ویژه
u^{aux}	میدان جابه‌جایی کمکی
V	حجم، (m^3)
v	سرعت مشخصه (m/s)
W	عرض نمونه، (m)
w	چگالی انرژی کرنشی مکانیکی
X_1 و X_2	مؤلفه‌های دستگاه مختصات دکارتی سراسری، (m)
x_1 و x_2	مؤلفه‌های دستگاه مختصات دکارتی محلی، (m)
Z	تابع فاصله علامت‌دار، (m)

علامت‌های یونانی

α	ضریب انبساط گرمایی، ($1/^\circ\text{C}$)
β	تنسور مدول تنش-دما
δ_{ij}	دلتای کرونکر، بی‌بعد
ε	تنسور کرنش، بی‌بعد
θ	تغییر دما، (K)
μ و λ	ثوابت لامه، (N/m^2)
κ	ضریب کلوسوف، بی‌بعد
ν	نسبت پواسون، بی‌بعد
ρ	چگالی، (kg/m^3)

φ	مؤلفه دستگاه مختصات قطبی، بی بعد
σ	تنسور تنش، (N/m^2)
Φ	تابع شکل غنی شده برای المان های مسیر ترک، بی بعد
Ψ	تابع شکل غنی شده برای المان های نوک ترک، بی بعد
ω	زاویه بین دستگاه های مختصات محلی و سراسری، بی بعد
Y	بردار مجهولات گره ای
Γ	مسیر انتگرال گیری در انتگرال J

بالانویس ها

aux	مربوط به میدان های کمکی
S	مربوط به حالت برهم نهی
T	مربوط به دما
Th	مربوط به حالت حرارتی
v و u	به ترتیب مربوط به جابجایی در جهت محورهای مختصات افقی و قائم
E	المان مبنا

زیرنویس ها

i	شمارنده، مربوط به مؤلفه x دستگاه مختصات دکارتی
j	شمارنده، مربوط به مؤلفه y دستگاه مختصات دکارتی
l	شمارنده مربوط به توابع شکل و همچنین نشان دهنده مختصات محلی
m	شمارنده، مربوط به توابع غنی سازی نوک ترک
n	شمارنده، مربوط به گره ها، گام زمانی و مؤلفه های دستگاه مختصات

فصل اول

مقدمه

امروزه مسئله انتقال هم‌زمان گرما و ماده در صنایع گوناگون مشاهده می‌شود. در برخی نتایج تحلیل این مسائل براساس تئوری کلاسیک انتشار-ترموالاستیسیته^۱ با داده‌های آزمایشگاهی اختلاف فاحش دارند [۱] که در نهایت منجر به ارائه نظریه‌های انتشار-ترموالاستیسیته تعمیم‌یافته^۲ شده است. نفوذ یک گاز درون یک جامد یکی از مثال‌های مهندسی این پدیده است. وقتی یک گاز در یک فلز نفوذ می‌کند؛ عبور اتم‌های گاز از بین شبکه اتمی فلز ممکن است باعث تغییر فاصله اتمی، شکست پیوندهای اتمی فلز، جابجایی صفحات کریستالی و ... شود که به‌صورت ایجاد موج الاستیک، ترک یا پلاستیک شدن محلی دیده می‌شود. رصد مناسب این پدیده‌ها در دیدگاه ماکرو مکانیک با برهم‌کنش میدان‌های الاستیک و پدیده انتشار در نظر گرفته می‌شود. از طرفی، وجود عیوب از جمله ترک در عملکرد و بازده سیستم‌های مذکور تأثیر قابل توجهی دارد. بنابراین، لازم است اثر وجود ترک در آن‌ها بررسی شود. طبق مطالعات انجام‌شده، تاکنون اثر ترک بر میدان‌های انتشار-ترموالاستیسیته برای یک محیط محدود بررسی نشده است. یکی از نواقص مهم قانون فوریه و تئوری ترموالاستیسیته کلاسیک، تأثیرگذاری روی سرعت بی‌نهایت موج گرمایی است. برای رفع این مشکل، تئوری‌های مختلف ترموالاستیسیته تعمیم‌یافته ارائه شده‌اند که در آن‌ها انرژی گرمایی با سرعت محدود در یک جامد پیوسته در حال انتقال است [۱-۴]. هنگامی که نرخ زمانی اعمال شرایط مرزی دمایی بر یک پیوستار تغییر شکل‌پذیر یا نرخ تغییرات منبع تولید گرمای داخلی قابل توجه بوده و منجر به تحریک اینرسی شود؛ موج‌های تنش گرمایی تولید به وجود می‌آیند، در این شرایط، میدان‌های دما و تنش باید با حل هم‌زمان معادلات انرژی و تعادل (معادلات جفت شده تئوری‌های تعمیم‌یافته ترموالاستیسیته) حل گردد [۵]. سرعت انتقال امواج گرما در تئوری‌های ترموالاستیسیته تعمیم‌یافته، به علت استفاده از

۱) Classical theory of diffusion-thermoelasticity

۲) Generalized Thermoelasticity-Diffusion

زمان‌های آسایش و فرم هذلولوی معادله هدایت گرمایی به صورت محدود است که باعث گسترش تئوری‌های هدایت گرمایی غیر کلاسیک می‌شود [۶]. هتنارسکی و اسلامی نظریه‌های ترموالاستیسیته تعمیم‌یافته را مورد بررسی قرار دادند [۷].

۱-۲- مروری بر کارهای پیشین

مسئله انتشار-ترموالاستیسیته در موارد مختلفی اتفاق می‌افتد. به عنوان نمونه، می‌توان به دستیابی به آلیاژهای فلزی با استحکام قابل قبول برای کار در شرایط سخت دمایی که یکی از موضوع‌های مورد علاقه‌ی محققان علم مواد است، اشاره کرد. یکی از مشکلات فرآیند ساخت این است که سطح آلیاژهای فلزی در دماهای بالا به راحتی اکسید می‌شود. پس از ایجاد ناحیه سطحی اکسیدی، اکسیژن در این ناحیه نفوذ کرده و به سطح فلزی می‌رسد که بر اثر آن اکسید شدن سطح فلزی جدید را در پی دارد. تاکنون، مطالعاتی در مورد نقش لایه‌ی اکسیدی در ادامه‌ی فرآیند اکسیداسیون سطح فلز و پیشرفت آن انجام شده [۸] و [۹] که نتیجه‌ی قابل ذکر آن‌ها، ارائه معادلات ماکرو مکانیک این پدیده است. در پدیده اکسیداسیون، نفوذ اتم‌های اکسیژن در ناحیه اکسید شده باعث ایجاد تنش و گرادیان دمایی در این ناحیه می‌شود به طوری که، در توصیف دقیق این پدیده برهم‌کنش سه میدان تغییر شکل، غلظت اتم‌های اکسیژن و دما در نظر گرفته می‌شود [۱۰ و ۱۱]. برای توصیف معادلات حاکم، مفاهیم آنتروپی اینرسیال^۱، پتانسیل شیمیایی و غلظت اینرسیال معرفی شده است [۱۰]. از طرفی، قانون فیک که طبق آن، انتشار با سرعت بی‌نهایت انجام می‌شود، نمی‌تواند پدیده انتشار را در این موارد با دقت مناسب بیان کند. مشاهدات آزمایشگاهی در مقیاس‌های کوچک نیز انتشار جرم با سرعت محدود را تأیید می‌کند [۱۱]. علاوه بر این، رابطه‌ای بین تنش هیدرو استاتیک و غلظت ماده انتشار یافته مشابه رابطه تنش‌های گرمایی در مواد ایزوتروپیک ارائه شده است [۱۲]. زمانی که گاز در یک فلز نفوذ می‌کند، عبور اتم‌های گاز از بین شبکه‌ی اتمی فلز ممکن است باعث تغییر فاصله اتمی،

۱) Inertial entropy

شکست پیوندهای اتمی فلز، جابجایی صفحات کریستالی و ... شود، که به صورت ایجاد موج الاستیک، ترک یا پلاستیک شدن محلی دیده می‌شود. در برخی مطالعات، این پدیده در مقیاس ماکرو مکانیک با برهم‌کنش میدان‌های الاستیک و پدیده‌ی انتشار بدون در نظر گرفتن اثر دما، بررسی شده است. در حوزه مسائل انتشار-الاستیسیته تعمیم‌یافته این موارد قابل اشاره می‌باشند. مسئله دینامیکی یک-بعدی انتشار-الاستیسیته کوپل به صورت تحلیلی حل شده و سرعت محدود انتشار نشان داده شده است [۱۳]. مسئله دوبعدی کوپل انتشار-الاستیسیته برای یک صفحه محدود همگن و غیرهمگن تابعی^۱ با روش عددی بدون المان پتروف-گلرکین حل و تغییر زمانی تنش و غلظت ماده منتشر شده در یک نقطه بررسی شده است [۱۴]. در حوزه مسائل انتشار-ترموالاستیسیته تعمیم‌یافته می‌توان به مواردی اشاره کرد. حل عددی مسئله دوبعدی کوپل انتشار-ترموالاستیسیته برای یک صفحه محدود همگن با روش عددی بدون المان پتروف-گلرکین نیز ارائه شده است [۱۵]. پاسخ زمانی یک نیم‌صفحه با در نظر گرفتن انتشار-ترموالاستیسیته تعمیم‌یافته و هدایت گرمایی و نفوذپذیری متغیر با دما با استفاده از روش المان محدود ارائه شده است [۱۶]. یک تئوری انتشار-ترموالاستیسیته اصلاح شده برای تحلیل مسائل در ابعاد میکرو نیز پیشنهاد شده است [۱۷]. همچنین، حل تحلیلی مسئله انتشار-ترموالاستیسیته تعمیم‌یافته یک‌بعدی در حضور منبع گرمایی با استفاده از تبدیل‌های لاپلاس و فوریه برای به دست آوردن جابه‌جایی، تنش، توزیع دما و توزیع غلظت مولی ارائه شده است [۱۸]. اثر سورت^۲ بر پاسخ یک نیم‌صفحه به شوک گرمایی با در نظر گرفتن معادلات انتشار-ترموالاستیسیته تعمیم‌یافته نیز گزارش شده است [۱۹]. واکنش گذرا در یک استوانه توخالی تحت شوک حرارتی و شیمیایی براساس انتشار-ترموالاستیسیته تعمیم‌یافته با استفاده مشتقات وابسته گزارش شده است [۲۰].

گرین و نقدی در اوایل سال ۱۹۹۰ تئوری تعمیم‌یافته گرین-نقدی را مطرح کردند [۲۱ و ۲۲]. تئوری گرین-نقدی به صورت ترمودینامیکی سازگار استخراج شده و براساس انتخاب متغیرهای حالت

۱) Functional

۲) Sort effect

ترمودینامیکی مستقل به سه زیر نظریه تقسیم شده است که دامنه نسبتاً گسترده‌ای از مسائل هدایت گرمایی را دربر گرفته‌اند. در نظریه فوق رویکرد گرین و نقدی تفاوت قابل توجهی با روش معمول مکانیک محیط پیوسته کلاسیک دارد [۲۳]. در تئوری گرین-نقدی تعادل آنتروپی به‌عنوان معادله پایه به‌جای تعادل انرژی مورد بررسی قرار گرفته و علاوه بر این، نابرابری کلازیوس-دوهامل^۱ به‌عنوان قانون دوم ترمودینامیک استفاده نمی‌شود. در این تئوری مفهوم جابه‌جایی گرمایی^۲ ارائه گردیده که جابه‌جایی گرمایی میدانی بوده و مشتق زمانی آن دمای تجربی را ارائه می‌دهد. جابه‌جایی گرمایی یک کمیت ماکروسکوپی بوده که می‌توان برای درک بهتر متغیرهای ترمودینامیکی و آنچه در هدایت گرمایی رخ می‌دهد به‌عنوان پل بین مکانیک محیط پیوسته و نظریه مولکولی با توجه به نظریه گرین-نقدی در نظر گرفته شود [۲۴]. از دیگر ویژگی‌های روش گرین و نقدی استخراج بردار شار آنتروپی از یک تابع پتانسیل (تابع انرژی آزاد) است که تنش را نیز می‌توان از آن استخراج نمود. از تئوری گرین-نقدی نوع I نتایج تئوری کلاسیک ترموالاستیسیته حاصل گردیده که سرعت نامحدود امواج گرما را پیش‌بینی می‌کند. تئوری گرین-نقدی نوع II موج گرمایی حاصل از نوع I است و تئوری گرین-نقدی نوع III نیز حالت عمومی‌تر این تئوری است که در حالت کلی قادر به در نظر گرفتن اثر میرایی و صوت ثانویه بوده که سرعت محدود موج گرما را در پی دارد. برخی تحقیقات انجام شده بر روی انتشار موج ترموالاستیک یک‌بعدی با استفاده از تئوری گرین-نقدی به‌صورت تحلیلی و برخی با استفاده از روش‌های عددی مورد بررسی قرار گرفته است.

در این پایان‌نامه یک صفحه‌ی مستطیلی ایزوتروپیک شامل ترک عایق گرمایی انتشار در نظر گرفته می‌شود که تحت شوک قرار دارد. هدف، بررسی اثر برهم‌کنش متقابل میدان‌های الاستیسیته، گرما و انتشار بر تغییرات زمانی ضرایب شدت تنش است. معادلات حاکم خطی بوده و مسئله با روش المان محدود توسعه یافته حل می‌شود.

۱) Clausius-Duhamel inequality

۲) Thermal Displacement

۱-۳- ساختار پایان نامه

این پایان نامه شامل پنج فصل است که در فصل اول به مقدمه و مروری بر کارهای پیشین پرداخته شده است. در فصل دوم روش المان محدود توسعه یافته ارائه می شود. همچنین در ادامه انتگرال برهم کنش به صورت مختصر شرح داده شده و در فصل سوم معادلات حاکم بر انتشار- ترموالاستیسیته تعمیم یافته و انتگرال برهم کنش بیان شده است. فصل چهارم به ارائه و تحلیل نتایج به دست آمده اختصاص دارد و در فصل پنجم نتیجه گیری کلی و پیشنهادهایی جهت انجام پژوهش- های جدید ارائه گردیده است.

روش‌های المان محدود

توسعه یافته و انتگرال

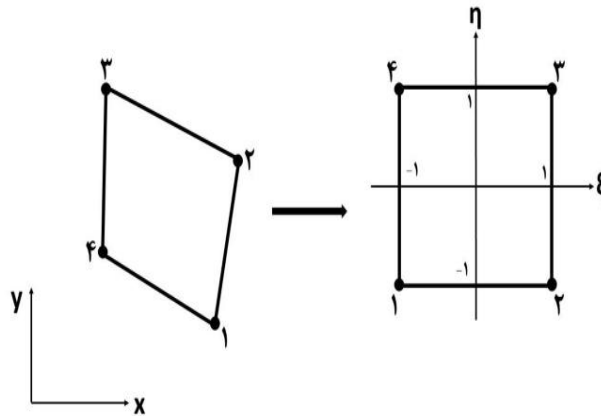
برهمکنش

۲-۱- مقدمه

روش‌های عددی یکی از مهم‌ترین روش‌های مهم حل مسائل مهندسی است. حل مسئله از طریق روش‌های تحلیلی یا تجربی به علت شرایط مرزی یا پیچیدگی هندسی همیشه امکان‌پذیر نیست. در این پایان‌نامه، برای مدل‌سازی ترک از روش اجزا محدود توسعه یافته استفاده شده است.

۲-۲- المان‌های ایزو پارامتریک

با توجه به روابط ریاضی یک ناحیه چهارضلعی را مطابق شکل (۲-۱) به یک مربع 2×2 نگاشت می‌شود، مختصات x, y نقاط در المان اولیه از رابطه (۲-۱) به دست می‌آیند [۲۵].



شکل (۲-۱) المان ایزو پارامتریک [۲۴]

همان‌طور که در شکل (۲-۱) هم مشاهده می‌کنید دستگاه مختصات (η, ξ) دستگاه مختصات ایزو پارامتریک نامیده می‌شود.

$$x = \sum_{i=1}^4 x_i N_i \quad (2-1)$$

$$y = \sum_{i=1}^4 y_i N_i \quad (2-2)$$

در این رابطه، N_i ها توابع شکل روش المان محدود می باشند.

$$N_i(\xi, \eta) = \frac{1}{4}(1 + \xi_i)(1 + \eta_i) \quad (3-2)$$

که رابطه (3-2) را می توان به صورت زیر بازنویسی کرد:

$$N(\xi, \eta) = \left[\frac{1}{4}(1 - \xi)(1 - \eta) \frac{1}{4}(1 + \xi) \right. \\ \left. (1 - \eta) \frac{1}{4}(1 - \xi)(1 + \eta) \frac{1}{4}(1 + \xi)(1 + \eta) \right] \quad (4-2)$$

۳-۲ - روش المان محدود توسعه یافته

روش المان محدود توسعه یافته^۱ (XFEM) برای مدل سازی ترک استفاده می شود این روش توسط بلیچکو و همکارانش [۲۶-۲۸] در شبکه های المان محدود جهت مدل سازی ناپیوستگی های دلخواه ارائه شده است.

مبنای المان محدود توسعه یافته همان روش المان محدود است که برای ترک ها استفاده می شود. روش المان محدود توسعه یافته توسط بلیچکو و همکاران براساس روش های بدون المان معرفی شده است [۲۸]. یکی از روش های نوین مدل سازی ناپیوستگی ها از جمله ترک، روش المان محدود توسعه یافته است. برای مدل سازی ناپیوستگی ها (ترک) در رویکرد اجزایی که تحت تأثیر ترک هستند توابع شکل خاصی را به کار می برند که این کار باعث می شود مدل سازی ناپیوستگی ها مهیا شود. همچنین در این رویکرد برای اینکه بتوانیم از توابع غنی سازی شده^۲ به توابع شکل مرسوم برسیم از مدل سازی ناپیوستگی ها علاوه بر توابع شکل عادی استفاده می شود. برای بیان هندسه ناپیوستگی ها از

۱) Extended Finite Element Method (XFEM)

۲) Enriched functions

درجات آزادی مجازی برای گره‌های تحت تأثیر ناپیوستگی استفاده می‌شود [۲۶].

المان محدود توسعه یافته به‌طور کلی شامل دو مرحله است:

مرحله اول: شبکه‌بندی هندسی مسئله

مرحله دوم: غنی‌سازی المان‌های نوک ترک و مسیر ترک

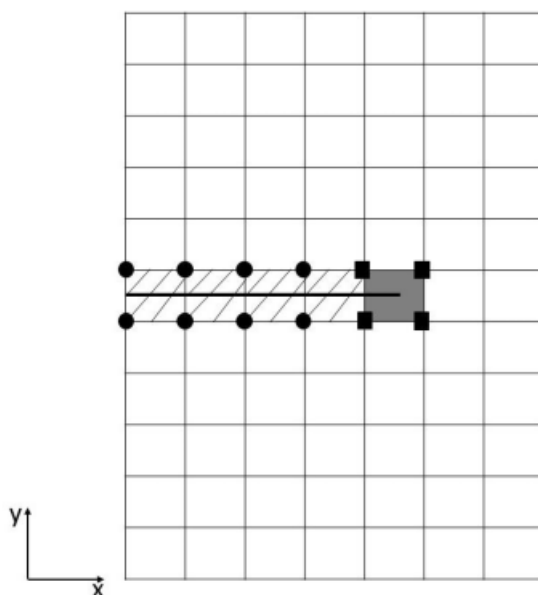
برای به دست آوردن تابع غنی‌سازی به کمک تقریب از رابطه (۵-۲) استفاده می‌شود [۳۸].

$$u(x) = \sum_{\forall i} N_i(x) a_i + \sum_{\forall i} \phi_i(x) \psi(X) b_i \quad (5-2)$$

در رابطه (۵-۲) $\sum_{\forall i} N_i(x) a_i$ شامل تقریب المان محدود کلاسیک است که N_i ها توابع شکل المان محدود کلاسیک می‌باشند. a_i ها درجات آزادی المان محدود کلاسیک هستند. در رابطه (۵-۲) $\sum_{\forall i} \phi_i(x) \psi(X) b_i$ عبارت غنی‌سازی است که $\psi(X)$ تابع غنی‌سازی، $\phi_i(x)$ توابع شکل و b_i پارامترهای مجهول مجازی هستند. برای تقریب المان محدود کلاسیک و تعمیم یافته نیازی نیست که توابع شکل یکسان باشند ولی می‌توان توابع یکسانی به صورت $\phi_i(x) = N_i(x)$ در نظر گرفت [۳۹] که در این تحقیق توابع شکل به صورت یکسان در نظر گرفته شده است.

۲-۴- مدل‌سازی ترک در روش المان محدود توسعه یافته

مدل‌سازی ترک مطابق شکل (۲-۲) فرض می‌شود که در آن N_A تعداد گره‌های شبکه المان محدود، N_H تعداد گره‌های المان‌های اطراف مسیر ترک و N_C تعداد گره‌های المان‌های اطراف نوک ترک در نظر می‌شود. در شکل (۲-۲) المان‌های نوک ترک سایه خورده و المان‌های مسیر ترک با المان هاشور خورده نشان داده شده‌اند. گره‌هایی که با دایره نشان داده شده‌اند نشانگر مسیر ترک و گره‌هایی که با مربع نشان داده شده گره‌های غنی شده نوک ترک هستند.



شکل (۲-۲) شبکه اجزا محدود توسعه یافته دارای ترک و گره‌های غنی‌سازی شده

میدان جابجایی در روش المان محدود توسعه یافته برای یک المان غنی‌سازی شده به صورت زیر است [۲۴]:

$$u(x, y, t) = \sum_{n \in N_A} N_n(x, y) a_n(t) + \sum_{n \in N_H} N_n(x, y) [H(Z) - H(Z_N)] b_n(t) \quad (۶-۲)$$

$$+ \sum_m \sum_{n \in N_C} N_n(x, y) [F_m(r, \varphi) - F_m(r_n, \varphi_n)] c_{nm}(t)$$

در رابطه (۲-۸) $a_n(t)$ و $b_n(t)$ مجهولات گره‌ای هستند که تمامی این بردارها تابع زمان می‌باشند [۲۴].

$$a_n(t) = \{a_n^u(t), a_n^v(t)\}^T \quad (۷-۲)$$

$$b_n(t) = \{b_n^u(t), b_n^v(t)\}^T \quad (۸-۲)$$

$$c_{nm}(t) = \{c_{nm}^u(t), c_{nm}^v(t)\}^T \quad (۹-۲)$$

تابع هویساید $H(Z)$ در رابطه (۲-۱۰) به صورت زیر است [۲۴].

$$H(Z) = \begin{cases} 1, & Z > 0 \\ 0, & Z \leq 0 \end{cases} \quad (10-2)$$

در رابطه (۱۰-۲) تابعی از موقعیت یک نقطه نسبت به مسیر ترک است که با Z نشان داده شده است. در رابطه (۱۱-۲) توابع غنی‌سازی شده نوک ترک (F_m) هستند که توابع غنی‌سازی برحسب مختصات محلی نوک ترک (r و φ) به قرار زیر است [۲۴]:

$$\{F_m = \{\sqrt{r} \sin\left(\frac{\varphi}{2}\right), \sqrt{r} \cos\left(\frac{\varphi}{2}\right), \sqrt{r} \sin(\varphi) \sin\left(\frac{\varphi}{2}\right), \sqrt{r} \sin(\varphi) \cos\left(\frac{\varphi}{2}\right)\}\} \quad (11-2)$$

برای به دست آوردن مؤلفه‌های میدان جابجایی در روش المان محدود توسعه یافته روابط (۷-۲) تا (۱۰-۲) و (۱۱-۲) را در رابطه (۶-۲) قرار می‌گیرد که در مختصات سراسری به صورت زیر به دست می‌آید [۲۴]:

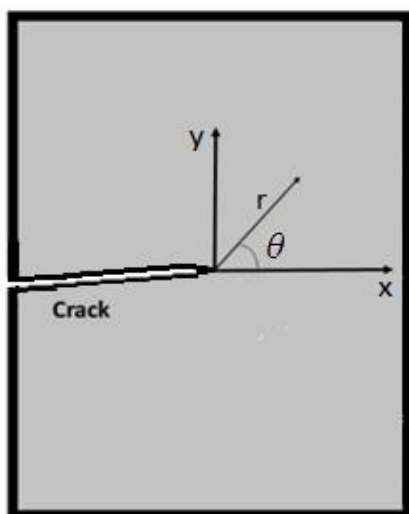
$$\begin{aligned} u(x, y, t) = & \sum_{n \in N_A} N_n(x, y) a_n^u(t) + \sum_{n \in N_H} N_n(x, y) [H(Z) - H(Z_N)] b_n^u(t) \quad (12-2) \\ & + \sum_{n \in N_c} N_n(x, y) [\sqrt{r} \sin\left(\frac{\varphi}{2}\right) - \sqrt{r_n} \sin\left(\frac{\varphi_n}{2}\right)] c_{n1}^u(t) \\ & + \sum_{n \in N_c} N_n(x, y) [\sqrt{r} \cos\left(\frac{\varphi}{2}\right) - \sqrt{r_n} \cos\left(\frac{\varphi_n}{2}\right)] c_{n2}^u(t) \\ & + \sum_{n \in N_c} N_n(x, y) [\sqrt{r} \sin(\varphi) \sin\left(\frac{\varphi}{2}\right) \\ & - \sqrt{r_n} \sin(\varphi_n) \sin\left(\frac{\varphi_n}{2}\right)] c_{n3}^u(t) \\ & + \sum_{n \in N_c} N_n(x, y) [\sqrt{r} \sin(\varphi) \cos\left(\frac{\varphi}{2}\right) \\ & - \sqrt{r_n} \sin(\varphi_n) \cos\left(\frac{\varphi_n}{2}\right)] c_{n4}^u(t) \end{aligned}$$

$$\begin{aligned}
v(x, y, t) = & \sum_{n \in N_A} N_n(x, y) a_n^v(t) + \sum_{n \in N_H} N_n(x, y) [H(Z) - H(Z_N)] b_n^v(t) \quad (13-2) \\
& + \sum_{n \in N_c} N_n(x, y) [\sqrt{r} \sin\left(\frac{\varphi}{2}\right) - \sqrt{r_n} \sin\left(\frac{\varphi_n}{2}\right)] c_{n1}^v(t) \\
& + \sum_{n \in N_c} N_n(x, y) [\sqrt{r} \cos\left(\frac{\varphi}{2}\right) - \sqrt{r_n} \cos\left(\frac{\varphi_n}{2}\right)] c_{n2}^v(t) \\
& + \sum_{n \in N_c} N_n(x, y) [\sqrt{r} \sin(\varphi) \sin\left(\frac{\varphi}{2}\right) \\
& - \sqrt{r_n} \sin(\varphi_n) \sin\left(\frac{\varphi_n}{2}\right)] c_{n3}^v(t) \\
& + \sum_{n \in N_c} N_n(x, y) [\sqrt{r} \sin(\varphi) \cos\left(\frac{\varphi}{2}\right) \\
& - \sqrt{r_n} \sin(\varphi_n) \cos\left(\frac{\varphi_n}{2}\right)] c_{n4}^v(t)
\end{aligned}$$

با فرض عایق بودن ترک میدان دما در امتداد ترک ناپیوسته است. برای در نظر گرفتن این ناپیوستگی از تابع هویساید استفاده می‌شود. شار حرارتی نیز در نوک ترک به صورت تکین است. میدان دمای نوک ترک مشابه میدان جابجایی مد پارگی (مد III) ترک به صورت زیر است [۳۱]:

$$T = -\frac{K_T}{k} \sqrt{\frac{2r}{\pi}} \sin\left(\frac{\varphi}{2}\right) \quad (13-2)$$

در رابطه (۲-۱۴)، k ضریب هدایت حرارتی و K_T ضریب شدت تنش حرارتی می‌باشد.



شکل (۳-۲) پیوستار دوبعدی شامل ترک و دستگاه‌های مختصات دکارتی و قطبی نوک ترک

میدان دما مثل میدان جابجایی گسسته‌سازی می‌شود و فقط از اولین رابطه (۲-۱۳) برای غنی‌سازی گره‌های نوک ترک استفاده شده است، بنابراین میدان دما را می‌توان به صورت زیر نوشت [۴۱]:

$$\theta(x, y, t) = \sum_{n \in N_A} N_n(x, y) a_n^T(t) + \sum_{n \in N_H} N_n(x, y) [H(Z) - H(Z_N)] b_n^T(t) \quad (15-2)$$

$$+ \sum_{n \in N_C} N_n(x, y) [\sqrt{r} \sin\left(\frac{\varphi}{2}\right) - \sqrt{r_n} \sin\left(\frac{\varphi_n}{2}\right)] c_{n1}^T(t)$$

در رابطه، (۲-۱۵) $a_n^T(t)$ ، $b_n^T(t)$ و $c_{n1}^T(t)$ مقادیر تغییرات دمای گره‌ها برای هر تابع شکل هست. روابط (۲-۱۱)، (۲-۱۲) و (۲-۱۳) که u جابجایی در راستای محور X و v جابجایی در راستای محور Y است را می‌توان به صورت زیر بازنویسی کرد:

$$u(x, y, t) = \quad (16-2)$$

$$\sum_{n \in N_A} N_n(x, y) a_n^u(t) + \sum_{n \in N_H} \phi_n(x, y) a_n^u(t) + \sum_{n \in N_C} \sum_{m=1}^4 \psi_{nm}(x, y) c_{nm}^u(t)$$

$$v(x, y, t) = \quad (14-2)$$

$$\sum_{n \in N_A} N_n(x, y) a_n^v(t) + \sum_{n \in N_H} \phi_n(x, y) a_n^v(t) + \sum_{n \in N_C} \sum_{m=1}^4 \psi_{nm}(x, y) c_{nm}^v(t)$$

$$\theta(x, y, t) = \quad (18-2)$$

$$\sum_{n \in N_A} N_n(x, y) a_n^T(t) + \sum_{n \in N_H} \phi_n(x, y) a_n^T(t) + \sum_{n \in N_C} \psi_{n1}(x, y) c_{n1}^T(t)$$

در روابط بالا، ψ و ϕ توابع غنی‌سازی میدان‌های جابجایی دما می‌باشند که به ترتیب مسیر و نوک ترک را غنی‌سازی می‌کنند.

۲-۵- انتگرال \mathcal{J}

انتگرال \mathcal{J} اولین بار توسط رایس [۳۷] مطرح شد. رایس انتگرال \mathcal{J} را برابر با کاهش در انرژی پتانسیل برافزایش سطح ترک و به صورت مستقل از مسیر تعریف کرده است. برای به دست آوردن ضریب شدت تنش روش‌های مختلفی در مکانیک شکست مرسوم است. میدان‌های تنش و کرنش در حوزه نوک ترک را با استفاده از یک پارامتری مانند انتگرال \mathcal{J} می‌توان محاسبه کرد و همچنین ضریب

شدت تنش، میزان بازشدگی سطح ترک را نیز با این روش می‌توان تعیین کرد. کاربرد پارامتر انتگرال J در ناحیه پلاستیک به نوک ترک بستگی دارد. اگر اندازه ناحیه به وجود آمده کوچک باشد، به این معنا که اندازه ناحیه پلاستیک در مقایسه با طول‌های مشخص شده دارای ترک، طول ترک، طول سازه در راستای ترک و ضخامت‌های کوچک باشد. (شرایط ناحیه تسلیم کوچک) ^۱ برای بیان میدان‌های تنش و کرنش حوزه نوک ترک می‌توان یکی از پارامترها را به‌عنوان خاصیت ماده بیان کرد [۳۴] با توجه به شکل (۲-۳) در دستگاه مختصات محلی، میدان‌های تنش حوزه نوک ترک برای یک پیوستار جامد به‌صورت زیر است:

$$\sigma_{ij} = K_I(2\pi r)^{\frac{1}{2}} f_{ij}^{II}(\varphi) + K_{II}(2\pi r)^{\frac{1}{2}} f_{ij}^{II}(\varphi) \quad (19-2)$$

در رابطه (۱۹-۲) K_I ضریب شدت تنش مود اول و K_{II} ضریب شدت تنش مود دوم است. توابع f و میدان‌های جابجایی نوک ترک در پیوست‌ها قرار داده شده است.

جهت محاسبه ضرایب شدت تنش در سیستم‌های خطی یکی از روش‌های متداول و کارآمد، انتگرال برهمکنش است. این روش برای تئوری‌های مختلف ترموالاستیسیته قابل استفاده است.

برای محاسبه ضریب شدت تنش با استفاده از انتگرال برهمکنش لازم است که از میدان‌های کمکی (میدان کمکی جابجایی، میدان کمکی کرنش و میدان کمکی تنش) استفاده کنیم. برای یک ترک ساکن میدان‌های کمکی در پیوست‌ها آورده شده است.

۲-۶- روش نیومارک

روش نیومارک به‌صورت تک گامه یا دو گامه مورد استفاده قرار می‌گیرد. در ادامه طرح تک گامه تشریح می‌گردد که برای محاسبه پارامترها در هر مرحله زمانی تنها از اطلاعات مرحله زمانی قبل استفاده می‌شود. در طرح دو گامه پارامترها در هر مرحله زمانی به اطلاعات دو مرحله پیشین ارتباط

^۱) small-scale yielding (SSY)

پیدا می‌کند که برای مشاهده جزئیات بیشتر می‌توان به پیوست مراجعه کرد. به منظور انجام آنالیز دینامیکی علاوه بر ماتریس‌های سفتی و نیرو به ماتریس جرم نیز احتیاج است که ماتریس جرم مربوطه بایستی از نظر قرارگیری ترم‌ها با ماتریس سفتی و نیرو مطابقت داشته باشد. معادله دیفرانسیل حاکم بر مسائل الاستودینامیکی سازه‌ای، یک معادله دیفرانسیل هایپربولیک بوده که فرم کلی آن به صورت زیر است:

$$M\ddot{u}(x,t) + C\dot{u}(x,t) + Ku(x,t) = f \quad (20-2)$$

که در رابطه (20-2)، M ماتریس جرم، C ماتریس میرایی و K ماتریس سفتی است.

از معادلات بالا با استفاده از بسط تیلور می‌توان مقادیر تغییر مکان و مشتقات آن را در زمان $t+1$ به صورت زیر از مقادیر t تقریب زده می‌شود:

$$u_{n+1} = u_n + \Delta t \dot{u}_n + \dots + \frac{\Delta t^p}{p!} u_n^p + \beta_p \frac{\Delta t^p}{p!} [u_{n+1}^p - u_n^p] \quad (21-2)$$

$$\dot{u}_{n+1} = \dot{u}_n + \Delta t \ddot{u}_n + \dots + \frac{\Delta t^{p-1}}{(p-1)!} u_n^p + \beta_{p-1} \frac{\Delta t^{p-1}}{(p-1)!} [u_{n+1}^p - u_n^p] \quad (22-2)$$

.

.

.

$$u_{n+1}^{p-1} = u_n^{p-1} + \dots + \Delta t u_n^p + \beta_1 \Delta t [u_{n+1}^p - u_n^p] \quad (23-2)$$

در معادله (23-2) پارامترهای β به عنوان ضریب باقی‌مانده استفاده شده است که با انتخاب مقادیر مناسب برای این پارامترها می‌توان مقادیر دقت تقریب را افزایش داد. روش نیومارک سری‌های فوق به صورت زیر استفاده می‌کنند:

$$u_{n+1} = u_n + \Delta t \dot{u}_n + \frac{\Delta t^2}{2} \ddot{u}_n + \beta_2 \frac{\Delta t^2}{2} [\ddot{u}_{n+1} - \ddot{u}_n] \quad (24-2)$$

$$\dot{u}_{n+1} = \dot{u}_n + \Delta t \ddot{u}_n + \beta_1 \Delta t [\ddot{u}_{n+1} - \ddot{u}_n] \quad (25-2)$$

می توان \dot{u} را با v (سرعت) و \ddot{u} را با a (شتاب) به صورت زیر نشان داد:

$$u_{n+1} = u_n + \Delta t v_n + \frac{\Delta t^2}{2} [(1 - \beta_2)a_n + \beta_2 a_{n+1}] \quad (26-2)$$

$$v_{n+1} = v_n + \Delta t [(1 - \beta_1)a_n + \beta_1 a_{n+1}] \quad (27-2)$$

اگر تغییر مکان و سرعت بر حسب شتاب محاسبه شود و در معادله دیفرانسیل مرتبه دو جایگذاری شود رابطه زیر استخراج می شود:

$$M_{\text{eff}} a_{n+1} = f_{\text{eff}} \quad (28-2)$$

$$M_{\text{eff}} = M + \frac{1}{2} \beta_2 \Delta t^2 K \quad (29-2)$$

$$f_{\text{eff}} = f_{n+1} - K [u_n + \Delta t v_n + \frac{1}{2} \Delta t^2 (1 - \beta_2) a_n] \quad (30-2)$$

با داشتن مقادیر مربوط به زمان t می توان مقدار شتاب در زمان $t+1$ را محاسبه کرد و سپس با استفاده از رابطه (30-2) مقدار سرعت و تغییر مکان را در زمان $t+1$ به دست آورد. با توجه به مطالعات انجام شده لازم به ذکر است که در برخی مراجع پارامتر β_1 را γ و پارامتر β_2 را β معرفی کرده اند. برای پارامترهای β_1 و β_2 می توان مقادیر متفاوتی را در نظر گرفت. برای مثال اگر برای پارامتر $\beta_1 = \frac{1}{2}$ و $\beta_2 = \frac{1}{3}$ در نظر گرفته شود. این روش، روش شتاب خطی^۱ نام گذاری می شود. همان طور که از اسم روش خطی پیداست شتاب در طول گام زمانی به صورت خطی تغییر می کند.

اگر برای $\beta_1 = \frac{1}{2}$ و $\beta_2 = \frac{1}{2}$ در نظر گرفته شود روشی که به دست می آید روش شتاب میانگین ثابت^۲ است. اگر از این روش برای مسائل خطی استفاده گردد نتایجی که به دست می آید نتایج

۱) *Linear-acceleration method*

۲) *Constant-average-acceleration method*

به صورت غیر مشروط پایدار خواهد بود اما برای مسائل غیرخطی برای اینکه نتایج پایدار باشند باید شرایطی را در نظر گرفت.

دو روش بالا که بیان شد روش غیرصریح^۱ هستند به معنای اینکه برای یافتن شتاب در زمان $t+1$ با استفاده از رابطه (۲۸-۲) احتیاج به حل دستگاه معادلات است که این موضوع صرف زمان بیشتری می خواهد. اگر مقادیر $\beta_1 = 0$ و $\beta_2 = 0$ در نظر گرفته شود روش های صریح^۲ نام گذاری می شود که در این روش ماتریس جرم به صورت توده ای^۳ مورد استفاده قرار می گیرد که در این روش مقادیر شتاب را بدون نیاز به حل دستگاه معادلات می توان به دست آورد. در روش صریح پایداری به صورت مشروط است و برای اینکه جواب های به دست آمده همگرا باشند بایستی طول گام زمانی از یک مقدار بحرانی کوچک تر باشد. در این روش نکاتی که باید مدنظر قرار گیرد یکی پیدا کردن روشی برای توده ای کردن ماتریس جرم و دیگری تعیین گام زمانی بحرانی است.

۲-۷- انتگرال برهمکنش:

در رابطه (۲-۳۱) فرم معمول انتگرال J برای یک ترک با صرف نظر کردن از اعمال نیرو به سطوح آورده شده است:

$$J = \lim_{r_s \rightarrow 0} \int_{r_s} (W\delta_{1j} - \sigma_{ij}u_{i,1})n_j dr_s \quad (۳۱-۲)$$

که W در رابطه (۲-۳۲) تعریف شده است:

$$W = \frac{1}{2} \sigma_{ij} \epsilon_{ij}^m \quad (۳۲-۲)$$

۱) *Implicit*

۲) *Explicit*

۳) *Lumped Mass Matrix*

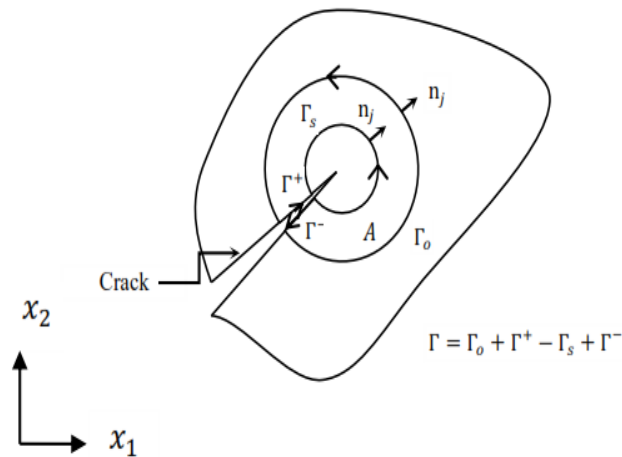
با در نظر گرفتن q (تابع پیوسته) و قضیه دیورژانس، انتگرال J با استفاده از انتگرال ناحیه‌ای معادل، در رابطه (۲-۳۳) آورده شده است [۳۵]. لازم به ذکر است که q برای مرز داخلی یک و برای مرز خارجی صفر در نظر گرفته می‌شود.

$$J = \int_A (\sigma_{ij}u_{i,1} - W\delta_{1j})q_{,j}dA + \int_A (\sigma_{ij}u_{i,1} + W\delta_{1j})_j qdA \quad (۳۳-۲)$$

در شکل (۲-۴) ناحیه محصور به منحنی Γ است که برای یک سیستم خطی با اعمال بارگذاری اصلی و بارگذاری کمکی، انتگرال J به صورت رابطه (۲-۳۴) بیان می‌شود.

$$J^S = J + J^{aux} + M \quad (۳۴-۲)$$

که در رابطه (۲-۳۴) J مقدار انتگرال J در حالت اصلی است و همچنین J^{aux} مقدار انتگرال J در حالت کمکی است و M هم انتگرال برهم‌کنش است که در رابطه (۲-۳۵) بیان شده است [۳۶].



شکل (۲-۴) تبدیل فرم کانتوری انتگرال J به فرم ناحیه‌ای [۲۲]

$$M = \int_A (\sigma_{ij} u_{i,1}^{aux} + \sigma_{ij}^{aux} u_{i,1} - W^{int} \delta_{1j}) q_{,j} dA \quad (35-2)$$

$$+ \int_A (\sigma_{ij} u_{i,1}^{aux} + \sigma_{ij}^{aux} u_{i,1} - W^{int} \delta_{1j})_{,j} q dA$$

در رابطه (35-2)، W^{int} تابع چگالی انرژی کرنشی برهم کنش است که در رابطه (36-2) بیان شده است:

$$W^{int} = \frac{1}{2} (\sigma_{ik} \varepsilon_{ik}^{aux} + \sigma_{ik}^{aux} \varepsilon_{ik}^m) \quad (36-2)$$

از عبارت دوم رابطه (35-2) مشتق گرفته شده است و با توجه به رابطه تعادل ($\sigma_{ij,j} = 0$) و رابطه سازگاری میدان‌های اصلی و میدان‌های کمکی، انتگرال برهم کنش به صورت رابطه (37-2) به دست می‌آید.

$$M = \int_A (\sigma_{ij} u_{i,1}^{aux} + \sigma_{ij}^{aux} u_{i,1} - W^{int} \delta_{1j}) q_{,j} dA \quad (37-2)$$

$$+ \int_A (\sigma_{ij} u_{i,1j}^{aux} + \sigma_{ij}^{aux} u_{i,1j} - W_{,1}^{int}) q dA$$

مشتق رابطه (37-2) را می‌توان به صورت زیر نوشت:

$$\left(\frac{W^{int}}{\partial x_1} \right) = \sigma_{ij} u_{i,j1}^{aux} + \sigma_{ij}^{aux} u_{i,j1} + \left(\frac{\partial W^{int}}{\partial x_1} \right)_{expl} \quad (38-2)$$

در رابطه (38-2) عبارت $\left(\frac{\partial W^{int}}{\partial x_1} \right)_{expl}$ را می‌توان به صورت زیر نوشت:

$$\left(\frac{\partial W^{int}}{\partial x_1} \right)_{expl} = \frac{\partial W^{int}}{\partial(\Delta T)} \frac{\partial(\Delta T)}{\partial x_1} + \frac{\partial W^{int}}{\partial(\Delta C)} \frac{\partial(\Delta C)}{\partial x_1} \quad (39-2)$$

با جایگذاری معادله ساختاری برحسب کرنش کل (ε)، اختلاف دما (ΔT) و غلظت رطوبت (ΔC) در رابطه (40-2) می‌توان انرژی کرنشی برهم کنش را به صورت زیر نوشت:

$$\begin{aligned}
W^{int} = \sigma_{ij}\varepsilon_{ij}^{aux} &= \sigma_{11}\varepsilon_{11}^{aux} + \sigma_{22}\varepsilon_{22}^{aux} + 2\sigma_{12}\varepsilon_{12}^{aux} & (40-2) \\
&= \{[\mu(\delta_{ik}\delta_{jl} + \delta_{il}\delta_{jk}) + \lambda\delta_{ij}\delta_{kl}]\varepsilon_{kl} - \alpha_0^c\delta_{ij}C - \alpha_0^T\delta_{ij}T\}\varepsilon_{ij}^{aux} \\
&= \mu(\delta_{ik}\delta_{jl} + \delta_{il}\delta_{jk})\varepsilon_{kl}\varepsilon_{ij}^{aux} + \lambda\delta_{ij}\delta_{kl}\varepsilon_{kl}\varepsilon_{ij}^{aux} - \alpha_0^c\delta_{ij}C\varepsilon_{ij}^{aux} \\
&\quad - \alpha_0^T\delta_{ij}T\varepsilon_{ij}^{aux} \\
&= 2\mu(\varepsilon_{ij}\varepsilon_{ij}^{aux}) + \lambda\varepsilon_{kk}\varepsilon_{ij}^{aux} - \alpha_0^c\varepsilon_{ll}^{aux}C - \alpha_0^T\varepsilon_{ll}^{aux}T
\end{aligned}$$

با مشتق‌گیری از رابطه (40-2) نسبت به ΔC و ΔT روابط (41-2) و (42-2) به دست می‌آید:

$$\frac{\partial W^{int}}{\partial(\Delta T)} = -\alpha_0^T\varepsilon_{ll}^{aux}T \quad (42-2)$$

$$\frac{\partial W^{int}}{\partial(\Delta C)} = -\alpha_0^c\varepsilon_{ll}^{aux}C \quad (43-2)$$

با جایگذاری روابط به دست آمده (42-2) و (43-2) در رابطه (37-2) فرم نهایی انتگرال برهم‌کنش برای بارگذاری گرمایی - انتشار به صورت رابطه (44-2) ارائه می‌شود.

$$\begin{aligned}
M = \int_A (\sigma_{ij}u_{i,1}^{aux} + \sigma_{ij}^{aux}u_{i,1} - W^{int}\delta_{ij})q_j dA + \int_A ((-\alpha_0^T\varepsilon_{ll}^{aux}T)\frac{\partial(\Delta T)}{\partial x_1})q dA & (44-2) \\
+ \int_A \left((-\alpha_0^c\varepsilon_{ll}^{aux}C)\frac{\partial(\Delta C)}{\partial x_1} \right) q dA
\end{aligned}$$

۸-۲ - استخراج ضرایب شدت تنش

رابطه بین انتگرال J و ضرایب شدت تنش K_I و K_{II} به صورت ارائه می‌شود:

$$J = \frac{K_I^2 + K_{II}^2}{E'} \quad (45-2)$$

همچنین، با توجه به رابطه (45-2) انتگرال برهم‌کنش M را می‌توان برحسب ضرایب شدت تنش K_I و K_{II} به صورت زیر بازنویسی شده است.

$$M = \frac{2}{E'}(K_I K_I^{aux} + K_{II} K_{II}^{aux}) \quad (46-2)$$

که در رابطه بالا، E' به صورت زیر بیان شده است:

$$E' = \begin{cases} E & \text{تنش صفحه‌ای} \\ E/(1 - v^2) & \text{کرنش صفحه‌ای} \end{cases} \quad (47-2)$$

ضرایب شدت تنش K_I و K_{II} را می‌توان با انتخاب صحیح میدان‌های کمکی (مودهای خالص I و II) و نیز با استفاده از انتگرال برهم‌کنش M ، به صورت زیر ارائه کرد:

$$K_I = \frac{E'}{2} M^{(1)}, (K_I^{aux} = 1, K_{II}^{aux} = 0) \quad (48-2)$$

$$K_{II} = \frac{E'}{2} M^{(2)}, (K_I^{aux} = 0, K_{II}^{aux} = 1) \quad (49-2)$$

۲-۹- تئوری گرین-نقدی

تئوری گرین-نقدی از مفهوم جابه‌جایی گرمایی و موج گرما بهره‌مند است که این امر با تئوری استاندارد فوریه مغایرت داشته و امروزه تئوری گرین-نقدی مورد توجه بسیاری از محققان قرار گرفته که در مسائل مورد بررسی آنها، انتشار گرما با ترموالاستیسیته و برخی موارد دیگر بررسی شده است، تئوری گرین-نقدی یک چارچوب کلی ایجاد کرده که مسائل گرمایی گسترده‌تری را نسبت به تئوری استاندارد (فوریه و تئوری ترموالاستیسیته کلاسیک) شامل شده است. این تئوری به سه نوع مختلف تقسیم می‌شود [۳۸].

نوع I: تحت شرایط خاص ارائه شده و براساس رابطه ساختاری شار گرمایی تئوری استاندارد فوریه ارائه گردیده است.

نوع II: مشخصه بارز تئوری گرین-نقدی نوع II، انتشار بدون استهلاک موج گرما است.

نوع III: تئوری گرین-نقدی نوع III چارچوبی جهت تحلیل، شرح و توصیف محدوده گسترده‌تری از مسائل است. در حقیقت گرین و نقدی تئوری‌های خود را با ساختار ترمودینامیکی قوی و مستحکم ارائه داده‌اند که علاوه بر انتشار گرما در رساناهای صلب، شامل مواردی از پدیده‌های جفت‌شدگی (کوپل) مثل ترموالاستیسیته و سیالات ترمووایسکوز می‌باشد [۳۸]. روابط اساسی حاکم بر تئوری ترموالاستیسیته به صورت زیر است:

الف) تعادل آنترویی

برخلاف فرایند کلاسیک اصل تعادل انرژی (قانون اول) و عدم تعادل آنترویی (قانون دوم)، تئوری گرین-نقدی براساس بیانی برای تعادل آنترویی پایه گذاری شده است. رابطه تعادل آنترویی پیشنهاد شده مطابق رابطه زیر است [۳۹].

$$\dot{\eta} = -\text{div } h + s + \xi \quad (50-2)$$

که در آن s ، $\dot{\eta}$ و ξ به ترتیب نشانگر آنترویی، منبع خارجی آنترویی و تولید آنترویی داخلی هستند و h بردار شار ورودی آنترویی را نشان می دهد. گرین و نقدی فرض کردند که شار ورودی آنترویی تابعی از q و r است که q بردار شار ورودی گرمایی و r منبع گرمایی خارجی است که با جریان داخلی آنترویی و دمای مطلق متناسب است.

$$q = \theta h, \quad \theta s = r, \quad \theta > 0 \quad (51-2)$$

در تحقیقات اخیر نشان داده شده است که این فرض زمانی درست است که h و q به متغیرهای حالت وابستگی همگن داشته باشند [۳۸].

ب) روابط تعادل انرژی، انرژی آزاد و تعادل آنترویی کاهش یافته

با ضرب رابطه (۵۰-۲) در دمای مطلق، رابطه (۵۲-۲) به دست می آید:

$$\theta \dot{\eta} = -\text{div } q + \theta^{-1} q \cdot \nabla \theta + r + \theta \xi \quad (52-2)$$

رابطه تعادل انرژی به صورت رابطه (۵۳-۲) است:

$$\dot{\varepsilon} = -\text{div } q + r \quad (15-2)$$

همچنین انرژی آزاد هلمهولتز در واحد جرم به صورت رابطه (۵۳-۲) است.

$$\psi = \varepsilon - \theta \eta \quad (54-2)$$

رابطه (۵۵-۲)، معادله آنترویی کاهش یافته گرین و نقدی است.

$$\dot{\psi} + \eta\dot{\theta} + \theta^{-1}q \cdot \nabla\theta + \theta\xi = 0 \quad (55-2)$$

که $\theta\xi$ اتلاف داخلی است.

۲-۱۰- جابه‌جایی گرمایی

رابطه (۵۵-۲) نقطه مشترک بسط ساختاری تئوری گرین-نقدی نوع I، II و III است. در تمام این تئوری‌ها، این رابطه نقش نابرابری آنتروپی کاهش‌یافته در فرآیند استاندارد کلن-نول^۱ را ایفا می‌کند.

$$\dot{\psi} + \eta\dot{\theta} + \theta^{-1}q \cdot \nabla\theta + \theta\xi \leq 0 \quad (56-2)$$

با این اختلاف که گرین و نقدی فرض کردند که اتلاف داخلی هرگز نباید منفی شود. اختلاف چشمگیر دیگر در هدایت گرمایی استاندارد این است که در هر سه نوع تئوری گرین-نقدی، متغیرهای حالت جابه‌جایی گرمایی α مشتق زمانی دمای تجربی هستند.

$$\dot{\alpha} = T \quad (57-2)$$

بعلاوه در این تئوری‌ها فرض شده که دمای مطلق θ تابعی از دمای تجربی است. برای سادگی از این به بعد فرض می‌شود که دماهای مطلق و تجربی برهم منطبق هستند.

$$\dot{\alpha} = \theta \quad (58-2)$$

مفهوم جابه‌جایی گرمایی در ابتدا توسط هلمهولتز در سال ۱۸۸۴ مورد استفاده قرار گرفت. درحالی‌که نقش اصلی این مفهوم در قوانین اساسی تعادل ترمودینامیک بدیهی است اما تفسیر فیزیکی آن به‌خصوص در مواردی که شامل تغییر مکانیکی-استاتیکی دما است از موضوعات مطلوب محققان قرار گرفته است [۳۸].

۱) standard Coleman-Knoll process

معادلات حاکم انتشار -

ترموالاستیسیته تعمیم یافته

۳-۱- مقدمه

در این فصل برای سازه‌ای که تحت انتشار و گرما قرار دارد، معادلات حاکم شامل معادلات حرکت، تعادل و انرژی معرفی می‌شود. بعد از فرآیند بی‌بعد سازی معادلات حاکم، فرم گسسته آن‌ها به صورت ماتریسی بیان می‌شود.

۳-۲- معادلات حاکم بر انتشار در محیط ترموالاستیسیته:

در اینجا جهت تحلیل یک سازه تحت انتشار سیال از شکل کوپل معادلات انتشار-ترموالاستیسیته استفاده می‌شود. معادله حرکت، معادله تعادل جرم و معادله انرژی عبارتند از [۱۱]:

$$\sigma_{ij,j} + f_i = \rho \ddot{u}_i \quad (۱-۳)$$

$$\dot{\mu} + \dot{\mu}^{(a)} = \frac{I}{c_0} - \frac{\beta' J_{i,i}}{c_0} \quad (۲-۳)$$

$$C^T \ddot{T} + \gamma^T T_0 \ddot{u}_{j,j} = \kappa^* T_{,ii} \quad (۳-۳)$$

در رابطه فوق، σ تنسور تنش، f بردار نیروی کالبدی بر واحد حجم، u_i بردار جابه‌جایی، $\mu^{(a)}$ اینرسی پتانسیل شیمیایی، I منبع انتشار، c_0 غلظت مولی، ρ چگالی، T دما، T_0 دمای اولیه، κ^* ثابت ماده، C^T گرمای ویژه است.

معادلات ساختاری عبارت است از [۱۱]:

$$\sigma_{ij} = C_{ijkl} \varepsilon_{kl} - \alpha^c_{ij} c - \alpha^T_{ij} T = 2\mu \varepsilon_{ij} + \lambda \varepsilon_{kk} \delta_{ij} - \alpha^c_{ij} c \delta_{ij} - \alpha^T_{ij} T \delta_{ij} \quad (۴-۳)$$

$$\mu = \alpha^c_{ij} \varepsilon_{ij} + \beta c \quad (۵-۳)$$

$$\rho s = S = \alpha^T_{ij} \varepsilon_{ij} + \rho C^T T \quad (۶-۳)$$

در رابطه فوق σ_{ij} تنش، ε_{ij} تنسور کرنش، c غلظت مولی، μ پتانسیل شیمیایی، S آنتروپی، α^c_{ij} ضریبی برای اتصال بین تنش و غلظت، α^T_{ij} ضریبی برای اتصال بین تنش و درجه حرارت، J_i شار انتشار است.

قانون فیک برای مواد ایزوتروپیک و همگن به شرح زیر است:

$$J_i = -D_{ij}c_{,j} = -D_0\delta_{ij}c_{,j} = -D_0c_{,i} \quad (۷-۳)$$

در رابطه (۳-۷) D_0 ضریب انتشار است و در رابطه (۳-۲) وابستگی $\mu^{(a)}$ به میزان غلظت نشان داده شده است:

$$\mu^{(a)} = \gamma^c c \quad (۸-۳)$$

در رابطه (۸-۳)، γ ضریب وابستگی است.

$$\beta = \frac{\beta'}{c_0} = \frac{RT}{c_0} \quad (۹-۳)$$

در رابطه فوق R ثابت جهانی گازها و T دمای مطلق است.

با صرف نظر کردن از نیروهای کالبدی و منابع انتشار معادلات به صورت زیر است:

$$\sigma_{ij,j}(x, t) = \rho \ddot{u}_i(x, t) \quad (۱۰-۳)$$

$$\dot{\mu}(x, t) + \dot{\mu}^{(a)}(x, t) = -\frac{\beta' J_{i,i}}{c_0}(x, t) \quad (۱۱-۳)$$

$$C^T \ddot{T}(x, t) + \gamma^T T_0 \ddot{u}_{j,j}(x, t) = \kappa^* T_{,ii}(x, t) \quad (۱۲-۳)$$

برای مواد ایزوتروپیک و همگن، تانسور الاستیسیته و ضرایب ماده به صورت زیر است:

$$C_{ijkl} = \frac{2\nu G}{1-2\nu} \delta_{ij}\delta_{kl} + G\delta_{ik}\delta_{jl} + G\delta_{il}\delta_{jk} \quad (۱۳-۳)$$

$$\alpha_{ij}^c = \alpha_0^c \delta_{ij} \quad (۱۴-۳)$$

$$\alpha_{ij}^T = \alpha_0^T \delta_{ij} \quad (۱۵-۳)$$

رابطه سینماتیک برای تغییرشکل‌های بسیار کوچک به قرار زیر است:

$$\varepsilon_{ij} = \frac{1}{2}(u_{i,j} + u_{j,i}) \quad (۱۶-۳)$$

در رابطه فوق ε تانسور کرنش کل است.

۳-۳- معادلات حاکم

معادلات حاکم بر انتشار سیال در محیط ترموالاستیسیته به ترتیب معادله (۳-۱۷) معادله حرکت،

معادله (۳-۱۸) معادله تعادل جرم و معادله (۳-۱۹) معادله انرژی به صورت زیر تفکیک شده است:

$$\mu u_{i,jj} + (\lambda + \mu) u_{j,ij} + \mu u_{1,22} - \beta^c c_{,i} - \beta^T T_{,i} = \rho \ddot{u}_i \quad (۳-۱۷)$$

$$\alpha_0^c (\dot{u}_{i,i}) + \beta \dot{c} + \gamma^c \dot{c} = \beta D_0 (c_{,ii}) \quad (۳-۱۸)$$

$$\rho c \ddot{T} + \beta^T T_0 (\ddot{u}_{i,i}) = \kappa^* (T_{,ii}) \quad (۳-۱۹)$$

در روابط فوق C غلظت مولی، β^c ضریب حرارتی مکانیکی، β^T ضریب شیمیایی مکانیکی، u جابجایی، β ثابت پتانسیل شیمیایی، D_0 ضریب پخش و κ^* ثابت ماده است.

۳-۴- بی بعد سازی معادلات حاکم

برای سادگی معادلات حاکم از پارامترهای بدون بعد استفاده می شود که پارامترهای بدون بعد

به صورت زیر قابل بیان هستند:

$$\hat{x} = \frac{x}{L} \quad (۳-۲۰)$$

$$\hat{u}_i = \frac{u_i}{L} \quad (۳-۲۱)$$

$$\hat{C} = \frac{\beta^c}{\lambda + 2\mu} (C - C_0) \quad (۳-۲۲)$$

$$\hat{T} = \frac{\beta^T}{\lambda + 2\mu} (T - T_0) \quad (۳-۲۳)$$

۳-۵- معادلات بعد از فرآیند بی بعد سازی

معادلات حاکم بر انتشار سیال در محیط ترموالاستیسیته بعد از فرآیند بی بعد سازی به صورت زیر

قابل بیان هستند:

$$\left(\frac{\mu}{\lambda + 2\mu} \right) \hat{u}_{i,jj} + \left(\frac{\lambda + \mu}{\lambda + 2\mu} \right) \hat{u}_{j,ij} - \hat{C}_{,i} - \hat{T}_{,i} = \frac{\rho V^2}{\lambda + 2\mu} \ddot{\hat{u}}_i \quad (۳-۲۴)$$

$$\ddot{T} + \frac{\beta^T T_0^2}{\rho c(\lambda + 2\mu)} \ddot{u}_{i,i} = \frac{\kappa^*}{\rho c V^2} \hat{T}_{,ii} \quad (25-3)$$

$$\frac{\gamma^c V}{\beta L} \ddot{C} + \dot{C} + \frac{\beta C^2}{\beta(\lambda + 2\mu)} \dot{u}_{i,i} = D_0 \frac{1}{VL} \hat{C}_{i,i} \quad (26-3)$$

برای ساده‌سازی معادلات (۲۴-۳) تا (۲۶-۳)، پارامترها به صورت زیر در نظر گرفته شده است:

$$\left(\frac{\mu}{\lambda + 2\mu}\right) = \hat{\mu} \quad (27-3)$$

$$\left(\frac{\lambda + \mu}{\lambda + 2\mu}\right) = (\hat{\lambda} + \hat{\mu}) \quad (28-3)$$

$$\frac{\rho V^2}{\lambda + 2\mu} = \hat{\rho} \quad (29-3)$$

$$\frac{\beta^T T_0^2}{\rho c(\lambda + 2\mu)} = \varepsilon^T \quad (30-3)$$

$$\frac{\kappa^*}{\rho c V^2} = \hat{\kappa}^* \quad (31-3)$$

$$\frac{\gamma^c v}{\beta L} = \hat{t}_0 \quad (32-3)$$

$$\frac{\beta C^2}{\beta(\lambda + 2\mu)} = \varepsilon^c \quad (33-3)$$

$$D_0 \frac{1}{VL} = \hat{D}_0 \quad (34-3)$$

معادلات بعد از بی‌بعد سازی به صورت زیر می‌باشند:

$$\hat{\mu} \hat{u}_{i,jj} + (\hat{\lambda} + \hat{\mu}) \hat{u}_{j,ij} - \hat{C}_{,i} - \hat{T}_{,i} = \hat{\rho} \ddot{u}_i \quad (35-3)$$

$$\ddot{T} + \varepsilon^T \ddot{u}_{i,i} = \hat{\kappa}^* \hat{T}_{,ii} \quad (36-3)$$

$$\hat{t}_0 \ddot{C} + \dot{C} + \varepsilon^c \dot{u}_{i,i} = \hat{D}_0 \hat{C}_{i,i} \quad (37-3)$$

در معادلات فوق $V = \sqrt{\frac{\lambda + 2\mu}{\rho}}$ است.

۳-۶- گسسته‌سازی معادلات انتشار - ترموالاستیسیته

برای گسسته‌سازی معادلات حاکم از روش گلرکین استفاده شده است. برای یک المان مبنا (e) که تمامی گره‌های آن توسط هر دو تابع غنی‌سازی هستند که رفتار نزدیک نوک ترک را تقریب می‌زنند. این توابع برحسب مختصات محلی نوک ترک (r و Φ) عبارتند از:

$$\Phi_h(x, y) = N_h(x, y)[H(Z) - H(Z_h)] \quad (37-3)$$

$$\begin{aligned} \Psi_n = (x, y) = N_h(x, y) & \left[\sqrt{r} \sin\left(\frac{\Phi}{2}\right) - \sqrt{r_n} \sin\left(\frac{\Phi_n}{2}\right), \sqrt{r} \cos\left(\frac{\Phi}{2}\right) \right. \\ & - \sqrt{r_n} \cos\left(\frac{\Phi_n}{2}\right), \sqrt{r} \sin(\Phi) \sin\left(\frac{\Phi}{2}\right) \\ & - \sqrt{r_n} \sin(\Phi_n) \sin\left(\frac{\Phi_n}{2}\right), \sqrt{r} \sin(\Phi) \cos\left(\frac{\Phi}{2}\right) \\ & \left. - \sqrt{r_n} \sin(\Phi_n) \cos\left(\frac{\Phi_n}{2}\right) \right] \quad (38-3) \end{aligned}$$

$H(Z)$ تابع هویساید است که به صورت زیر تعریف می‌شود:

$$H(Z) = \begin{cases} 1, & Z > 0 \\ 0 & Z \leq 0 \end{cases} \quad (39-3)$$

در اینجا Z تابعی از موقعیت یک نقطه نسبت به مسیر ترک است.

مؤلفه‌های جابه‌جایی، دما و غلظت به صورت زیر بیان شده است:

$$u^e(x, y, t) = N_h(x, y)a_h^u(t) + \Phi_h(x, y)b_h^u(t) + \Psi_{nm}(x, y)c_{hm}^u(t) \quad (40-3)$$

$$v^e(x, y, t) = N_h(x, y)a_h^v(t) + \Phi_h(x, y)b_h^v(t) + \Psi_{nm}(x, y)c_{hm}^v(t) \quad (41-3)$$

$$\theta^e(x, y, t) = N_h(x, y)a_h^T(t) + \Phi_h(x, y)b_h^T(t) + \Psi_{nm}(x, y)c_{hm}^T(t) \quad (42-3)$$

$$c^e(x, y, t) = N_h(x, y)a_h^z(t) + \Phi_h(x, y)b_h^z(t) + \Psi_{nm}(x, y)c_{hm}^T(t) \quad (43-3)$$

$$h = 1, \dots, ne, \quad m = 1, \dots, 4$$

۳-۷- معادلات حاکم بعد از فرآیند گسسته‌سازی

با نوشتن فرم ضعیف معادلات حاکم بی‌بعد شده در نهایت به معادله (۳-۴۴) و (۳-۴۵) فرم گسسته

شده معادله حرکت، معادله (۴۶-۳) معادله تعادل جرم و (۴۷-۳) به معادله انرژی رسیده که به صورت

زیر بیان شده است:

$$i=1 \quad (۴۴-۳)$$

$$\int_{\Omega^e} [(\hat{\lambda} + 2\hat{\mu})u_{1,11} + (\hat{\lambda} + \hat{\mu})u_{1,22} + \hat{\mu}u_{2,22} - \beta^c C_{,1} - \beta^T T_{,1} - \ddot{u}_1] d\Omega$$

$$= \int_{\Omega^e} \text{Tr}_x^n N_i d\Omega$$

$$i=2 \quad (۴۵-۳)$$

$$\int_{\Omega^e} [\hat{\mu}u_{1,12} + (\hat{\lambda} + \hat{\mu})u_{2,11} + (\hat{\lambda} + 2\hat{\mu})u_{2,22} - \beta^c C_{,1} - \beta^T T_{,1} - \ddot{u}_2] d\Omega$$

$$= \int_{\Omega^e} \text{Tr}_y^n N_i d\Omega$$

$$\int_{\Omega^e} \hat{\tau}_0 \ddot{c} + \dot{c} - \hat{D}_0 c_{,ii} + \kappa^c \dot{u}_{i,i} = - \int_{\Omega^e} (q_i n_i) N_i d\Omega \quad (۴۶-۳)$$

$$\int_{\Omega^e} \ddot{T} + \kappa^T (\ddot{u}_{1,1} + \ddot{u}_{2,2}) - \hat{\kappa}^* (T_{,11} + T_{,22}) = - \int_{\Omega^e} (q_i n_i) N_i d\Omega \quad (۴۷-۳)$$

با گسسته سازی انتگرال‌های فوق با استفاده از روش المان محدود توسعه یافته و اعمال میدان‌های

تقریب جابجایی، دما و غلظت خواهیم داشت:

$$\int_{\Omega^e} [(\hat{\lambda} + 2\hat{\mu})S_{L,x} (N_{n,x} a_n^u + \Phi_{n,x} b_n^u + \Psi_{nm,x} c_{nm}^u) \quad (۴۸-۳)$$

$$+ (\hat{\lambda} + \hat{\mu})S_{L,y} (N_{n,y} a_n^u + \Phi_{n,y} b_n^u + \Psi_{nm,y} c_{nm}^u)$$

$$+ \hat{\mu}S_{L,x} (N_{n,y} a_n^v + \Phi_{n,y} b_n^v + \Psi_{nm,y} c_{nm}^v)$$

$$- \beta^c S_{L,x} (N_n a_n^c + \Phi_n b_n^c + \Psi_{nm} c_{nm}^c)$$

$$- \beta^T S_{L,x} (N_n a_n^T + \Phi_n b_n^T + \Psi_{nm} c_{nm}^T)$$

$$- S_L (N_n \ddot{a}_n^u + \Phi_n \ddot{b}_n^u + \Psi_{nm} \ddot{c}_{nm}^u)] d\Omega = \int_{\Omega^e} \text{Tr}_x^n S_L d\Omega$$

$$\int_{\Omega^e} \hat{\mu} S_{L,x} (N_{n,y} a_n^u + \Phi_{n,y} b_n^u + \Psi_{nm,y} c_{nm}^u) \quad (49-3)$$

$$\begin{aligned} &+ (\hat{\lambda} + \hat{\mu}) S_{L,x} (N_{n,x} a_n^v + \Phi_{n,x} b_n^v + \Psi_{nm,x} c_{nm}^v) + (\hat{\lambda} \\ &+ 2\hat{\mu}) S_{L,y} (N_{n,y} a_n^v + \Phi_{n,y} b_n^v + \Psi_{nm,y} c_{nm}^v) \\ &- \beta^c S_{L,y} (N_n a_n^c + \Phi_n b_n^c + \Psi_{nm} c_{nm}^c) \\ &- \beta^T S_{L,y} (N_n a_n^T + \Phi_n b_n^T + \Psi_{nm} c_{nm}^T) \\ &- S_L (N_n \ddot{a}_n^u + \Phi_n \ddot{b}_n^u + \Psi_{nm} \ddot{c}_{nm}^u)] d\Omega = \int_{\Omega^e} Tr_y^n S_L d\Omega \end{aligned}$$

$$\int_{\Omega^e} \hat{t}_0 S_L (N_n \ddot{a}_n^c + \Phi_n \ddot{b}_n^c + \Psi_{nm} \ddot{c}_{nm}^c) + S_L (N_n \dot{a}_n^c + \Phi_n \dot{b}_n^c + \Psi_{nm} \dot{c}_{nm}^c) \quad (50-3)$$

$$\begin{aligned} &- \hat{D}_0 S_{L,x} (N_{n,x} a_n^c + \Phi_{n,x} b_n^c + \Psi_{nm,x} c_{nm}^c) \\ &+ S_{L,y} (N_{n,y} a_n^c + \Phi_{n,y} b_n^c + \Psi_{nm,y} c_{nm}^c) \\ &+ \kappa^c S_{L,x} (N_{n,y} a_n^u + \Phi_{n,x} b_n^x + \Psi_{nm,x} c_{nm}^x) \\ &+ S_{L,y} (N_{n,y} a_n^v + \Phi_{n,y} b_n^v + \Psi_{nm,y} c_{nm}^v) \\ &= - \int_{\Omega^e} (q_x n_x) S_L d\Omega - \int_{\Omega^e} (q_y n_y) S_L d\Omega \end{aligned}$$

$$\int_{\Omega^e} S_L (N_n a_n^T + \Phi_n b_n^T + \Psi_{nm} c_{nm}^T) + \kappa^T S_{L,x} (N_n \ddot{a}_n^u + \Phi_n \ddot{b}_n^u + \Psi_{nm} \ddot{c}_{nm}^u) \quad (51-3)$$

$$\begin{aligned} &+ \kappa^T S_{L,y} (N_n \ddot{a}_n^v + \Phi_n \ddot{b}_n^v + \Psi_{nm} \ddot{c}_{nm}^v) \\ &- \hat{\kappa}^* S_{L,x} (N_{n,x} a_n^T + \Phi_{n,x} b_n^T + \Psi_{nm,x} c_{nm}^T) \\ &+ \hat{\kappa}^* S_{L,y} (N_{n,y} a_n^T + \Phi_{n,y} b_n^T + \Psi_{nm,y} c_{nm}^T) \\ &= - \int_{\Omega^e} (q_x n_x) S_L d\Omega - \int_{\Omega^e} (q_y n_y) S_L d\Omega \end{aligned}$$

که در این رابطه توابع وزنی $S_L(x, y)$ همان توابع شکل المان محدود توسعه یافته هستند یعنی،

$$S_L = \{N_1, N_2, N_3, N_4, \Phi_1, \Phi_2, \Phi_3, \Phi_4, \Psi_{1m}, \Psi_{2m}, \Psi_{3m}, \Psi_{4m}\} \quad (52-3)$$

$$m=1, \dots, 4$$

در معادلات بالا $Tr = \sigma \cdot n_x$ همان بردار تنش هست.

دسته‌بندی معادلات برحسب U, V, C, T برای هر سه نیرو در روابط زیر نشان داده شده است :

$$U = N_i U_i, V = N_i V_i, C = N_i C_i, T = N_i T_i$$

$$\int_{\Omega^e} [(\hat{\lambda} + 2\hat{\mu})N_{i,x}N_{j,x}U_i + (\hat{\lambda} + \hat{\mu})N_{i,y}N_{j,y}U_i + \hat{\mu}N_{i,x}N_{j,y}V_i - \beta^c N_i N_{j,x} C_i - \beta^T N_i N_{j,x} T_i - N_i N_j \ddot{u}_1] d\Omega \quad (53-3)$$

$$= \int_{\Omega^e} Tr_x^n N_i d\Omega$$

$$\int_{\Omega^e} [\hat{\mu}N_{i,x}N_{j,y}U_i + (\hat{\lambda} + \hat{\mu})N_{i,x}N_{j,x}V_i + (\hat{\lambda} + 2\hat{\mu})N_{i,y}N_{j,y}V_i - \beta^c N_i N_{j,y} C_i - \beta^T N_i N_{j,y} T_i - N_i N_j \ddot{v}_1] d\Omega \quad (54-3)$$

$$= \int_{\Omega^e} Tr_y^n N_i d\Omega$$

$$\int_{\Omega^e} [\hat{t}_0 N_i N_j \ddot{C}_i + \dot{C}_i N_i N_j - \hat{D}_0 (N_{i,x} N_{j,x} + N_{i,y} N_{j,y}) C_i + \kappa^c (N_i N_{j,x}) \dot{U}_i + \kappa^c (N_i N_{j,y}) \dot{V}_i] d\Omega = - \int_{\Omega^e} (q_i n_i) N_i d\Omega \quad (55-3)$$

$$\int_{\Omega^e} [N_i N_j \ddot{T}_i + \kappa^T N_i N_{j,x} \ddot{U}_i + \kappa^T N_i N_{j,y} \ddot{V}_i - \hat{\kappa}^* N_{i,x} N_{j,x} T_i - \hat{\kappa}^* N_{i,y} N_{j,y} T_i] d\Omega = - \int_{\Omega^e} (q_i n_i) N_i d\Omega \quad (56-3)$$

در نهایت معادلات گسسته‌سازی شده را می‌توان به صورت ماتریسی بیان کرد:

$$[M]\{\ddot{\Delta}\} + [C]\{\dot{\Delta}\} + [K]\{\Delta\} = \{F\} \quad (57-3)$$

در این رابطه $[M]$ ، $[C]$ و $[K]$ به ترتیب ماتریس‌های جرم، میرایی، و سفتی هستند. $\{\Delta\}$ بردار مجهولات گره‌ای و $\{F\}$ بردار نیروهای گره‌ای است. برای یک المان مبنا (e) این ماتریس‌ها و بردارها به صورت زیر به دست می‌آیند.

$$M = \begin{bmatrix} M^{UU} & 0 & 0 \\ 0 & M^{CC} & 0 \\ M^{TU} & 0 & M^{TT} \end{bmatrix} \quad (58-3)$$

$$M^{UU} = \int_{\Omega^e} [NU]^T [NU] d\Omega \quad (59-3)$$

$$M^{CC} = \hat{t}_0 \int_{\Omega^e} [NC]^T [NC] d\Omega \quad (60-3)$$

$$M^{TU} = \int_{\Omega^e} [NT]^T [\varepsilon^T \varepsilon^T 0] [BU] d\Omega \quad (61-3)$$

$$M^{TT} = \int_{\Omega^e} [NT]^T [NT] d\Omega \quad (62-3)$$

$$C = \begin{bmatrix} 0 & 0 & 0 \\ C^{CU} & C^{CC} & 0 \\ 0 & 0 & 0 \end{bmatrix} \quad (63-3)$$

$$C^{CU} = \int_{\Omega^e} [NC]^T [\varepsilon^C \ \varepsilon^C \ 0] [BU] d\Omega \quad (64-3)$$

$$C^{CC} = \int_{\Omega^e} [NC]^T [NC] d\Omega \quad (65-3)$$

$$K = \begin{bmatrix} K^{UU} & K^{UC} & K^{UT} \\ 0 & K^{CC} & 0 \\ 0 & 0 & K^{TT} \end{bmatrix} \quad (66-3)$$

$$K^{UU} = \int_{\Omega^e} [BU]^T [D] [BU] d\Omega \quad (67-3)$$

$$K^{UC} = - \int_{\Omega^e} [BU]^T \begin{Bmatrix} 1 \\ 1 \\ 0 \end{Bmatrix} [NC] d\Omega \quad (68-3)$$

$$K^{UT} = - \int_{\Omega^e} [BU]^T \begin{Bmatrix} 1 \\ 1 \\ 0 \end{Bmatrix} [NT] d\Omega \quad (69-3)$$

$$K^{CC} = \widehat{D}_0 \int_{\Omega^e} [BC]^T [BC] d\Omega \quad (70-3)$$

$$K^{TT} = \int_{\Omega^e} [BT]^T [BT] d\Omega \quad (71-3)$$

$$[NU] = \begin{bmatrix} N_1 & 0 & N_2 & 0 & N_3 & 0 & N_4 & 0 \\ 0 & N_1 & 0 & N_2 & 0 & N_3 & 0 & N_4 \end{bmatrix} \quad (72-3)$$

$$[NT] = [N_1 \ N_2 \ N_3 \ N_4] \quad (73-3)$$

$$[NC] = [N_1 \ N_2 \ N_3 \ N_4] \quad (74-3)$$

$$[BU] = \begin{bmatrix} N_{1,x} & 0 & N_{2,x} & 0 & N_{3,x} & 0 & N_{4,x} & 0 \\ 0 & N_{1,y} & 0 & N_{2,y} & 0 & N_{3,y} & 0 & N_{4,y} \\ N_{1,y} & N_{1,x} & N_{2,y} & N_{2,x} & N_{3,y} & N_{3,x} & N_{4,y} & N_{4,x} \end{bmatrix} \quad (75-3)$$

$$[BT] = \begin{bmatrix} N_{1,x} & N_{2,x} & N_{3,x} & N_{4,x} \\ N_{1,y} & N_{2,y} & N_{3,y} & N_{4,y} \end{bmatrix} \quad (76-3)$$

$$[BC] = \begin{bmatrix} N_{1,x} & N_{2,x} & N_{3,x} & N_{4,x} \\ N_{1,y} & N_{2,y} & N_{3,y} & N_{4,y} \end{bmatrix} \quad (۷۷-۳)$$

ماتریس خواص $[D]$ برای حالت کرنش صفحه‌ای در فضای بی‌بعد به صورت زیر است.

$$[D] = \begin{bmatrix} \hat{\lambda} + 2\hat{\mu} & \hat{\lambda} & 0 \\ \hat{\lambda} & \hat{\lambda} + 2\hat{\mu} & 0 \\ 0 & 0 & \hat{\mu} \end{bmatrix} \quad (۷۸-۳)$$

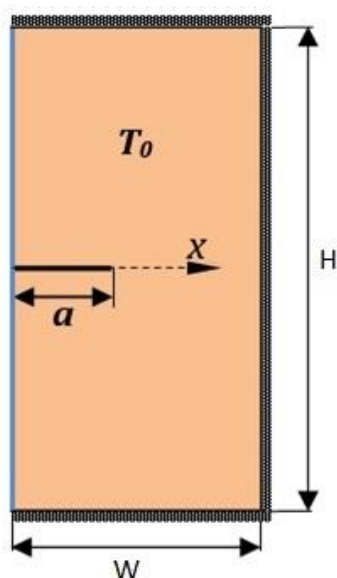
ارائه نتایج

در این فصل برای استخراج نتایج عددی ابتدا دقت و کارایی روش المان محدود توسعه یافته بررسی گردیده است. تاریخچه زمانی ضریب شدت تنش، دمای نوک ترک و غلظت نوک ترک در سه مثال مختلف با شرایط مرزی متفاوت برای یک صفحه دارای ترک مورد بررسی قرار گرفته است. در این تحقیق برای پیاده سازی از روش المان محدود توسعه یافته و حل معادلات انتشار- ترموالاستیسیته به منظور شبیه سازی مسائل مختلف شکست از محیط برنامه نویسی نرم افزار MATLAB استفاده شده است.

۴-۲- صفحه دارای ترک تحت بارگذاری متقارن حرارتی - انتشار

یک صفحه به عرض $W=1$ واحد و ارتفاع $H=2$ واحد با یک طول ترک $a=0.3$ واحد در فضای بدون بعد و ترک موازی با جهت محور X انتخاب شده است. سرعت موج تنش برابر با یک، سرعت موج دما $1/2$ و سرعت موج غلظت برابر با $0/8$ در نظر گرفته شده است. که در شکل (۴-۱) نمایش داده شده است. صفحه به صورت محدود و همگن در نظر گرفته شده این صفحه، بدون هیچ قید مکانیکی در ابتدا در دمای مرجع یکنواخت (بدون تنش) $T_0 = 293K$ قرار دارد. یک تغییر دمای ناگهانی در لبه ترک خورده باریکه، به عنوان بارگذاری حرارتی و انتشار اعمال شده است. شرایط بارگذاری این گونه است که در بارگذاری در وجه سمت چپ تحت تأثیر یک شوک حرارتی به مقدار $0/001$ - بی بعد و شوک غلظتی به مقدار $0/005$ - بی بعد قرار دارد.

ضریب شدت تنش مود اول برای این مسئله، به صورت تحلیلی با صرف نظر از عبارت اینرسی و با استفاده از روش انتگرال برهم کنش به دست آمده است که ناحیه انتگرال گیری یک ناحیه دایروی به شعاع $r/a=0.3$ است. برای انتخاب تعداد المان از یک آزمون همگرایی استفاده شده که نتایج آن در شکل (۴-۲) نشان داده شده اند. ضریب شدت تنش با استفاده از روش انتگرال برهم کنش در چارچوب روش المان محدود توسعه یافته محاسبه گردیده است.



شکل (۱-۴) صفحه مستطیلی شامل ترک عمود بر لبه تحت شوک حرارتی و انتشار در تحلیل المان محدود از شبکه مش بندی‌های منظم با المان‌های مستطیلی چهار گره‌ای استفاده گردیده و همچنین گام زمانی $\Delta t = 0.3$ در نظر گرفته شده است. جنس صفحه مس بوده که خواص ماده در جدول (۱-۴) ارائه شده است.

جدول (۱-۴) خواص جنس صفحه

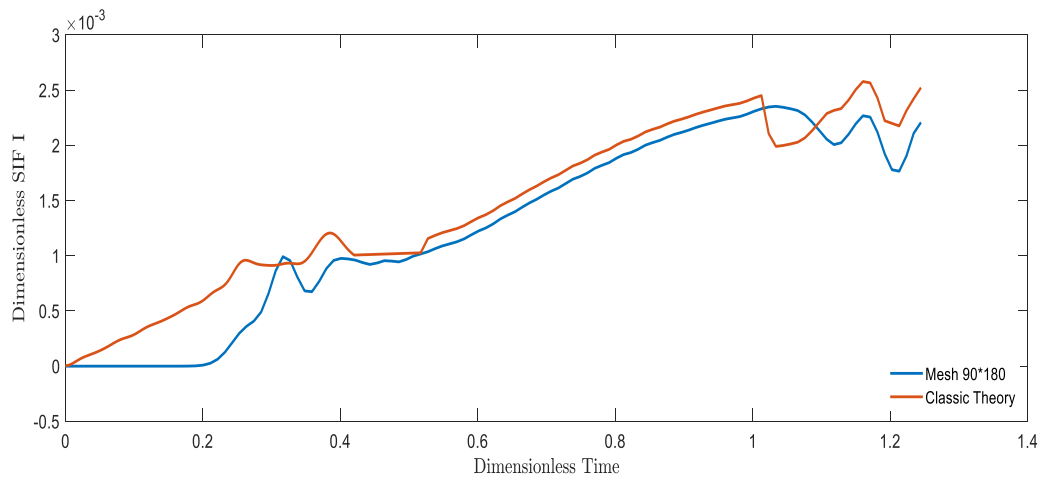
مدول	نسبت	ضریب انبساط	هدایت گرمایی	چگالی	ظرفیت گرمایی
یانگ (GPa)	پواسون	گرمایی ($10^{-6}/K$)	(W/m-K)	(kg/m ³)	ویژه (J/kg-K)
۷۰	۰/۳	۸/۵	۳۸۶	۸۹۵۴	۳۸۳/۱

مطابق نتایج به دست آمده که در شکل (۲-۴) هم مشاهده می شود با ریزتر شدن مش نتایج همگرا می شوند. برای مدل سازی هندسه صفحه از سه شبکه متشکل از 140×70 ، 120×60 ، 100×50 ، 180×90 ، 160×80 و 200×100 المان استفاده شده است، نتایج به دست آمده تقریباً یکسان است. شعاع انتگرال گیری برای انتگرال ناحیه ای معادل $r/a = 0.3$ قرار داده شده است. با توجه به سرعت های بی بعد اعمالی، سرعت موج تنش یک ($C_p = 1$)، سرعت موج دما $(C_T = 1/2)$ و سرعت موج غلظت

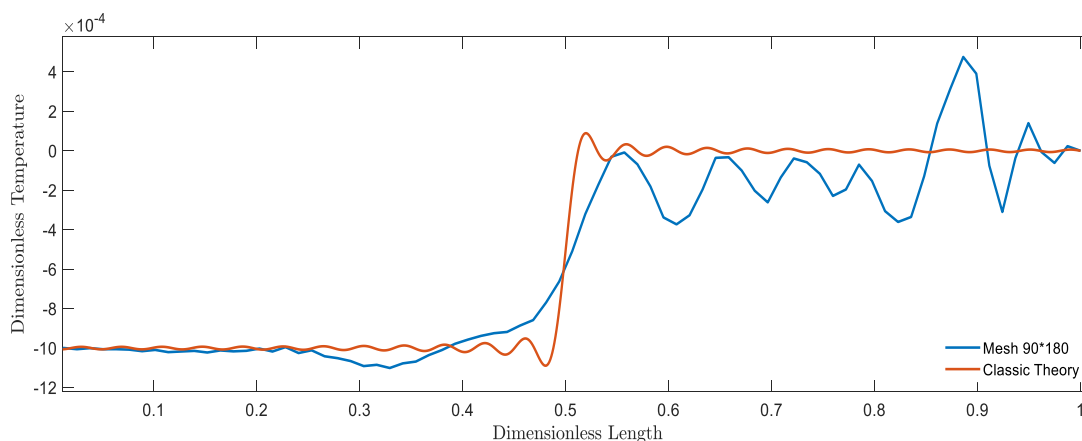
۰/۸ (C_C=۰/۸) در نظر گرفته شده است.

۳-۴- صحت سنجی

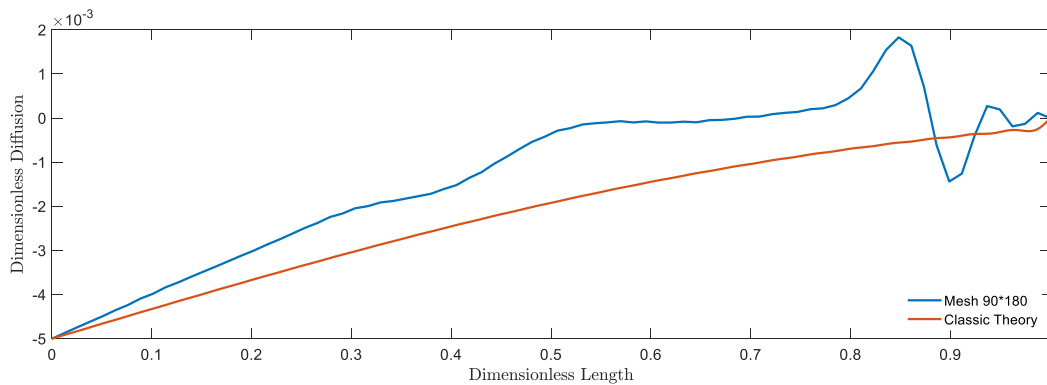
برای صحت سنجی از کوپل معادلات دما، غلظت و جابجایی صرف نظر می‌کنیم و معادلات را به صورت تحلیلی با استفاده از روش جداسازی متغیرها حل کرده تا دما و غلظت بر حسب X و t به دست آید (مسئله یک بعدی است) سپس تنش را به دست آورده و با استفاده از روش تابع وزنی ضریب شدت تنش مود اول (شکل (۲-۴))، دمای نوک ترک (شکل (۳-۴)) و غلظت نوک ترک (شکل (۴-۴)) را با استفاده از نرم افزار میپل حل کرده و با نتایج به دست آمده مقایسه شده است.



شکل (۲-۴) مقایسه ضریب شدت تنش در صفحه مستطیلی شامل ترک عمود بر لبه

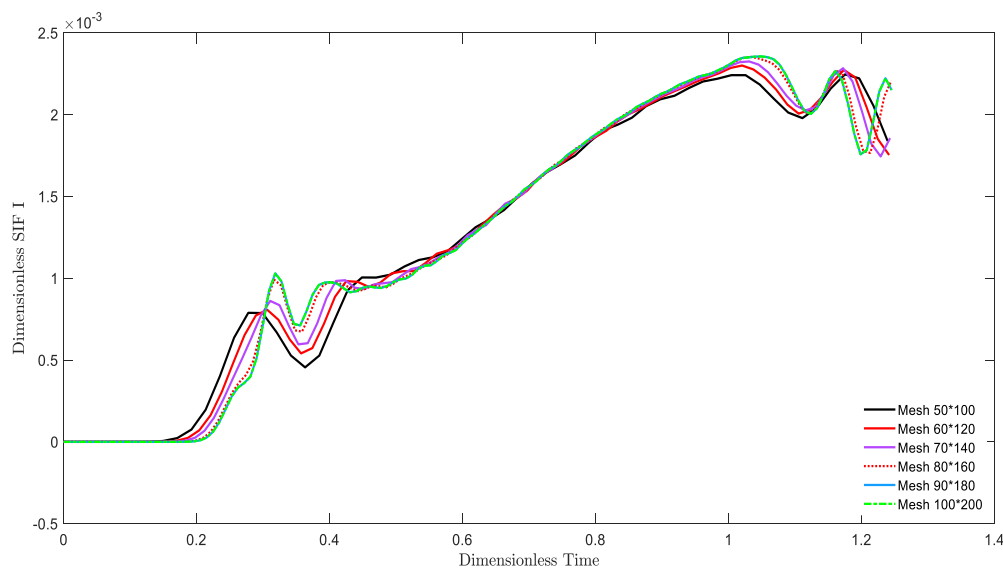


شکل (۳-۴) مقایسه دمای نوک ترک در صفحه مستطیلی شامل ترک عمود بر لبه



شکل (۴-۴) مقایسه غلظت نوک ترک در صفحه مستطیلی شامل ترک عمود بر لبه

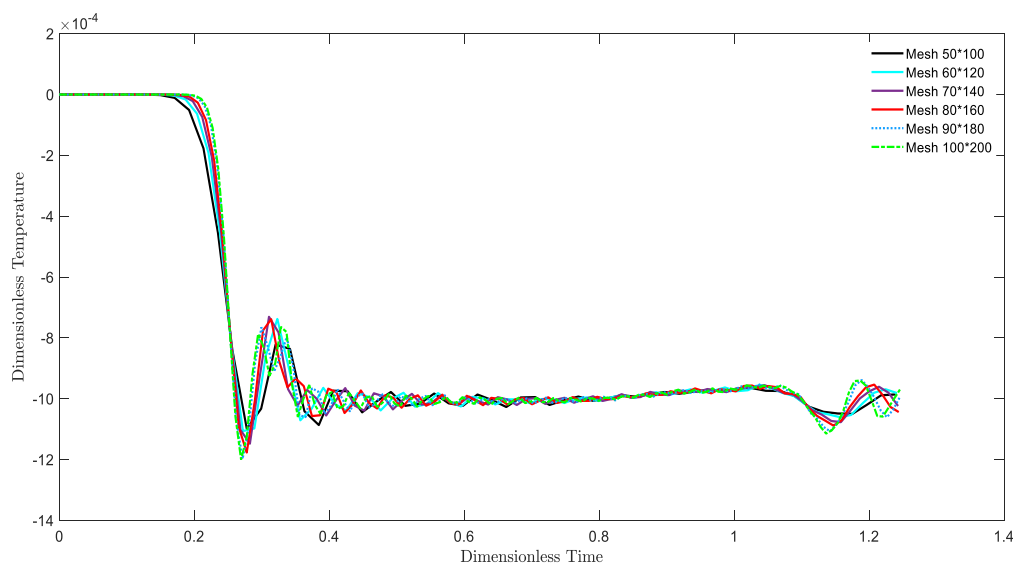
با توجه به سرعت‌های اعمالی زمان رسیدن موج تنش به نوک ترک همان‌طور که در شکل (۴-۵) هم نشان داده شده است در زمان $t=0/375$ ، زمان رسیدن موج غلظت به نوک ترک $t=0/3$ و زمان رسیدن موج دما به نوک ترک $t=0/25$ است. بعد از رد شدن موج تنش، دما و غلظت از نوک ترک همان‌طور که در شکل نیز مشاهده می‌شود ضریب شدت تنش روند افزایشی پیدا می‌کند تا اینکه امواج ذکر شده کل صفحه را پیموده و پس از برخورد به دیواره سمت راست صفحه منعکس شده و دوباره به نوک ترک می‌رسند که می‌توان در نمودار به‌وضوح این پدیده را مشاهده کرد.



شکل (۴-۵) نمودار ضریب شدت تنش بر حسب زمان بی‌بعد در مش بندی‌های مختلف در صفحه

منحنی‌های تغییرات زمانی دما در نوک ترک برای شبکه‌بندی‌های مختلف در شکل (۴-۶) نشان

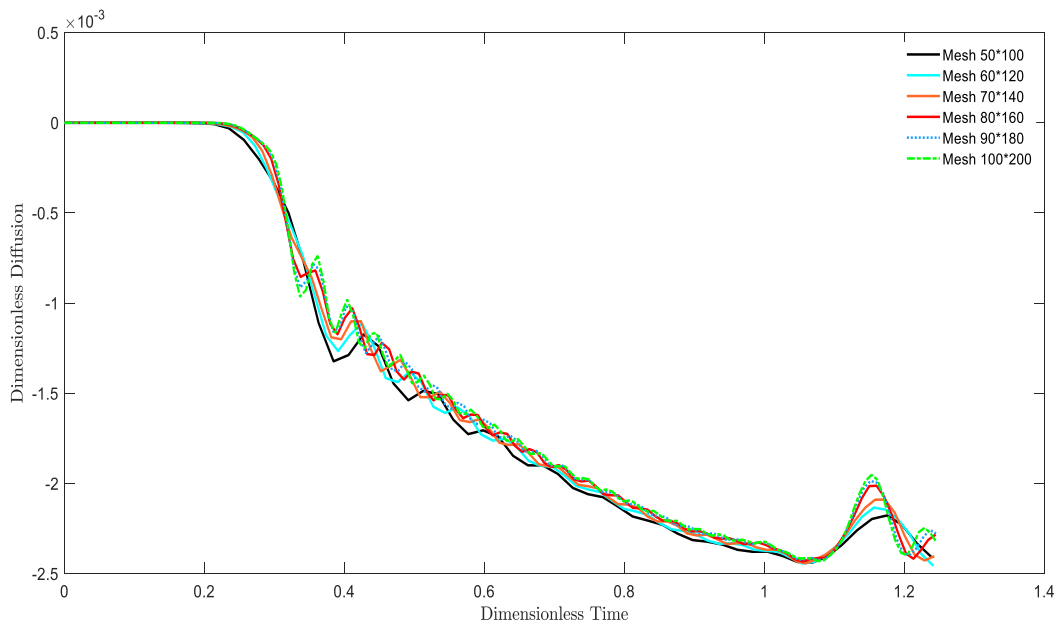
داده شده است. موج دما در $t=0/25$ در فضای بی بعد به نوک ترک می رسد که این امر موجب افت شدید دما در نوک ترک می شود. نوسانات اضافی در منحنی تغییرات دما به علت استفاده از روش ضمنی نیومارک وارد شده است. موج تنش به همراه موج غلظت در زمان $t=0/3$ به نوک ترک می رسد و موجب کاهش دوباره دما در نوک ترک می شود. تطابق منحنی ها با تعداد المان های مختلف، نشانگر این است که نتایج به دست آمده مستقل از تعداد المان است. با رسیدن موج دما به نوک ترک در زمان بی بعد $t=0/25$ دمای نوک ترک کاهش پیدا کرده است. رسیدن موج غلظت در زمان $t=0/3$ باعث افزایش دمای نوک ترک می شود. رسیدن موج تنش به نوک ترک در زمان $t=0/375$ باعث کاهش دمای نوک ترک شده و دما با نوسان جزئی در همین مقدار باقی می ماند تا اینکه امواج از لبه سمت راست دوباره به نوک ترک برسند.



شکل (۴-۶) دمای نوک ترک در مش بندی های مختلف بر حسب زمان بی بعد

منحنی های تغییرات زمانی انتشار در نوک ترک برای شبکه بندی های مختلف شکل (۴-۷) نشان داده شده است. موج دما در $t=0/25$ در فضای بی بعد به نوک ترک می رسد که این امر موجب افت شدید غلظت در نوک ترک می شود. نوسانات اضافی در منحنی تغییرات دما به علت استفاده از روش ضمنی نیومارک وارد شده است. موج غلظت در زمان $t=0/3$ به نوک ترک می رسد و موجب کاهش

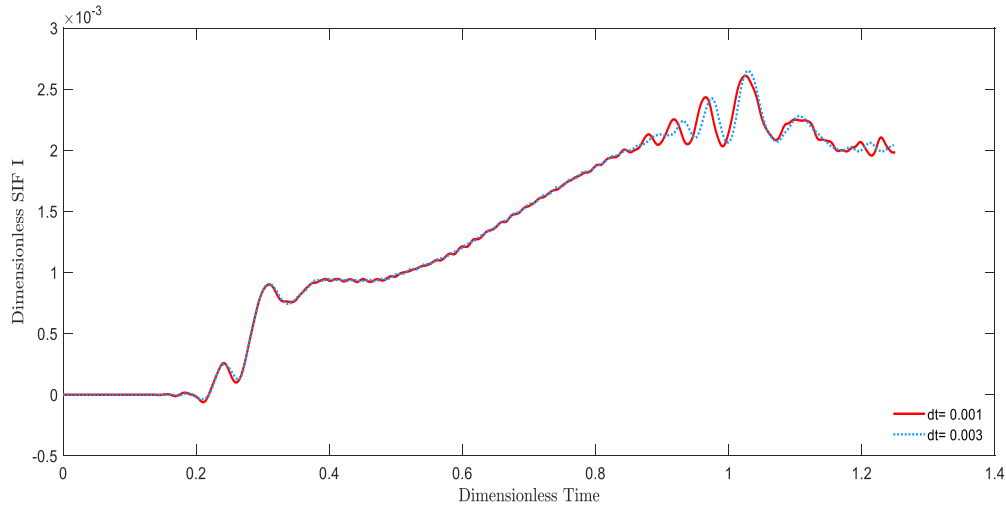
دوباره غلظت در نوک ترک می‌شود. با رسیدن موج تنش به نوک ترک در زمان بی بعد $t=0/375$ غلظت در نوک ترک کاهش یافته است.



شکل (۴-۷) انتشار در نوک ترک برای مش بندی‌های مختلف بر حسب زمان بی بعد

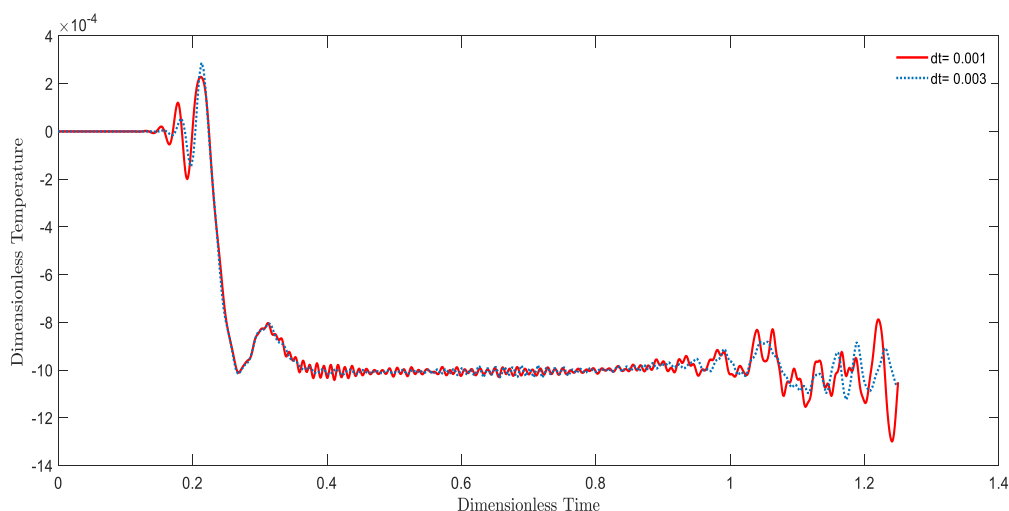
تأثیر گام زمانی بر ضریب شدت تنش مود اول برای گام‌های زمانی $0/001$ و $0/003$ در شکل (۴-۸) بررسی شده است. برای مدل‌سازی هندسه صفحه از شبکه متشکل از 160×80 ، المان استفاده شده است، نتایج به دست آمده تقریباً یکسان است. شعاع انتگرال‌گیری برای انتگرال ناحیه‌ای معادل $r/a=0/3$ انتخاب شده است. با توجه به سرعت‌های بی بعد اعمالی، سرعت موج تنش یک ($C_P=1$)، سرعت موج دما $1/2$ ($C_T=1/2$) و سرعت موج غلظت $0/8$ ($C_C=0/8$) در نظر گرفته شده است. با رسیدن موج دما در زمان $t=0/25$ به نوک ترک، ضریب شدت تنش مود اول شروع به افزایش می‌کند. نوسانات اضافی در نمودار تغییرات ضریب شدت تنش مود اول به دلیل استفاده از روش ضمنی نیومارک رخ داده است. با رسیدن موج غلظت در زمان $t=0/3$ به نوک ترک ضریب شدت تنش مود اول افزایش پیدا کرده و در زمان $t=0/375$ با تأثیرات موج تنش ضریب شدت تنش مود اول افزایش پیدا کرده و به حالت نوسانات پیوسته به افزایش خود تا انتهای ادامه می‌دهد. این نوسانات افزایش

ضریب شدت تنش تا رسیدن بازتاب موج تنش، غلظت و دما به نوک ادامه پیدا می‌کند.



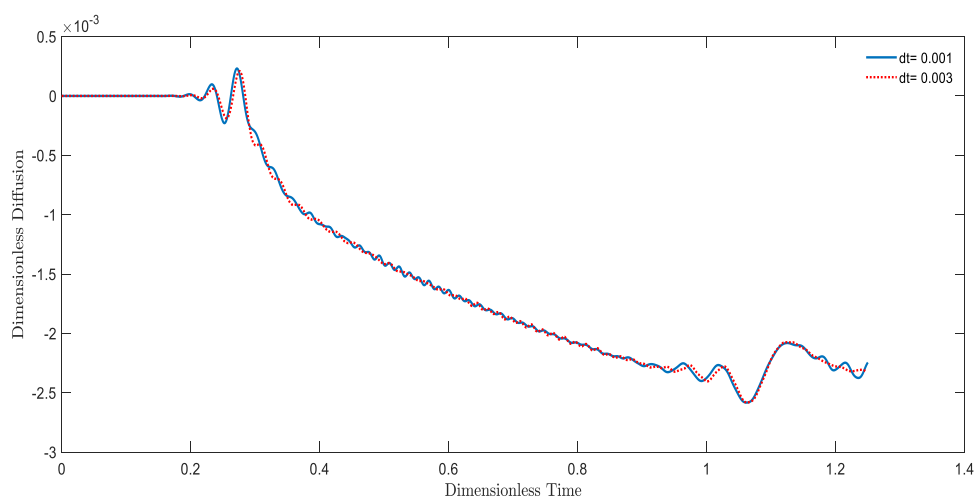
شکل (۸-۴) تأثیر گام زمانی بر ضریب شدت تنش مود اول

تغییرات دمای نوک ترک برحسب زمان برای گام‌های زمانی 0.001 و 0.003 در شکل (۴-۹) نشان داده شده‌اند. با رسیدن موج دما به نوک ترک در زمان $t=0.25$ دمای نوک ترک افزایش یافته است و با رسیدن موج غلظت در زمان $t=0.3$ دما در نوک ترک دوباره افزایش یافته تا اینکه موج تنش در زمان $t=0.375$ به نوک ترک می‌رسد و با تأثیرات آن دمای نوک ترک کاهش چشمگیری پیدا کرده و به حالت نوسانات پیوسته خود تا انتهای صفحه ادامه می‌دهد. این نوسانات تا رسیدن بازتاب موج تنش، غلظت و دما به نوک ادامه پیدا می‌کند.



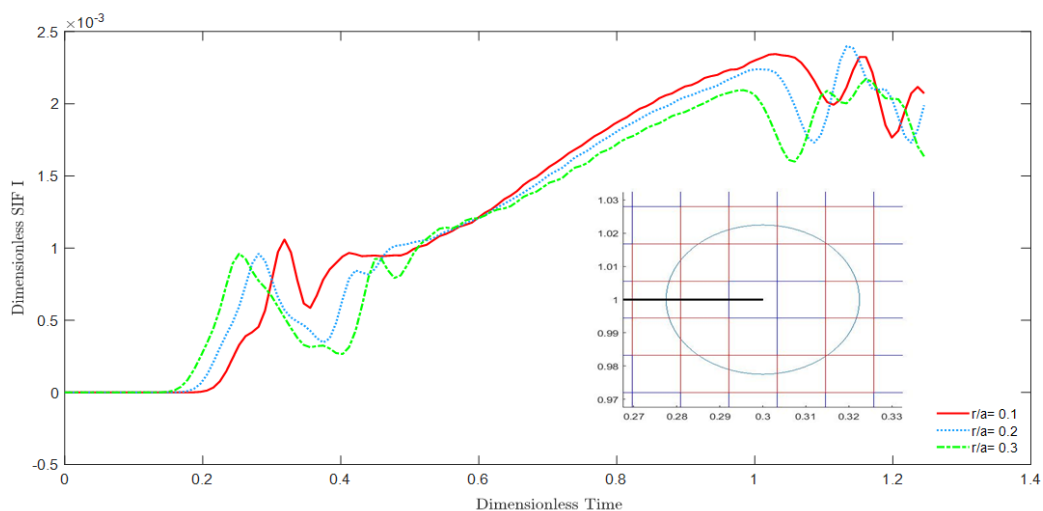
شکل (۹-۴) دمای نوک ترک در صفحه دارای ترک برحسب زمان برای گام‌های زمانی مختلف

در شکل (۱۰-۴) نیز تغییرات انتشار در نوک ترک برحسب زمان برای گام‌های زمانی 0.001 و 0.003 به تصویر کشیده شده است. با رسیدن موج دما به نوک ترک در زمان $t=0.25$ غلظت نوک ترک کاهش می‌یابد. با رسیدن موج غلظت در زمان $t=0.3$ غلظت نوک ترک افزایش یافته تا موج تنش در زمان $t=0.375$ به نوک ترک رسیده و با تأثیرات آن غلظت نوک ترک کاهش می‌یابد. این روند کاهش‌ی همراه با نوسانات کم دامنه تا رسیدن بازتاب موج تنش، غلظت و دما به نوک ادامه پیدا می‌کند.



شکل (۱۰-۴) تغییرات انتشار نوک ترک برحسب زمان برای دو گام زمانی متفاوت

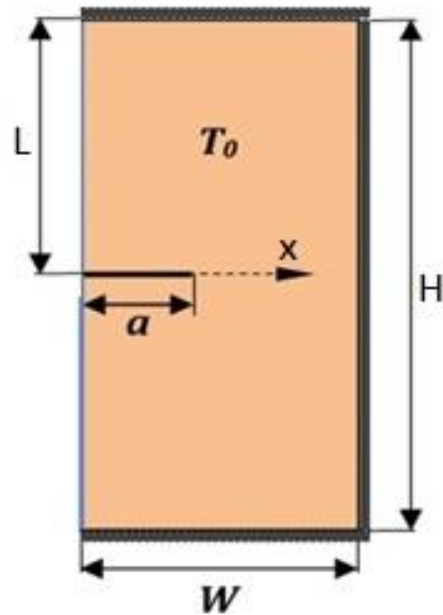
همان‌طور که در شکل (۴-۱۱) نشان داده شده است به منظور بررسی اثر اندازه ناحیه انتگرال‌گیری در مقادیر ضریب شدت تنش، این مثال با سه ناحیه انتگرال‌گیری با مساحت‌های متفاوت تحلیل شده است. همان‌هایی که توسط یک دایره به مرکز نوک ترک و شعاع‌های نسبی مختلف (با توجه به طول ترک) محصور شده‌اند، به‌عنوان ناحیه انتگرال‌گیری در نظر گرفته شده‌اند. سه شعاع نسبی (r/a) ، $0/1$ تا $0/3$ با گام $0/1$ ، انتخاب شده‌اند.



شکل (۴-۱۱) تغییرات ضریب شدت تنش برحسب زمان برای ناحیه‌های انتگرال‌گیری متفاوت در نوک ترک

۴-۴ - صفحه دارای ترک تحت بارگذاری نامتقارن حرارتی - انتشار

در مثال قبل به علت بارگذاری متقارن نسبت به ترک، تنها ضریب شدت تنش مود اول استخراج گردید. در این مثال به علت بارگذاری نامتقارن نسبت به ترک، ضریب شدت تنش مود اول و دوم خواهیم داشت که با استفاده از روش انتگرال برهمکنش در چارچوب روش المان محدود توسعه یافته محاسبه گردیده‌اند. صفحه به صورت محدود و همگن است و بدون هیچ قید مکانیکی در ابتدا در دمای مرجع یکنواخت (بدون تنش) $T_0 = 293K$ قرار دارد. نیمه وجه چپ این صفحه تحت تأثیر یک شوک حرارتی به مقدار $0/001$ بی بعد و شوک غلظتی به مقدار $0/005$ بی بعد قرار دارد. ابعاد صفحه و طول ترک همانند مثال قبل در نظر گرفته شده‌اند که در شکل (۴-۱۲) هم نشان داده شده است.

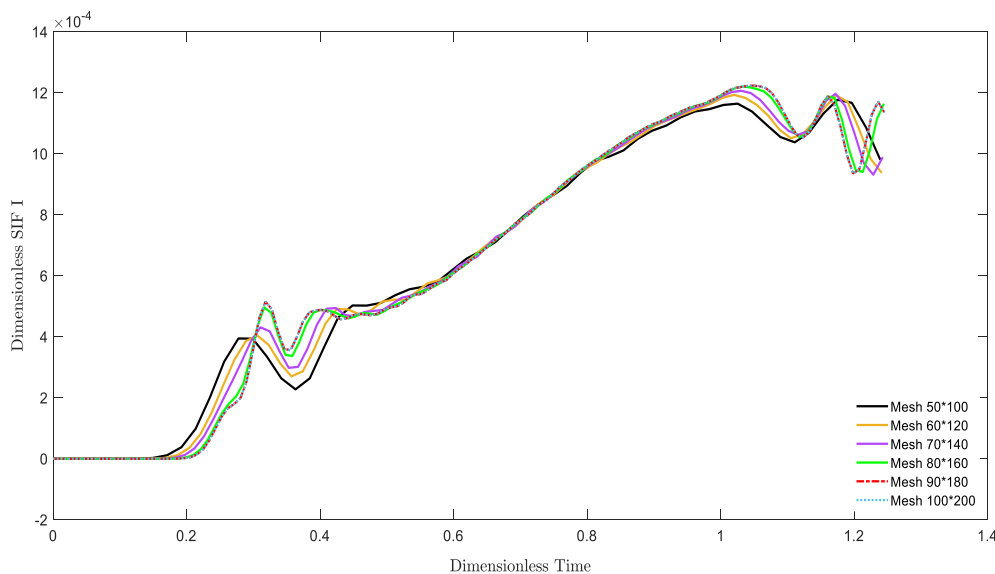


شکل (۱۲-۴) صفحه مستطیلی شامل ترک عمود بر لبه تحت شوک حرارتی و انتشار

در تحلیل المان محدود از شبکه‌بندی‌های منظم با المان‌های مستطیلی چهار گره‌ای استفاده گردیده و همچنین گام زمانی $\Delta t = 0.3$ در نظر گرفته شده است، مطابق نتایج به دست آمده که در شکل (۱۳-۴) هم مشاهده می‌شود با ریزتر شدن مش نتایج همگرا می‌شوند. برای مدل‌سازی هندسه نیم‌صفحه از شبکه‌بندی مختلف متشکل از 180×90 ، 160×80 ، 140×70 ، 120×60 ، 100×50 و 200×100 المان استفاده شده است، نتایج به دست آمده تقریباً یکسان است. شعاع نسبی ناحیه انتگرال‌گیری برای انتگرال ناحیه‌ای معادل $r/a = 0.3$ قرار داده شده است. با توجه به سرعت‌های بی‌بعد اعمالی، سرعت موج تنش یک ($C_p = 1$)، سرعت موج دما $(C_T = 1/2) 1/2$ و سرعت موج غلظت 0.8 ($C_C = 0.8$) در نظر گرفته شده است.

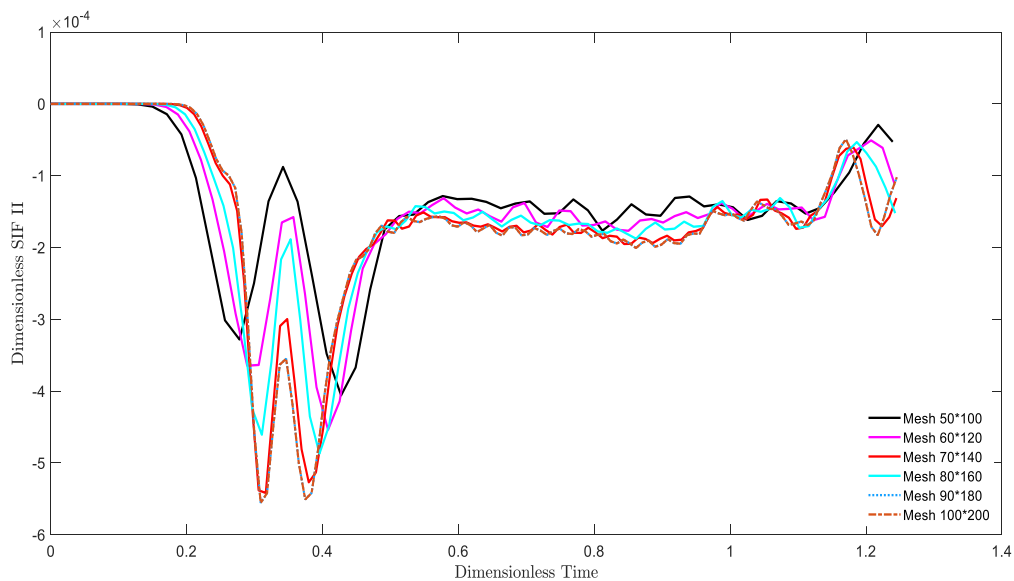
با توجه به سرعت‌های اعمالی زمان رسیدن موج تنش به نوک ترک همان‌طور که در شکل (۱۳-۴) هم نشان داده شده است در زمان 0.375 ، زمان رسیدن موج غلظت به نوک ترک 0.3 و زمان رسیدن موج دما به نوک ترک 0.25 است.

بعد از عبور موج‌های تنش، دما و غلظت از نوک ترک همان‌طور که در شکل نیز مشاهده می‌شود، ضریب شدت تنش روند افزایشی پیدا می‌کند تا اینکه موج‌ها کل صفحه را پیموده و پس از برخورد به لبه سمت راست منعکس شده و دوباره به نوک ترک می‌رسند که می‌توان در نمودار زیر نیز به وضوح این پدیده را مشاهده کرد.



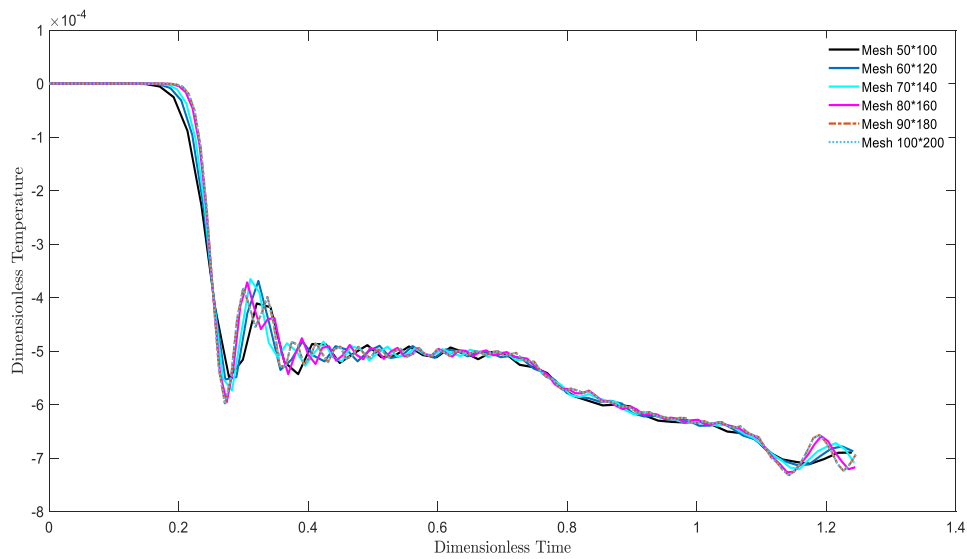
شکل (۴-۱۳) نمودار ضریب شدت تنش مود اول بر حسب زمان برای شبکه‌بندی‌های مختلف

تغییرات زمانی ضریب شدت تنش مود دوم با بررسی اثر تعداد المان‌ها در شکل (۴-۱۴) بررسی شده است. با رسیدن موج غلظت در زمان $t=0/2$ به نوک ترک، ضریب شدت تنش مود دوم شروع به کاهش می‌کند. نوسانات اضافی در نمودار تغییرات ضریب شدت تنش مود دوم به دلیل استفاده از روش ضمنی نیومارک رخ داده است. با رسیدن موج تنش در زمان $t=0/3$ ضریب شدت تنش مود دوم افزایش یافته تا با رسیدن موج غلظت در زمان $t=0/35$ مجدد کاهش پیدا کرده و در زمان $t=0/4$ با تأثیرات موج تنش دوباره افزایش یافته و در مقدار حدود $1/5$ نوسان می‌کند. این نوسانات تا رسیدن بازتاب موج تنش و دما به نوک ادامه پیدا می‌کند با رسیدن موج تنش و دما ضریب شدت تنش شروع به کاهش کرده و سپس افزایش می‌یابد و بعد از عبور موج‌ها دوباره به نوسانات پایدار خود می‌رسد.



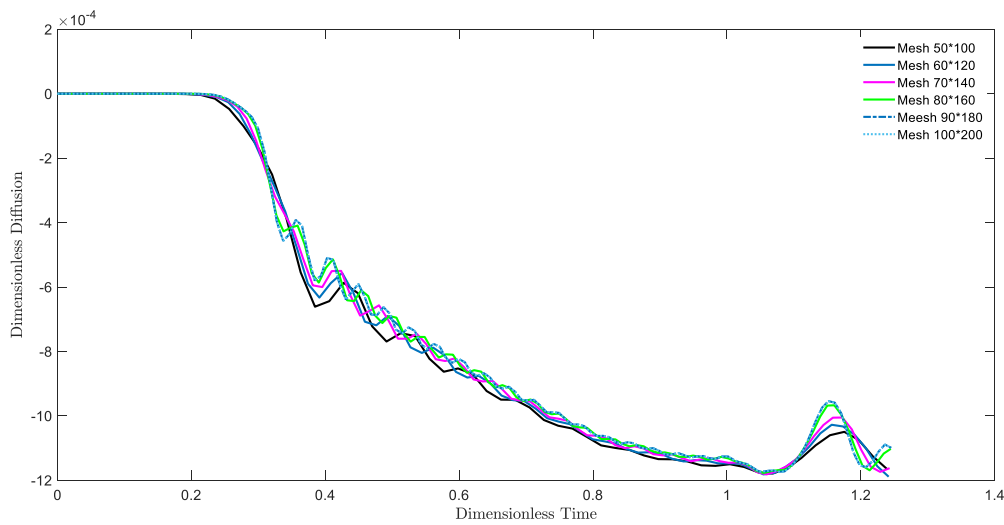
شکل (۴-۱۴) منحنی‌های ضریب شدت تنش مود دوم برحسب زمان برای شبکه‌بندی‌های مختلف

منحنی‌های تغییرات زمانی دما در نوک ترک برای شبکه‌بندی‌های متفاوت در شکل (۴-۱۵) نشان داده شده است. با رسیدن موج دما به نوک ترک در زمان $t=0/25$ دمای نوک ترک به‌طور ناگهانی کاهش یافته است و ممکن است از مقدار شوک دمایی اعمالی نیز تجاوز کند. با رسیدن موج غلظت در زمان $t=0/3$ دما در نوک ترک افزایش یافته تا اینکه موج تنش در زمان $t=0/375$ به نوک ترک می‌رسد و با تأثیرات موج تنش دمای نوک ترک کاهش پیدا کرده و به حالت نوسانات پیوسته به کاهش تدریجی خود ادامه می‌دهد. این نوسانات تا رسیدن بازتاب موج تنش، غلظت و دما به نوک ادامه پیدا می‌کند.



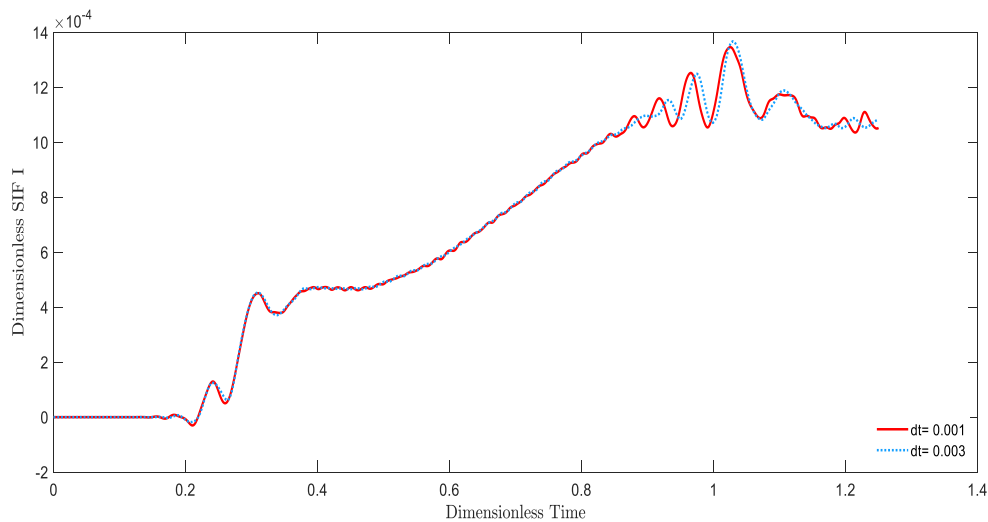
شکل (۴-۱۵) دمای نوک ترک بر حسب زمان برای شبکه‌بندی‌های مختلف

منحنی‌های تغییرات زمانی انتشار در نوک ترک برای مقادیر مختلف زمان در شکل (۴-۱۶) نشان داده شده است. با رسیدن موج دما به نوک ترک در زمان $t=0/25$ دمای نوک ترک به‌طور ناگهانی کاهش یافته و ممکن است از مقدار شوک دمایی اعمالی نیز تجاوز کند. با رسیدن موج غلظت در زمان $t=0/3$ غلظت نوک ترک کاهش یافته تا موج تنش در زمان $t=0/375$ به نوک ترک رسیده با تأثیرات موج تنش غلظت نوک ترک دوباره کاهش پیدا کرده و با کاهش تا انتهای صفحه باحالت نوسانات پیوسته خود ادامه می‌دهد. این نوسانات تا رسیدن بازتاب موج تنش، غلظت و دما به نوک ادامه پیدا می‌کند.



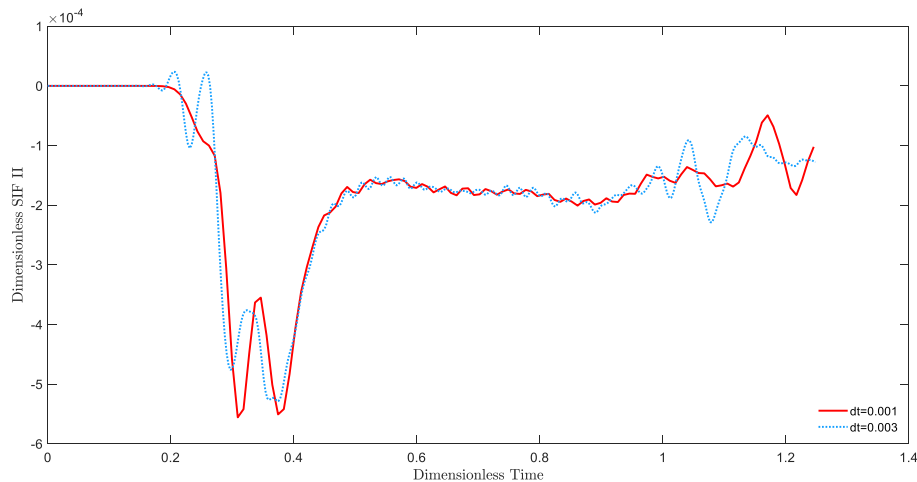
شکل (۴-۱۶) انتشار نوک ترک در مش بندی‌های مختلف

تغییرات زمان ضریب شدت تنش مود اول برای گام‌های زمانی 0.001 و 0.003 انجام شده که این نتایج در شکل (۴-۱۷) نشان داده شده‌اند. با رسیدن موج غلظت در زمان $t=0.2$ به نوک ترک، ضریب شدت تنش مود اول شروع به کاهش می‌کند. نوسانات اضافی در نمودار تغییرات ضریب شدت تنش مود دوم به دلیل استفاده از روش ضمنی نیومارک رخ داده است. با رسیدن موج دما به نوک ترک در زمان $t=0.25$ ضریب شدت تنش مود اول افزایش یافته است. با رسیدن موج غلظت در زمان $t=0.3$ به نوک ترک ضریب شدت تنش مود اول افزایش پیدا کرده و در زمان $t=0.375$ با تأثیرات موج تنش ضریب شدت تنش مود اول افزایش پیدا کرده و به حالت نوسانات پیوسته به افزایش خود تا انتهای صفحه ادامه می‌دهد. این نوسانات تا رسیدن بازتاب موج تنش، غلظت و دما به نوک ادامه پیدا می‌کند.



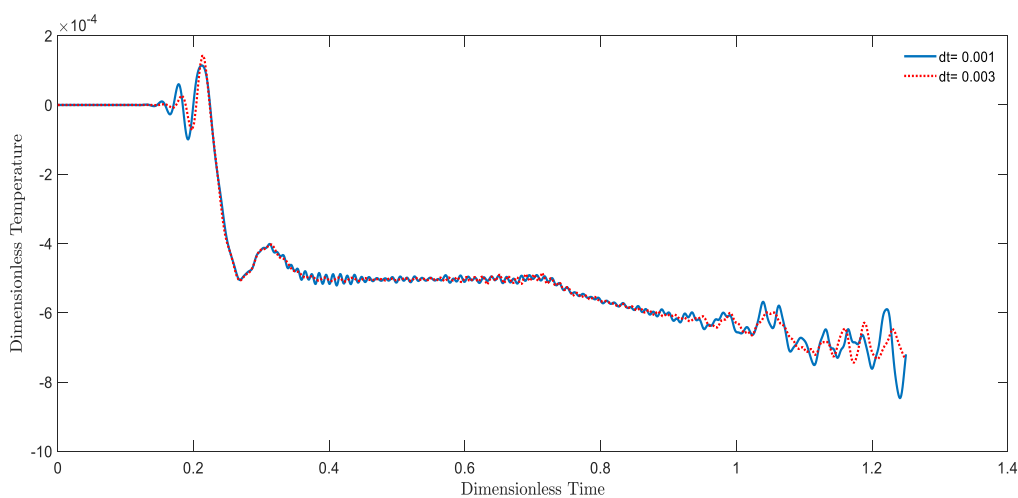
شکل (۴-۱۷) تأثیر گام زمانی بر ضریب شدت تنش مود اول

تغییرات زمان ضریب شدت تنش مود دوم برای گام‌های زمانی $0/001$ و $0/003$ انجام شده که این نتایج در شکل (۴-۱۸) نشان داده شده‌اند. با رسیدن موج دما در زمان $t=0/25$ به نوک ترک، ضریب شدت تنش مود دوم شروع به کاهش می‌کند. با رسیدن موج غلظت در زمان $t=0/3$ ضریب شدت تنش مود دوم افزایش یافته تا با رسیدن موج تنش در زمان $t=0/375$ مجدد کاهش پیدا کرده و در زمان $t=0/4$ افزایش پیدا کرده و به حالت نوسانات پیوسته خود تا انتهای صفحه ادامه می‌دهد. بعد از سپری شدن موج‌ها دوباره به نوسانات پایدار خود می‌رسد. نوسانات اضافی در نمودار تغییرات ضریب شدت تنش مود دوم به دلیل استفاده از روش ضمنی نیومارک رخ داده است.



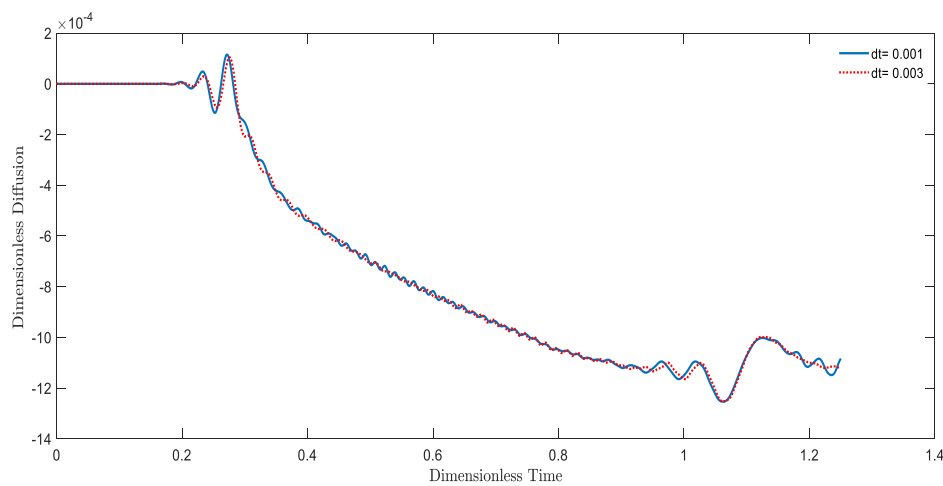
شکل (۴-۱۸) تأثیر گام زمانی بر ضریب شدت تنش مود دوم

تغییرات دمای نوک ترک برحسب زمان برای گام‌های زمانی ۰/۰۰۱ و ۰/۰۰۳ انجام شده که این نتایج در شکل (۴-۱۹) نشان داده شده‌اند. با رسیدن موج دما به نوک ترک در زمان $t=0/25$ دمای نوک ترک افزایش یافته است و با رسیدن موج غلظت در زمان $t=0/3$ دما در نوک ترک کاهش یافته تا موج تنش در زمان $t=0/375$ به نوک ترک رسیده است با تأثیرات موج تنش، دمای نوک ترک افزایش پیدا کرده و به حالت نوسانات پیوسته با کاهش تدریجی به روند خود تا انتهای صفحه ادامه می‌دهد. این نوسانات تا رسیدن بازتاب موج تنش، غلظت و دما به نوک ادامه پیدا می‌کند.



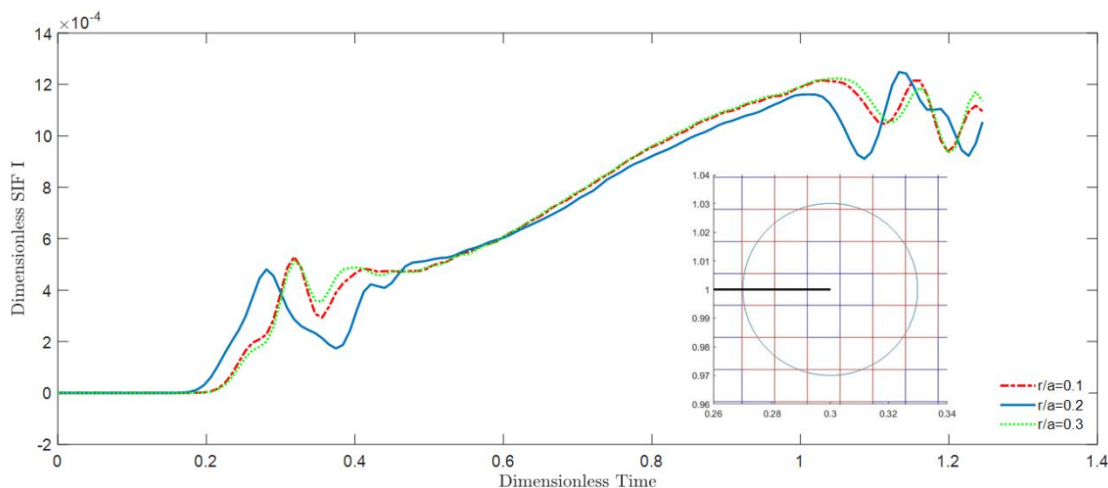
شکل (۴-۱۹) دمای نوک ترک در صفحه دارای ترک در تغییرات زمانی مختلف

در شکل (۴-۲۰) نیز تغییرات انتشار در نوک ترک برحسب زمان برای گام‌های زمانی ۰/۰۰۱ و ۰/۰۰۳ انجام و باهم مقایسه شده‌اند. با رسیدن موج دما به نوک ترک در زمان $t=0/25$ دمای نوک ترک افزایش یافته است. با رسیدن موج غلظت در زمان $t=0/3$ غلظت نوک ترک کاهش یافته تا موج تنش در زمان $t=0/375$ به نوک ترک رسیده با تأثیرات موج تنش غلظت نوک ترک دوباره کاهش پیدا کرده و با کاهش تا انتهای صفحه باحالت نوسانات پیوسته خود ادامه می‌دهد. این نوسانات تا رسیدن بازتاب موج تنش، غلظت و دما به نوک ادامه پیدا می‌کند.



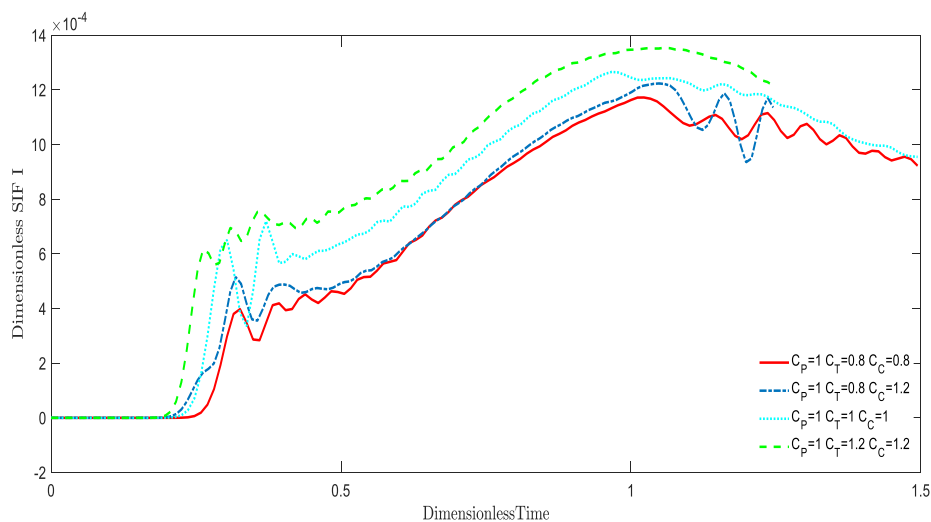
شکل (۴-۲۰) تغییرات انتشار در زمان‌های مختلف در نوک ترک در صفحه

همان‌طور که در شکل (۴-۲۱) نتایج نشان داده شده است به منظور بررسی اثر اندازه ناحیه انتگرال‌گیری در مقادیر ضریب شدت تنش مود اول، این مثال با سه ناحیه انتگرال‌گیری با مساحت‌های متفاوت تحلیل شده است. همان‌هایی که توسط یک دایره به مرکز نوک ترک و شعاع‌های نسبی مختلف (با توجه به طول ترک) محصور شده‌اند، به‌عنوان ناحیه انتگرال‌گیری در نظر گرفته شده‌اند. سه شعاع نسبی (r/a) ، ۰/۱ تا ۰/۳ با گام ۰/۱، انتخاب شده‌اند.



شکل (۲۱-۴) تأثیر اندازه ناحیه انتگرال گیری بر ضریب شدت تنش مود اول

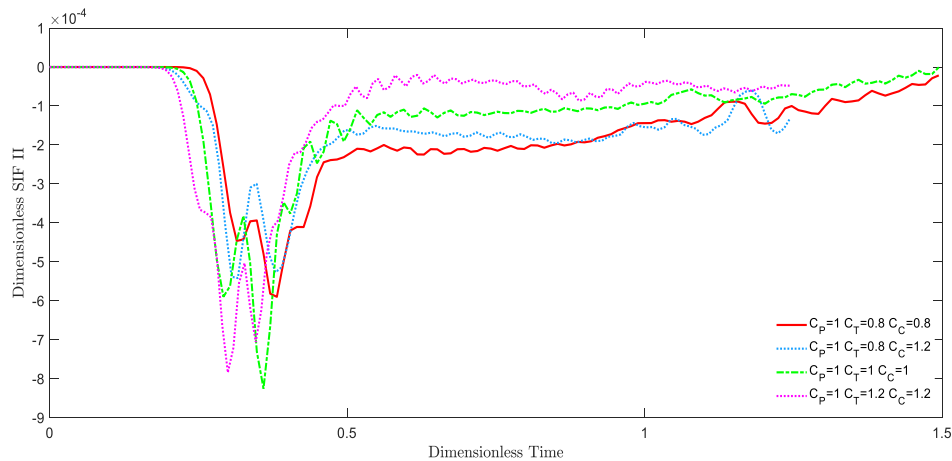
منحنی های ضریب شدت تنش مود اول برای سرعت های مختلف در شکل (۲۲-۴) نشان داده شده است. مشاهده می شود برای حالتی که سرعت موج تنش و سرعت موج دما یکسان و بیشتر از سرعت موج غلظت است افزایش ضریب شدت تنش سریع تر و بیشتر از حالت های دیگر است.



شکل (۲۲-۴) ضریب شدت تنش مود اول برحسب زمان برای سرعت های مختلف انتشار و دما

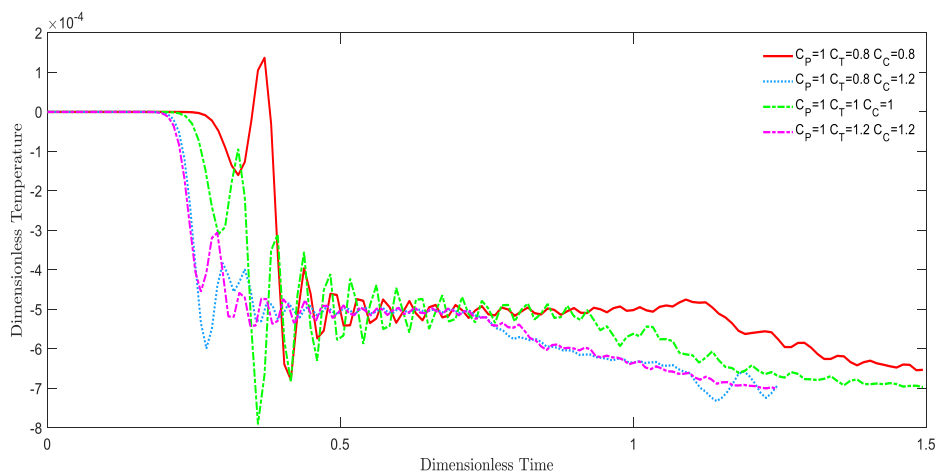
ضریب شدت تنش مود دوم به دست آمده در سرعت های مختلف که در شکل (۲۳-۴) نشان داده شده است. سرعت موج دما در زمان $t=0/25$ به نوک ترک می رسد که باعث کاهش ضریب شدت تنش مود دوم شده است. با رسیدن موج غلظت در زمان $t=0/3$ به نوک ترک افزایش ضریب شدت تنش شده است. با رسیدن سرعت موج تنش در زمان $t=0/375$ به نوک ترک باعث افزایش ضریب

شدت تنش مود دوم گردیده است. نتیجه‌ای که از سرعت‌های مختلف می‌توان گرفت این است که برای حالتی که سرعت موج تنش و سرعت موج دما یکسان و بیشتر از سرعت موج غلظت است افزایش ضریب شدت تنش مود دوم در ابتدا کاهش و با رسیدن سرعت موج تنش ضریب شدت تنش مود دوم افزایش یافته است.



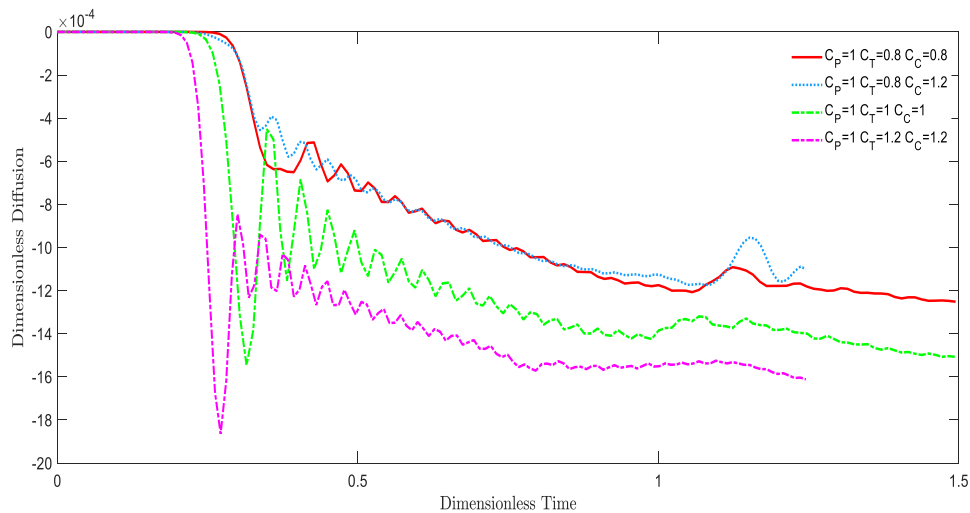
شکل (۴-۲۳) ضریب شدت تنش مود دوم بر حسب زمان برای سرعت‌های مختلف انتشار و دما

تغییرات دمایی نوک ترک بر حسب زمان برای سرعت‌های مختلف تنش، دما و غلظت در شکل (۴-۲۴) نشان داده شده است. مشاهده می‌شود برای حالتی که سرعت موج تنش و سرعت موج غلظت یکسان و بیشتر از سرعت موج دما است کاهش دما سریع‌تر و بیشتر از حالت‌های دیگر است.



شکل (۴-۲۴) دمایی نوک ترک بر حسب زمان برای سرعت‌های مختلف دما و انتشار

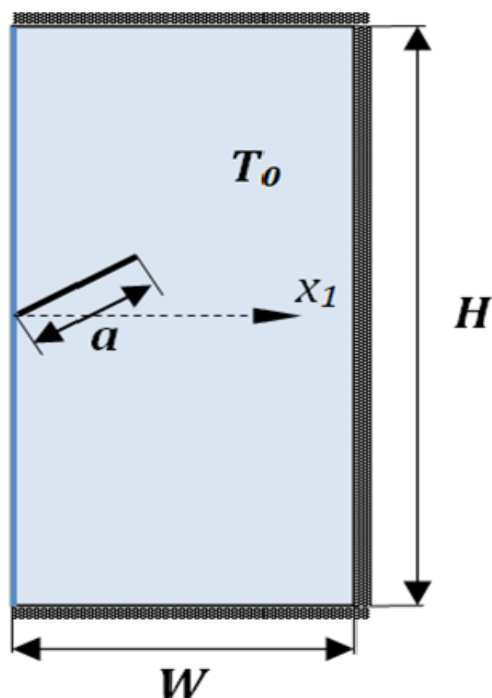
انتشار در نوک ترک در سرعت‌های مختلف که در شکل (۴-۲۵) نشان داده شده است. نتیجه‌ای که از سرعت‌های مختلف می‌توان گرفت این است که برای حالتی که سرعت موج تنش و سرعت موج دما یکسان و بیشتر از سرعت موج غلظت است. کاهش انتشار سریع‌تر و بیشتر از حالت‌های دیگر است.



شکل (۴-۲۵) انتشار در نوک ترک بر حسب زمان برای سرعت‌های مختلف دما و انتشار

۴-۵- ترک مایل در معرض شوک دمایی و انتشار

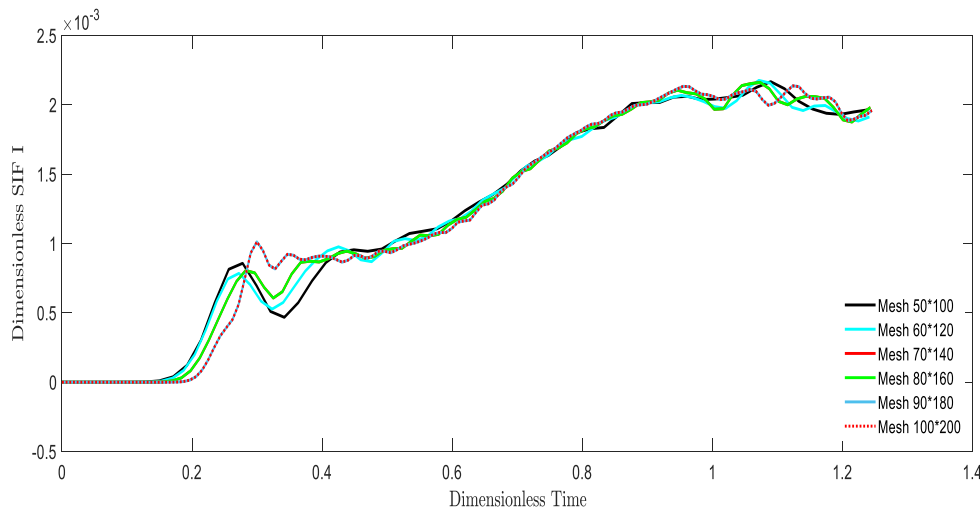
در این مثال مطابق شکل (۴-۲۶) یک صفحه دارای ترک مایل در معرض شوک دمایی و انتشار با ویژگی‌های هندسی و خواص مکانیکی مثال اول در نظر گرفته شده است. این صفحه حاوی یک ترک لبه‌ای مایل با زاویه ۲۰ درجه نسبت به محور x و طول $a=0/3$ در فضای بی‌بعد است. در این مثال به علت بارگذاری نامتقارن نسبت به ترک، ضریب شدت تنش مود اول و دوم خواهیم داشت که با استفاده از روش انتگرال برهمکنش در چارچوب روش المان محدود توسعه یافته محاسبه گردیده‌اند. صفحه به صورت محدود و همگن است و بدون هیچ قید مکانیکی در ابتدا در دمای مرجع یکنواخت (بدون تنش) $T_0 = 293K$ قرار دارد. نیمه وجه چپ این صفحه تحت تأثیر یک شوک حرارتی به مقدار $-0/001$ بی‌بعد و شوک غلظتی به مقدار $-0/005$ بی‌بعد قرار دارد. شعاع نسبی ناحیه انتگرال‌گیری برای انتگرال ناحیه‌ای معادل $r/a=0/3$ قرار داده شده است.



شکل (۴-۲۶) هندسه و بارگذاری یک صفحه دارای ترک لبه‌ای مایل تحت بارگذاری دما و انتشار

در تحلیل المان محدود از شبکه مش بندی‌های منظم با المان‌های مستطیلی چهار گره‌ای استفاده گردیده و همچنین گام زمانی $\Delta t = 0.03$ در نظر گرفته شده است، مطابق نتایج به دست آمده که در شکل (۴-۲۷) هم مشاهده می‌شود با ریزتر شدن مش نتایج همگرا می‌شوند. برای مدل‌سازی هندسه صفحه از دو شبکه بندی متفاوت متشکل از 100×50 ، 120×60 ، 140×70 ، 160×80 ، 180×90 و 200×100 المان استفاده شده است، نتایج به دست آمده تقریباً یکسان است.

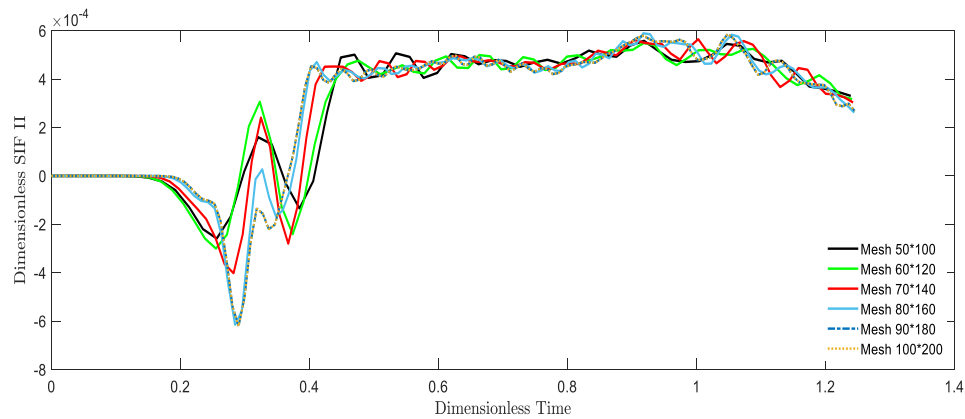
با توجه به سرعت‌های اعمالی زمان رسیدن موج دما به نوک ترک همان‌طور که در شکل (۴-۲۷) هم نشان داده شده است در زمان $t = 0.25$ است که باعث افزایش ضریب شدت تنش شده است. رسیدن موج غلظت به نوک ترک در زمان $t = 0.3$ باعث کاهش ضریب شدت تنش شده و رسیدن موج تنش به نوک ترک در زمان $t = 0.375$ ضریب شدت تنش را افزایش داده و تا زمان ۱ تدریج با نوسانات و افزایش ادامه پیدا کرده است.



شکل (۴-۲۷) همگرایی ضریب شدت تنش مود اول بر حسب زمان برای شبکه‌بندی‌های مختلف در ترک

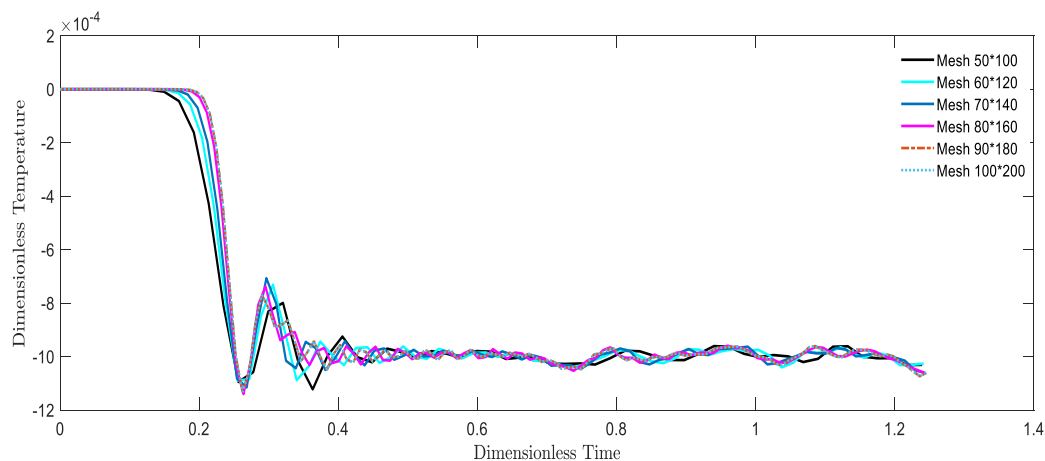
مایل

تغییرات زمانی ضریب شدت تنش مود دوم برای مدل‌سازی هندسه صفحه از دو شبکه مش بندی متشکل از ۱۰۰×۵۰ ، ۱۲۰×۶۰ ، ۱۴۰×۷۰ ، ۱۶۰×۸۰ ، ۱۸۰×۹۰ و ۲۰۰×۱۰۰ المان استفاده شده است، در شکل (۴-۲۸) نشان می‌دهد که نتایج به دست آمده تقریباً یکسان است. با رسیدن موج غلظت در زمان $t=0/2$ به نوک ترک، ضریب شدت تنش مود دوم شروع به کاهش می‌کند. نوسانات اضافی در نمودار تغییرات ضریب شدت تنش مود دوم به دلیل استفاده از روش ضمنی نیومارک رخ داده است. با رسیدن موج تنش در زمان $t=0/3$ ضریب شدت تنش مود دوم کاهش یافته تا با رسیدن موج غلظت در زمان $t=0/35$ ضریب شدت تنش افزایش پیدا کرده و به حالت نوسانات پیوسته خود ادامه می‌دهد. این نوسانات تا رسیدن بازتاب موج تنش و دما به نوک ادامه پیدا می‌کند با رسیدن موج تنش و دما ضریب شدت تنش شروع به کاهش و سپس افزایش رو آورده و بعد از سپری شدن موج‌ها دوباره به نوسانات پایدار خود می‌رسد.



شکل (۲۸-۴) همگرایی ضریب شدت تنش مود دوم در مش بندی‌های مختلف در ترک مایل

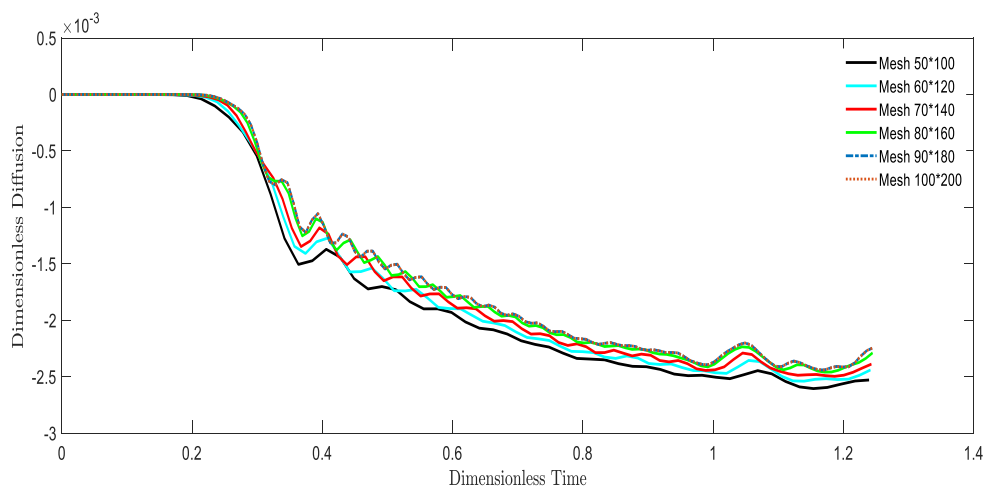
منحنی‌های تغییرات زمانی دما در نوک ترک برای مقادیر مختلف زمان در شکل (۲۹-۴) نشان داده شده است. با رسیدن موج دما به نوک ترک در زمان $t=0/25$ دمای نوک ترک به طور ناگهانی کاهش یافته است و ممکن است از مقدار شوک دمایی اعمالی نیز تجاوز کند. با رسیدن موج غلظت در زمان $t=0/3$ دما در نوک ترک افزایش یافته تا موج تنش در زمان $t=0/375$ به نوک ترک رسیده است با تأثیرات موج تنش دمای نوک ترک کاهش پیدا کرده و به حالت نوسانات پیوسته با کاهش تدریجی به روند خود تا انتهای صفحه ادامه می‌دهد. این نوسانات تا رسیدن بازتاب موج تنش، غلظت و دما به نوک ادامه پیدا می‌کند.



شکل (۲۹-۴) دمای نوک ترک در مش بندی‌های مختلف برای ترک مایل

منحنی‌های تغییرات زمانی انتشار در نوک ترک برای مقادیر مختلف زمان در شکل (۳۰-۴) نشان

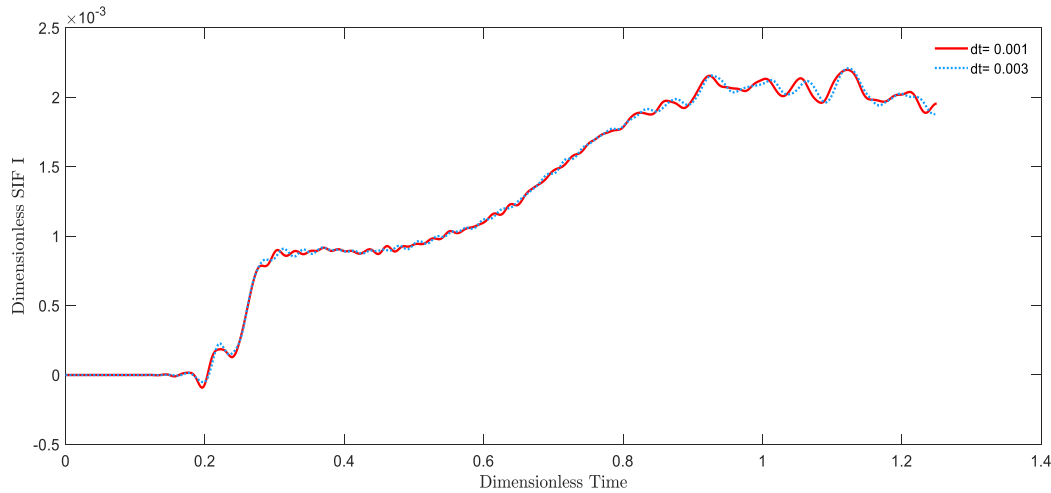
داده شده است. با رسیدن موج دما به نوک ترک در زمان $t=0/25$ دمای نوک ترک به طور ناگهانی کاهش یافته و ممکن است از مقدار شوک دمایی اعمالی نیز تجاوز کند. با رسیدن موج غلظت در زمان $t=0/3$ غلظت نوک ترک کاهش یافته تا موج تنش در زمان $t=0/375$ به نوک ترک رسیده با تأثیرات موج تنش غلظت نوک ترک دوباره کاهش پیدا کرده و با کاهش تا انتهای صفحه با حالت نوسانات پیوسته خود ادامه می دهد. این نوسانات تا رسیدن بازتاب موج تنش، غلظت و دما به نوک ادامه پیدا می کند.



شکل (۴-۳) انتشار نوک ترک در مش بندی های مختلف در ترک مایل

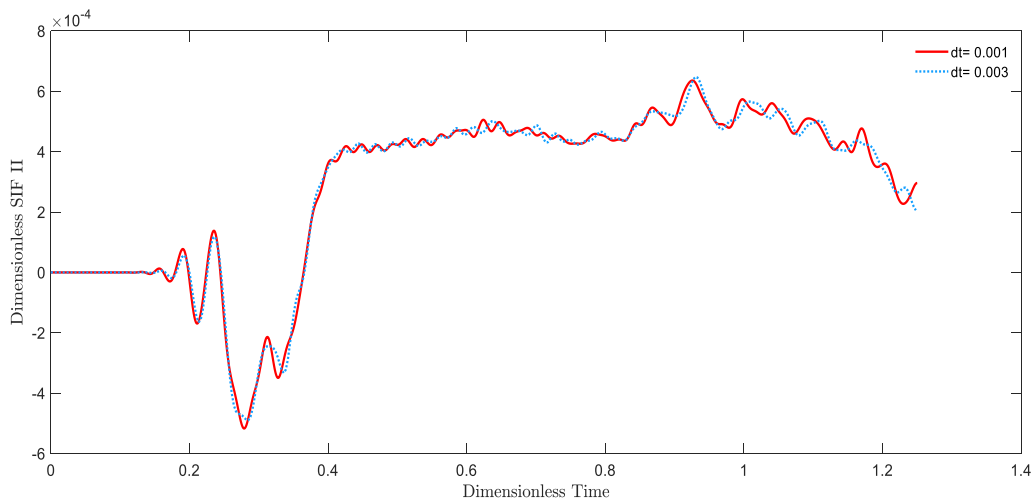
تأثیر گام زمانی بر ضریب شدت تنش مود اول، با توجه به نتایج، تغییرات زمانی ضریب شدت تنش مود اول برای گام های زمانی $0/001$ و $0/003$ بررسی گردیده است، در شکل (۴-۳۱) نشان داده شده است. با رسیدن موج غلظت در زمان $t=0/2$ به نوک ترک، ضریب شدت تنش مود اول شروع به کاهش می کند. نوسانات اضافی در نمودار تغییرات ضریب شدت تنش مود دوم به دلیل استفاده از روش ضمنی نیومارک رخ داده است. با رسیدن موج دما به نوک ترک در زمان $t=0/25$ ضریب شدت تنش مود اول افزایش یافته است. با رسیدن موج غلظت در زمان $t=0/3$ به نوک ترک ضریب شدت تنش مود اول افزایش پیدا کرده و در زمان $t=0/375$ با تأثیرات موج تنش ضریب شدت تنش مود اول افزایش پیدا کرده و به حالت نوسانات پیوسته به افزایش خود تا انتهای صفحه ادامه می دهد. این نوسانات تا

رسیدن بازتاب موج تنش، غلظت و دما به نوک ادامه پیدا می کند.



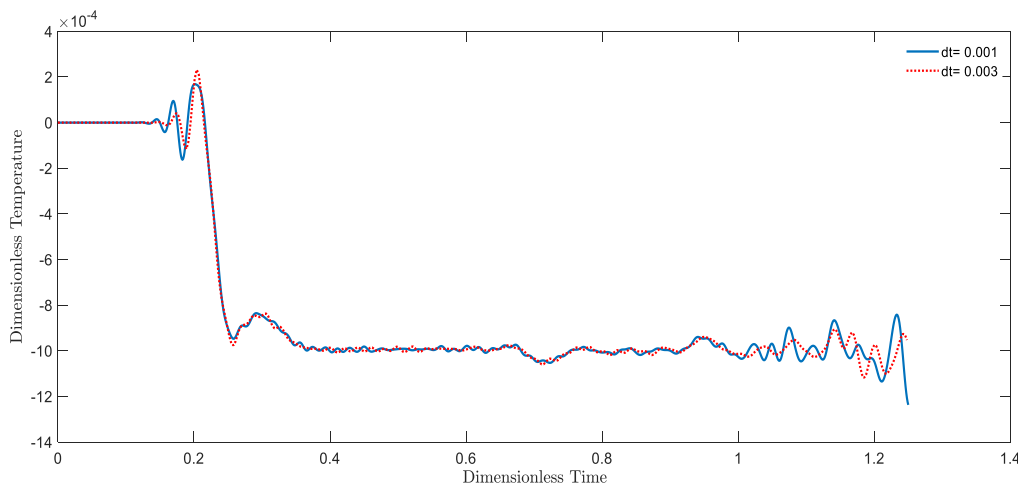
شکل (۴-۳۱) تغییرات زمانی ضریب شدت تنش مود اول

علاوه بر این تأثیر گام زمانی بر ضریب شدت تنش مود دوم، با توجه به نتایج، تغییرات زمانی ضریب شدت تنش مود دوم برای گام زمان های 0.001 و 0.003 که در شکل (۴-۳۲) نشان داده شده است، بررسی گردیده است. با رسیدن موج دما در زمان $t=0.25$ به نوک ترک، ضریب شدت تنش مود دوم شروع به کاهش می کند. با رسیدن موج غلظت در زمان $t=0.3$ ضریب شدت تنش مود دوم افزایش یافته تا با رسیدن موج تنش در زمان $t=0.375$ مجدد کاهش پیدا کرده و در زمان $t=0.4$ افزایش پیدا کرده و به حالت نوسانات پیوسته خود تا انتهای صفحه ادامه می دهد. بعد از سپری شدن موجها دوباره به نوسانات پایدار خود می رسد. نوسانات اضافی در نمودار تغییرات ضریب شدت تنش مود دوم به دلیل استفاده از روش ضمنی نیومارک رخ داده است.



شکل (۴-۳۲) تغییرات زمانی ضریب شدت تنش مود دوم

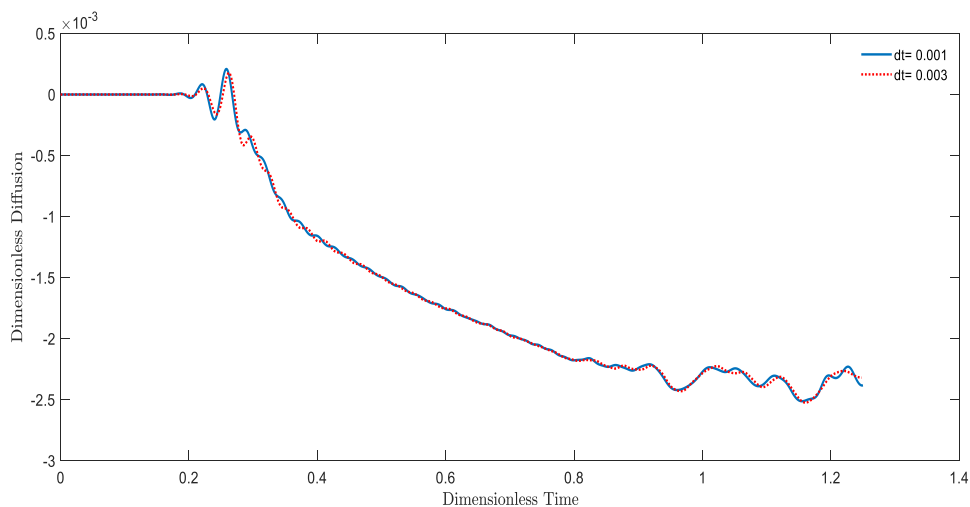
تغییرات زمانی دما در نوک ترک برای زمان‌های 0.001 و 0.003 که در شکل (۴-۳۳) نشان داده شده است بررسی گردیده است. با رسیدن موج دما به نوک ترک در زمان $t=0.25$ دمای نوک ترک کاهش یافته است و با رسیدن موج غلظت در زمان $t=0.3$ دما در نوک ترک افزایش یافته تا موج تنش در زمان $t=0.375$ به نوک ترک رسیده است با تأثیرات موج تنش، دمای نوک ترک کاهش پیدا کرده و به حالت نوسانات پیوسته با کاهش تدریجی به روند خود تا انتهای صفحه ادامه می‌دهد. این نوسانات تا رسیدن بازتاب موج تنش، غلظت و دما به نوک ادامه پیدا می‌کند.



شکل (۴-۳۳) دمای نوک ترک در صفحه دارای ترک مایل در تغییرات زمانی مختلف

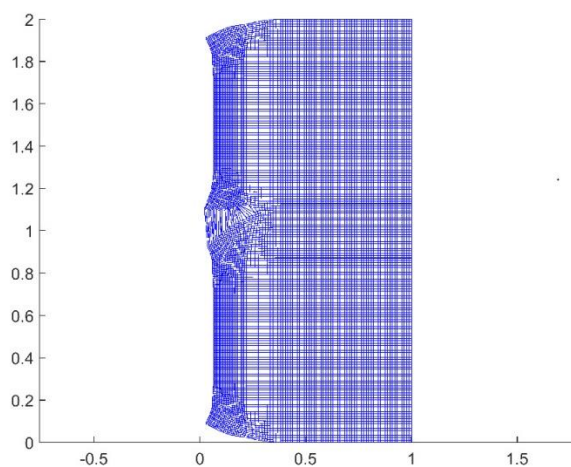
تغییرات زمانی انتشار در نوک ترک در زمان‌های 0.001 و 0.003 که در شکل (۴-۳۴) نشان

داده شده است بررسی گردیده است. با رسیدن موج دما به نوک ترک در زمان $t=0/25$ دمای نوک ترک افزایش یافته است. با رسیدن موج غلظت در زمان $t=0/3$ غلظت نوک ترک کاهش یافته تا موج تنش در زمان $t=0/375$ به نوک ترک رسیده با تأثیرات موج تنش غلظت نوک ترک دوباره کاهش پیدا کرده و با کاهش تا انتهای صفحه با حالت نوسانات پیوسته خود ادامه می دهد. این نوسانات تا رسیدن بازتاب موج تنش، غلظت و دما به نوک ادامه پیدا می کند.

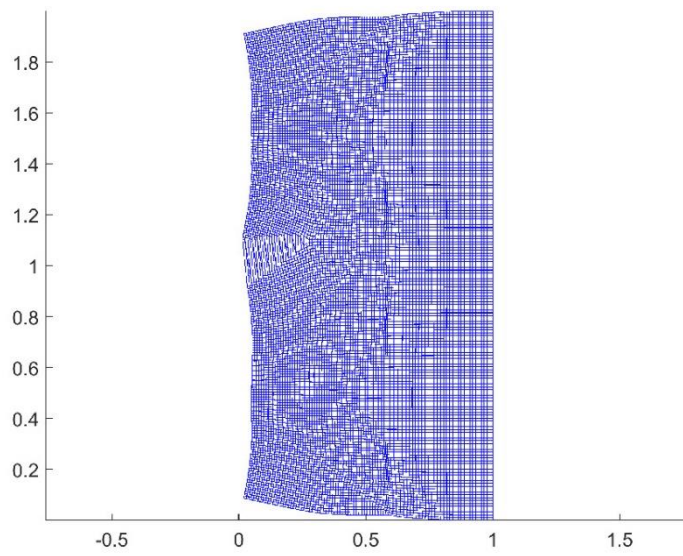


شکل (۴-۳۴) تغییرات انتشار در زمان های مختلف در نوک ترک در صفحه

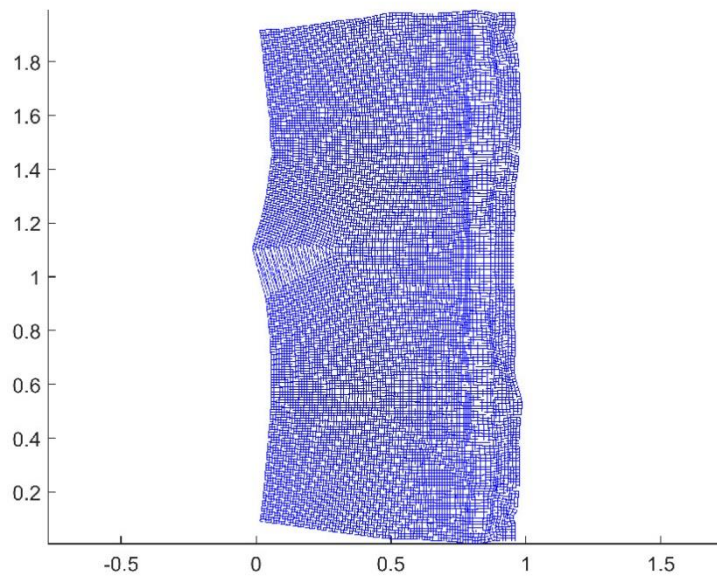
نمای تغییر شکل یافته باریکه در زمان های $t=0/3$ و $t=0/7$ و $t=1/25$ در شکل های (۴-۳۵) تا (۴-۳۷) نشان داده شده است.



شکل (۴-۳۵) نمای تغییر شکل یافته باریکه دارای ترک در $t=0/3$

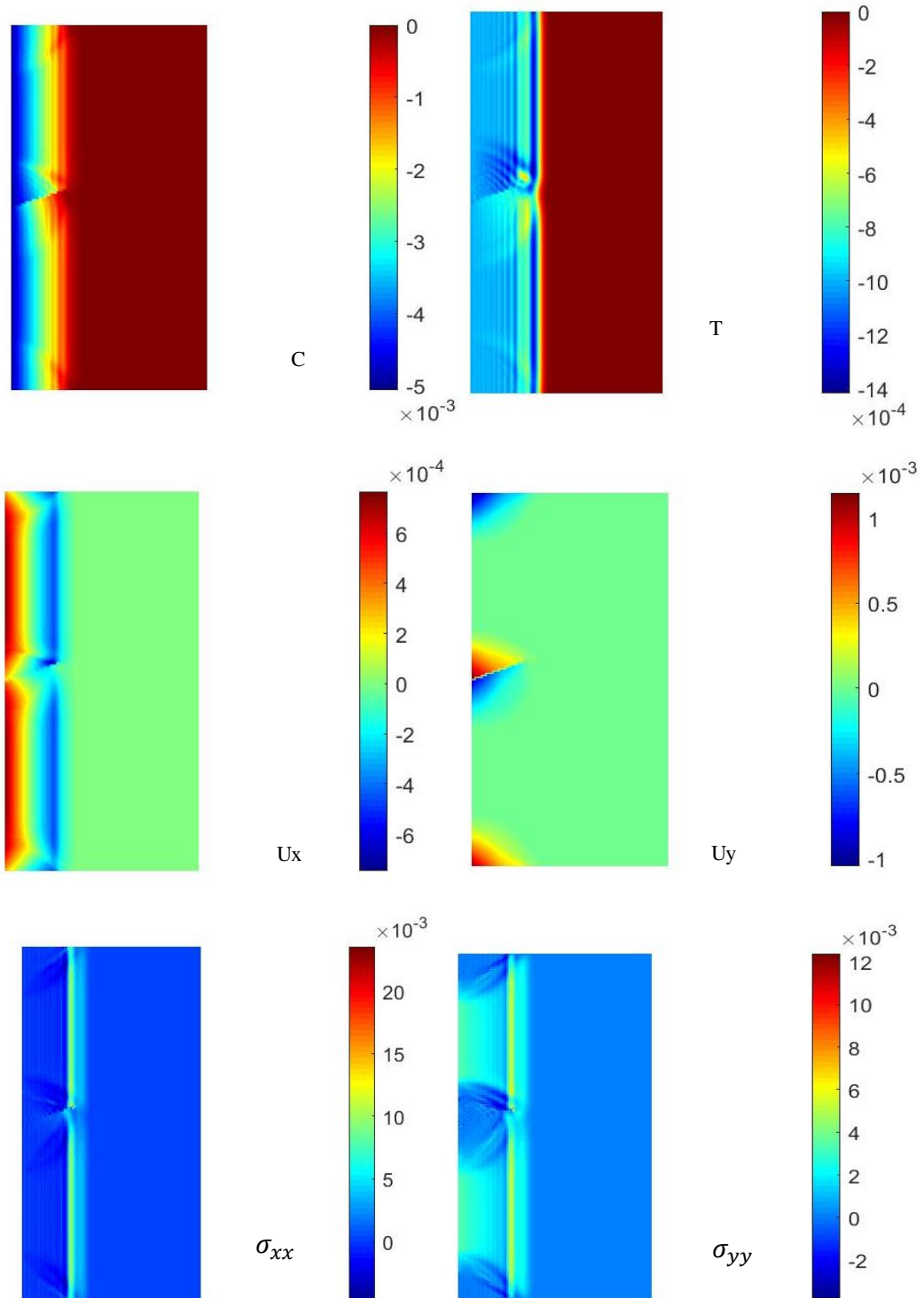


شکل (۴-۳۶) نمای تغییر شکل یافته باریکه دارای ترک در $t=0/7$



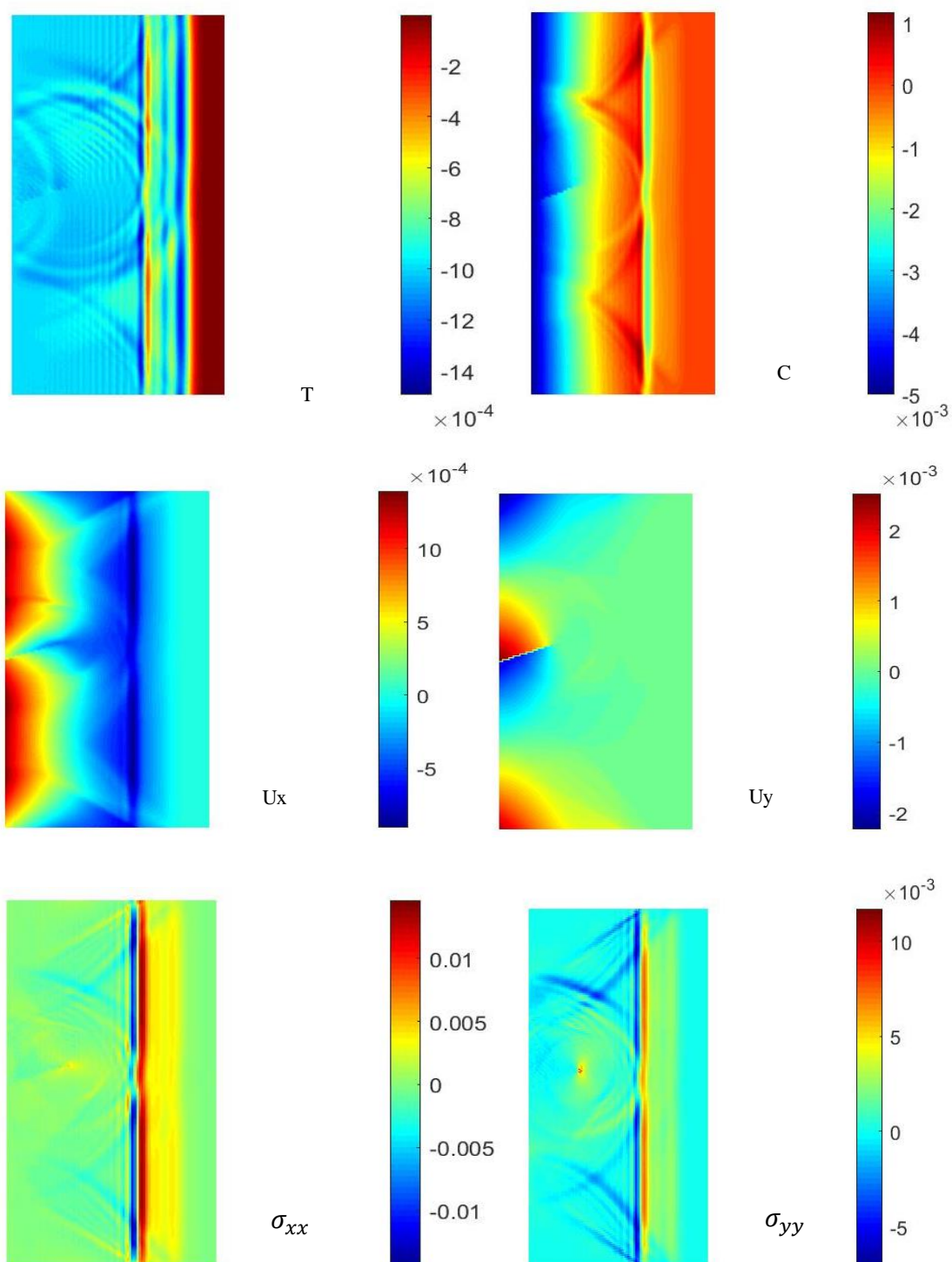
شکل (۴-۳۷) نمای تغییر شکل یافته باریکه دارای ترک در $t=1/25$

کانتورهای دما، انتشار، جابجایی در راستای X و Y و تنش در جهت X و Y در زمان $t=0.3$ در شکل (۴-۳۸) نشان داده شده است.



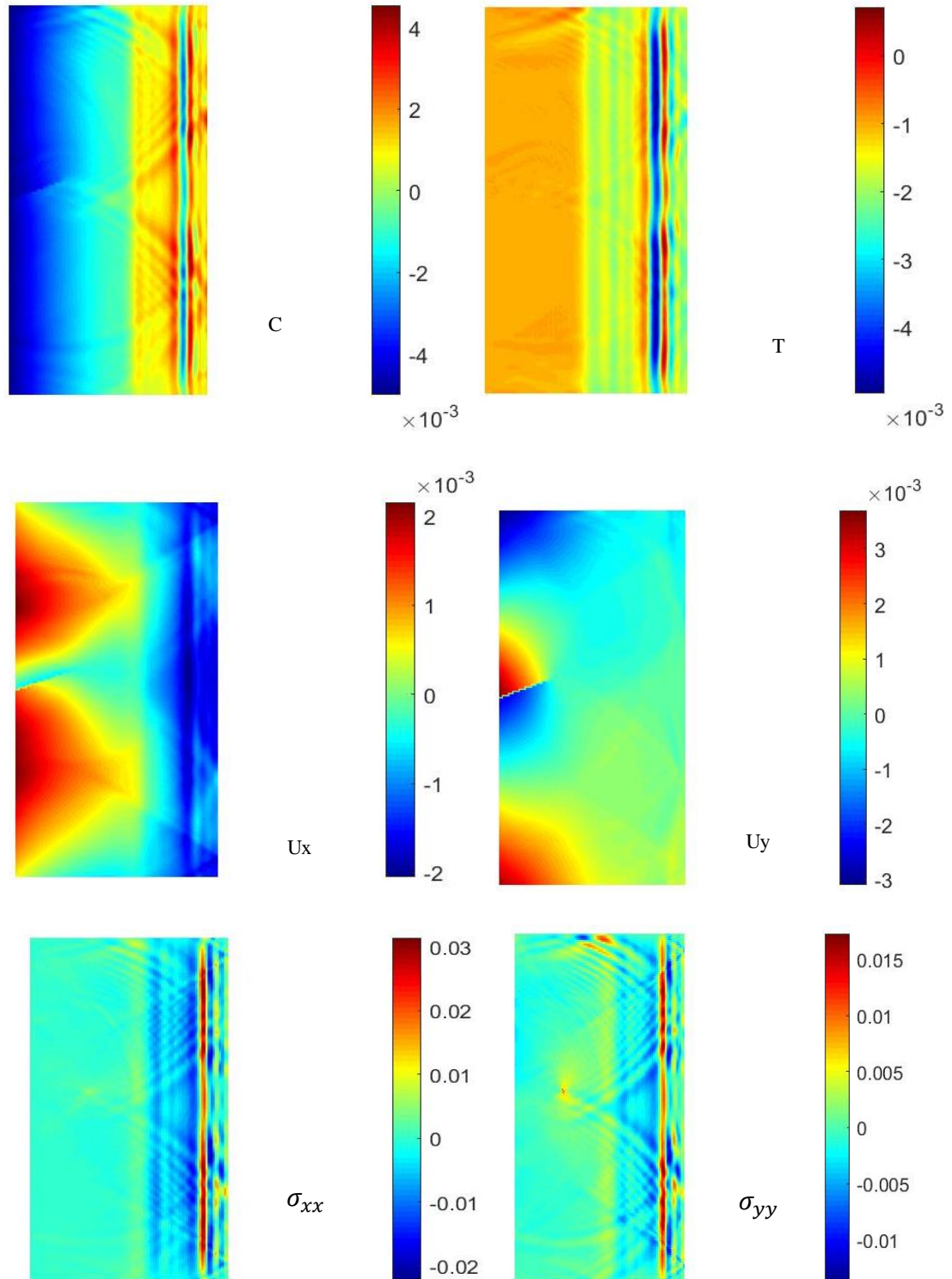
شکل (۴-۳۸) دما، انتشار، جابجایی در محور X، جابجایی در محور Y، تنش در محور XX و تنش در محور yy در $t=0.3$

کانتورهای دما، انتشار، جابجایی در راستای X و Y و تنش در جهت X و Y در زمان $t=0.7$ در شکل (۴-۳۹) نشان داده شده است.



شکل (۴-۳۹) کانتورهای دما، انتشار، جابجایی در محور X، جابجایی در محور Y، تنش در محور XX و تنش در محور yy در $t=0.7$

کانتورهای دما، انتشار، جابجایی در راستای X و Y و تنش در جهت X و Y در زمان $t=1/25$ در شکل (۴-۴۰) نشان داده شده است.



شکل (۴-۴۰) دما، انتشار، جابجایی در محور X، جابجایی در محور Y، تنش در محور XX و تنش در محور yy در $t=1.25$

نتیجه گیری و

پیشنهادها

۵-۱- نتیجه‌گیری

در این پایان‌نامه، ضرایب شدت تنش برای یک صفحه دارای ترک ساکن در معرض شوک دمایی و غلظت براساس تئوری گرین نقدی و غیرفیک محاسبه شده است. ترک با استفاده از روش المان محدود توسعه یافته مدل سازی شده که برای گسسته سازی معادلات در فضا و روش ضمنی نیومارک جهت انتگرال گیری زمانی مورد استفاده قرار گرفته است.

اثر بارگذاری‌های مختلف (شوک گرمایی و غلظت) و همچنین اثر سرعت موج‌های غلظت و دما بر روی ضرایب شدت تنش برای ترک‌های مستقیم و مایل بررسی شده است. این نتایج به دست آمده که برای حالت‌هایی که سرعت موج تنش و سرعت موج دما یکسان و بیشتر از سرعت موج غلظت است افزایش ضریب شدت تنش سریع‌تر و بیشتر از حالت‌های دیگر است.

با توجه به نتایج عددی، سرعت امواج تنش، انتشار و دما تأثیر فراوانی بر ضرایب شدت تنش به خصوص در شروع شوک انتشار و حرارتی داشته است. با رسیدن امواج انتشار و دما به نوک ترک ضرایب شدت تنش شروع به افزایش کرده و روند افزایشی پیدا می‌کند.

۵-۲-پیشنهادها

- (۱) بررسی رشد ترک در مسائل انتشار - ترموالاستیسیته
- (۲) محاسبه ضرایب شدت تنش برای ترک در مسائل انتشار - ترموالاستیسیته تعمیم یافته با در نظر گرفتن تئوری گرین لیندزی با استفاده از روش المان محدود توسعه یافته
- (۳) محاسبه ضرایب شدت تنش برای ترک در مسائل انتشار-الاستیسیته تعمیم یافته با توزیع دمای غیرخطی با استفاده از روش المان محدود توسعه یافته
- (۴) محاسبه ضرایب شدت تنش برای ترک در مسائل انتشار-ترموالاستیسیته تعمیم یافته با توزیع دمای غیرخطی با استفاده از روش المان محدود توسعه یافته

میدان‌های کمکی حوزه نوک ترک ساکن در محیط ایزوتروپیک همگن

میدان‌های تنش و جابجایی کمکی اطراف نوک ترک، میدان‌های مجانبی نوک ترک هستند.

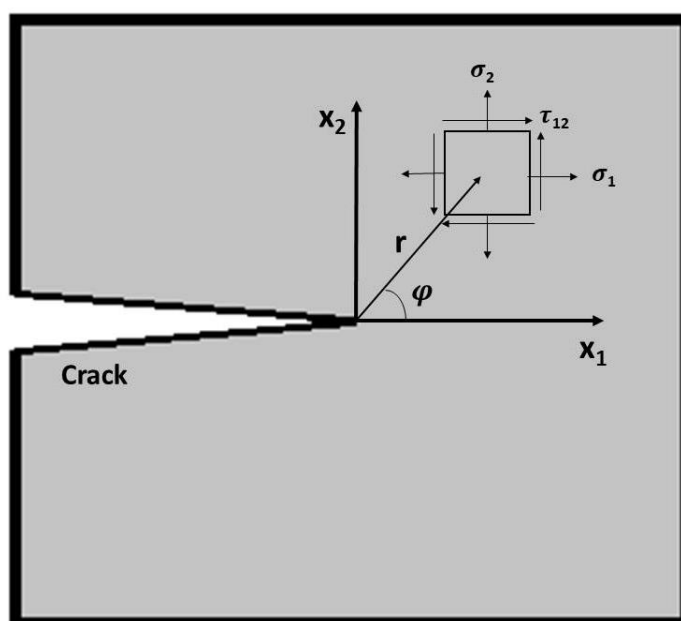
این میدان‌ها توسط ویلیامز [۴۰] ارائه شده‌اند. میدان‌های کمکی مد I ترک ایستا در مختصات محلی

نوک ترک به صورت زیر هستند [۴۱]:

$$\sigma_1^{aux} = \frac{K_I^{aux}}{\sqrt{2\pi r}} \cos\left(\frac{\varphi}{2}\right) \left[1 - \sin\left(\frac{\varphi}{2}\right) \sin\left(\frac{3\varphi}{2}\right)\right] \quad (\text{الف-۱})$$

$$\sigma_2^{aux} = \frac{K_I^{aux}}{\sqrt{2\pi r}} \cos\left(\frac{\varphi}{2}\right) \left[1 + \sin\left(\frac{\varphi}{2}\right) \sin\left(\frac{3\varphi}{2}\right)\right] \quad (\text{الف-۲})$$

$$\tau_{12}^{aux} = \frac{K_I^{aux}}{\sqrt{2\pi r}} \cos\left(\frac{\varphi}{2}\right) \sin\left(\frac{\varphi}{2}\right) \cos\left(\frac{3\varphi}{2}\right) \quad (\text{الف-۳})$$



شکل الف-۱- دستگاه مختصات محلی نوک ترک

$$u_1^{aux} = \frac{K_I^{aux}}{2\mu_{Tip}} \sqrt{\frac{r}{2\pi}} \cos\left(\frac{\varphi}{2}\right) \left[\kappa_{Tip} - 1 + 2\sin^2\left(\frac{\varphi}{2}\right) \right] \quad (\text{الف-۴})$$

$$u_2^{aux} = \frac{K_I^{aux}}{2\mu_{Tip}} \sqrt{\frac{r}{2\pi}} \sin\left(\frac{\varphi}{2}\right) \left[\kappa_{Tip} + 1 - 2\cos^2\left(\frac{\varphi}{2}\right) \right] \quad (\text{الف-۵})$$

$$\kappa = \begin{cases} (3 - \nu)/(1 + \nu) & \text{تنش صفحه‌ای} \\ 3 - 4\nu & \text{کرنش صفحه‌ای} \end{cases}$$

در روابط فوق κ ضریب کولوسوف^۱ است. (الف-۶) [۴۲]:

میدان‌های کمکی ترک مد II نیز به صورت زیر قابل بیان هستند:

$$\sigma_1^{aux} = \frac{-K_{II}^{aux}}{\sqrt{2\pi r}} \sin\left(\frac{\varphi}{2}\right) \left[2 + \cos\left(\frac{\varphi}{2}\right) \cos\left(\frac{3\varphi}{2}\right) \right] \quad (\text{الف-۷})$$

$$\sigma_2^{aux} = \frac{K_{II}^{aux}}{\sqrt{2\pi r}} \sin\left(\frac{\varphi}{2}\right) \cos\left(\frac{\varphi}{2}\right) \cos\left(\frac{3\varphi}{2}\right) \quad (\text{الف-۸})$$

$$\tau_{12}^{aux} = \frac{K_{II}^{aux}}{\sqrt{2\pi r}} \cos\left(\frac{\varphi}{2}\right) \left[1 - \sin\left(\frac{\varphi}{2}\right) \sin\left(\frac{3\varphi}{2}\right) \right] \quad (\text{الف-۹})$$

$$u_1^{aux} = \frac{K_{II}^{aux}}{2\mu_{Tip}} \sqrt{\frac{r}{2\pi}} \sin\left(\frac{\varphi}{2}\right) \left[\kappa_{Tip} + 1 + 2\cos^2\left(\frac{\varphi}{2}\right) \right] \quad (\text{الف-۱۰})$$

$$u_2^{aux} = \frac{-K_{II}^{aux}}{2\mu_{Tip}} \sqrt{\frac{r}{2\pi}} \cos\left(\frac{\varphi}{2}\right) \left[\kappa_{Tip} - 1 - 2\sin^2\left(\frac{\varphi}{2}\right) \right] \quad (\text{الف-۱۱})$$

میدان‌های کمکی فوق، مربوط به مختصات محلی نوک ترک هستند. تنش‌های دستگاه مختصات

سراسری با استفاده از روابط زیر به دستگاه مختصات محلی تبدیل می‌شوند:

$$\sigma_1^g = \sigma_1^l \cos^2 \omega + \sigma_2^l \sin^2 \omega - \tau_{12}^l \sin(2\omega) \quad (\text{الف-۱۲})$$

^۱ Kolosov Coefficient

$$\sigma_2^g = \sigma_1^l \sin^2 \omega + \sigma_2^l \cos^2 \omega + \tau_{12}^l \sin(2\omega) \quad (\text{الف-۱۳})$$

$$\tau_{12}^g = \tau_{12}^l \cos(2\omega) + 0.5(\sigma_1^l - \sigma_2^l) \sin(2\omega) \quad (\text{الف-۱۴})$$

در روابط فوق l نشان دهنده دستگاه مختصات محلی و g دستگاه مختصات سراسری است. ω

زاویه بین دستگاه‌های مختصات محلی و سراسری است.

- [1] D. Chandrasekharaiah, "**Hyperbolic Thermoelasticity: A Review of Recent Literature**", Applied Mechanics Reviews, vol. 51, no. 12, p. 705, 1998. Available: 10.1115/1.3098984.
- [2] D. Joseph and L. Preziosi, "**Addendum to the paper "Heat waves"** [Rev. Mod. Phys. 61, 41 (1989)]", Reviews of Modern Physics, vol. 62, no. 2, pp. 375-391, 1990. Available: 10.1103/revmodphys.62.375.
- [3] Fu, Z. Chen and L. Qian, "**Coupled thermoelastic analysis of a multi-layered hollow cylinder based on the C–T theory and its application on functionally graded materials**", Composite Structures, vol. 131, pp. 139-150, 2015. Available: 10.1016/j.compstruct.2015.04.053.
- [4] R. Kushnir, "**Thermal Stresses – Advanced Theory and Applications**", Journal of Thermal Stresses, vol. 33, no. 1, pp. 76-78, 2009. Available: 10.1080/01495730903538421.
- [5] K. Mitra, S. Kumar, A. Vedevarz and M. Moallemi, "**Experimental Evidence of Hyperbolic Heat Conduction in Processed Meat**", Journal of Heat Transfer, vol. 117, no. 3, p. 568, 1995. Available: 10.1115/1.2822615.
- [6] A. Green and P. Naghdi, "**Thermoelasticity without energy dissipation**", Journal of Elasticity, vol. 31, no. 3, pp. 189-208, 1993. Available: 10.1007/bf00044969.
- [7] J. Favergeon, T. Montesin and G. Bertrand, "**Mechano-Chemical Aspects of High Temperature Oxidation: A Mesoscopic Model Applied to Zirconium Alloys**", Oxidation of Metals, vol. 64, no. 3-4, pp. 253-279, 2005. Available: 10.1007/s11085-005-6563-7.
- [8] H. Zhou, J. Qu and M. Cherkaoui, "**Stress–oxidation interaction in selective oxidation of Cr–Fe alloys**", Mechanics of Materials, vol. 42, no. 1, pp. 63-71, 2010. Available: 10.1016/j.mechmat.2009.09.007.
- [9] E. Felten, "**High-Temperature Oxidation of Fe-Cr Base Alloys with Particular Reference to Fe-Cr-Y Alloys**", Journal of The Electrochemical Society, vol. 108, no. 6, p. 490, 1961. Available: 10.1149/1.2428122.

- [10] Y. Suo and S. Shen, "**Dynamical theoretical model and variational principles for coupled temperature–diffusion–mechanics**", *Acta Mechanica*, vol. 223, no. 1, pp. 29-41, 2011. Available: 10.1007/s00707-011-0545-4.
- [11] S. Hosseini, J. Sladek and V. Sladek, "**Two dimensional analysis of coupled non-Fick diffusion-elastodynamics problems in functionally graded materials using meshless local Petrov–Galerkin (MLPG) method**", *Applied Mathematics and Computation*, vol. 268, pp. 937-946, 2015. Available: 10.1016/j.amc.2015.07.009.
- [12] S. Hosseini, M. Abolbashari and S. Hosseini, "**Shock-induced molar concentration wave propagation and coupled non-Fick diffusion–elasticity analysis using an analytical method**", *Acta Mechanica*, vol. 225, no. 12, pp. 3591-3599, 2014. Available: 10.1007/s00707-014-1161-x.
- [13] F. Yang, "**Interaction between diffusion and chemical stresses**", *Materials Science and Engineering: A*, vol. 409, no. 1-2, pp. 153-159, 2005. Available: 10.1016/j.msea.2005.05.117.
- [14] M. Othman, S. Atwa and R. Farouk, "**The effect of diffusion on two-dimensional problem of generalized thermoelasticity with Green–Naghdi theory**", *International Communications in Heat and Mass Transfer*, vol. 36, no. 8, pp. 857-864, 2009. Available: 10.1016/j.icheatmasstransfer.2009.04.014.
- [15] C. Li, H. Guo and X. Tian, "**Time-domain finite element analysis to nonlinear transient responses of generalized diffusion-thermoelasticity with variable thermal conductivity and diffusivity**", *International Journal of Mechanical Sciences*, vol. 131-132, pp. 234-244, 2017. Available: 10.1016/j.ijmecsci.2017.07.008.
- [16] M. Aouadi, M. Ciarletta and V. Tibullo, "**A thermoelastic diffusion theory with microtemperatures and microconcentrations**", *Journal of Thermal Stresses*, vol. 40, no. 4, pp. 486-501, 2016. Available: 10.1080/01495739.2016.1225271.
- [17] N. Sharma, R. Kumar and P. Ram, "**Plane Strain Deformation in Generalized Thermoelastic Diffusion**", *International Journal of Thermophysics*, vol. 29, no. 4, pp. 1503-1522, 2008. Available: 10.1007/s10765-008-0435-8.

- [18] C. Li, H. Guo and X. Tian, "**Soret effect on the shock responses of generalized diffusion-thermoelasticity**", Journal of Thermal Stresses, vol. 40, no. 12, pp. 1563-1574, 2017. Available: 10.1080/01495739.2017.1359066.
- [19] A. Green and P. Naghdi, "**ON UNDAMPED HEAT WAVES IN AN ELASTIC SOLID**", Journal of Thermal Stresses, vol. 15, no. 2, pp. 253-264, 1992. Available: 10.1080/01495739208946136.
- [20] C. Li, H. Guo and X. Tian, "**Transient responses of a hollow cylinder under thermal and chemical shock based on generalized diffusion-thermoelasticity with memory-dependent derivative**", Journal of Thermal Stresses, vol. 42, no. 3, pp. 313-331, 2018. Available: 10.1080/01495739.2019.1486689.
- [21] A. Green and P. Naghdi, "**A Re-Examination of the Basic Postulates of Thermomechanics**", Proceedings of the Royal Society A: Mathematical, Physical and Engineering Sciences, vol. 432, no. 1885, pp. 171-194, 1991. Available: 10.1098/rspa.1991.0012.
- [22] S. Bargmann, "**Remarks on the Green–Naghdi theory of heat conduction**", Journal of Non-Equilibrium Thermodynamics, vol. 38, no. 2, 2013. Available: 10.1515/jnetdy-2012-0015.
- [23] D. Chandrasekharaiah, "**ONE-DIMENSIONAL WAVE PROPAGATION IN THE LINEAR THEORY OF THERMOELASTICITY WITHOUT ENERGY DISSIPATION**", Journal of Thermal Stresses, vol. 19, no. 8, pp. 695-710, 1996. Available: 10.1080/01495739608946202.
- [24] S. Mohammadi, **Extended finite element method for fracture analysis of structures**. Oxford: Blackwell Pub., 2008.
- [25] M. Kirugulige, **A study of mixed-mode dynamic fracture in advanced particulate composites by optical interferometry, digital image correlation and finite element methods**. Auburn, Ala., 2007.
- [26] T. Belytschko and T. Black, "**Elastic crack growth in finite elements with minimal remeshing**", International Journal for Numerical Methods in Engineering, vol. 45, no. 5, pp. 601-620, 1999. Available: 10.1002/(sici)1097-0207(19990620)45:5<601::aid-nme598>3.0.co;2-s.
- [27] N. Moës, J. Dolbow and T. Belytschko, "**A finite element method for crack growth without remeshing**", International Journal for Numerical Methods in

- Engineering, vol. 46, no. 1, pp. 131-150, 1999. Available: 10.1002/(sici)1097-0207(19990910)46:1<131::aid-nme726>3.0.co;2-j.
- [28] T. Belytschko, R. Gracie and G. Ventura, "**A review of extended/generalized finite element methods for material modeling**", Modelling and Simulation in Materials Science and Engineering, vol. 17, no. 4, p. 043001, 2009. Available: 10.1088/0965-0393/17/4/043001.
- [29] S. Ardakani, H. Ahmadian and S. Mohammadi, "**Thermo-mechanically coupled fracture analysis of shape memory alloys using the extended finite element method**", Smart Materials and Structures, vol. 24, no. 4, p. 045031, 2015. Available: 10.1088/0964-1726/24/4/045031.
- [30] M. DufLOT, "**The extended finite element method in thermoelastic fracture mechanics**", International Journal for Numerical Methods in Engineering, vol. 74, no. 5, pp. 827-847, 2008. Available: 10.1002/nme.2197.
- [31] A. Zamani and M. Eslami, "**Implementation of the extended finite element method for dynamic thermoelastic fracture initiation**", International Journal of Solids and Structures, vol. 47, no. 10, pp. 1392-1404, 2010. Available: 10.1016/j.ijsolstr.2010.01.024.
- [32] A. KC and J. Kim, "**Interaction integrals for thermal fracture of functionally graded materials**", Engineering Fracture Mechanics, vol. 75, no. 8, pp. 2542-2565, 2008. Available: 10.1016/j.engfracmech.2007.07.011.
- [33] J. Réthoré, A. Gravouil and A. Combescure, "**A combined space-time extended finite element method**", International Journal for Numerical Methods in Engineering, vol. 64, no. 2, pp. 260-284, 2005. Available: 10.1002/nme.1368.
- [34] P. Hosseini-Tehrani, M. Eslami and H. Daghyani, "**Dynamic Crack Analysis Under Coupled Thermoelastic Assumption**", Journal of Applied Mechanics, vol. 68, no. 4, p. 584, 2001. Available: 10.1115/1.1364490.
- [35] J. Chen, A. Soh, J. Liu and Z. Liu, "**Thermal fracture analysis of a functionally graded orthotropic strip with a crack**", International Journal of Mechanics and Materials in Design, vol. 1, no. 2, pp. 131-141, 2004. Available: 10.1007/s10999-004-1489-9.
- [36] N. Zarmehri, M. Nazari and M. Rokhi, "**XFEM analysis of a 2D cracked finite domain under thermal shock based on Green-Lindsay theory**", Engineering

- Fracture Mechanics, vol. 191, pp. 286-299, 2018. Available: 10.1016/j.engfracmech.2017.12.039.
- [37] J. Rice, "**A Path Independent Integral and the Approximate Analysis of Strain Concentration by Notches and Cracks**", Journal of Applied Mechanics, vol. 35, no. 2, p. 379, 1968. Available: 10.1115/1.3601206.
- [38] A. Green and P. Naghdi, "**ON UNDAMPED HEAT WAVES IN AN ELASTIC SOLID**", Journal of Thermal Stresses, vol. 15, no. 2, pp. 253-264, 1992. Available: 10.1080/01495739208946136.
- [39] M. Williams, "**The Bending Stress Distribution at the Base of a Stationary Crack**", Journal of Applied Mechanics, vol. 28, no. 1, p. 78, 1961. Available: 10.1115/1.3640470.
- [40] T. Anderson, **Fracture Mechanics. Boca Raton**: Chapman and Hall/CRC, 2017.
- [41] T. Menouillard, J. Song, Q. Duan and T. Belytschko, "**Time dependent crack tip enrichment for dynamic crack propagation**", International Journal of Fracture, vol. 162, no. 1-2, pp. 33-49, 2009. Available: 10.1007/s10704-009-9405-9.

Abstract

In this thesis, the behavior of a static crack in a generalized diffusion-thermoelasticity environment under shock is investigated. The crack is extracted using the extended finite element modeling and the stress intensity coefficients are extracted using the interactive integral method. Heat and concentration propagation are based on generalized greedy-cash and nonfickle theories. The finite element method developed for discrete space equations and the Newmark implicit method for temporal integration have been used. For different loads (heat shock and concentration), stress intensity factors, crack tip temperature distribution and crack tip propagation have been studied. The effect of stress wave velocity, concentration wave and temperature wave on stress intensity factors for direct and oblique cracks have also been investigated. The result of different speeds is that for a state where the stress wave velocity and temperature wave velocity are the same as the concentration wave velocity, the increase in the stress intensity factor is faster and higher than the other states.

key words

Diffusion - Generalized Thermoelasticity, Stress intensity factor eXtended Finite Element Method, interaction Integral



Shahrood University of Technology

Faculty of Mechanical Engineering

Determination of stress intensity factors for a crack in diffusion-
thermoelasticity generalized problems
using eXtended Finite Element Method

Hadi Bashir Nezhad Dehgan

Thesis

Submitted in partial fulfillment of the requirements for the degree of
Master of Science (M. Sc)

Supervisor

Dr. Mohammad Bagher Nazari

Dr. Masoud Mahdizadeh Rokhi

September 2019